

بررسی زمین‌شیمی و خاستگاه ماگمایی در واحدهای سنگی رخداد کانه‌زایی تازه‌کند، شمال شرق زنجان

زهرة جبارزاده*، کمال سیاه‌چشم، علی‌اصغر کلاگری

گروه علوم زمین، دانشکده علوم، دانشگاه تبریز، تبریز، ایران

(دریافت مقاله: ۱۴۰۲/۸/۳۰، نسخه نهایی: ۱۴۰۲/۱۲/۹)

چکیده: گستره معدنی تازه‌کند به عنوان بخشی از کمربند فلززایی طارم- هشتجین در ۴۵ کیلومتری شمال‌شرق شهرستان زنجان، شمال‌غرب ایران واقع است. بر پایه بررسی‌های صحرایی، سنگ‌نگاری و زمین‌شیمی، ترکیب سنگ‌شناسی توده‌های نفوذی آن از کوارتزمونزونیت، مونزونیت، مونزودیوریت تا کابودیوریت متغیر است و ترکیب واحدهای آتشفشانی آن در گستره تراکی آندزیت، آندزیت تا آندزیت بازالتی قرار دارد. این سنگ‌ها با ماهیت پرآلومین تا متآلومین، وابسته به سری ماگمایی آهکی قلیایی پتاسیم بالا و شوشونیتی هستند و در گستره گرانیئوئیدهای نوع I جای دارند. نمودارهای تفکیک زمین‌ساختی نشان‌دهنده شکل‌گیری این سنگ‌ها در محیط قوسی آتشفشانی پس‌برخوردی در یک حاشیه فعال قاره‌ای است. در نمودارهای هارکر، SiO_2 دارای همبستگی منفی با Al_2O_3 ، MgO ، MnO ، CaO ، Fe_2O_3 ، P_2O_5 ، TiO_2 ، V ، Co ، Sr ، Ni ، Cr و همبستگی مثبت با K_2O ، Na_2O و Zr است. غنی‌شدگی عناصر سنگ دوست درشت یون (Ba ، Cs ، LILE ، Th ، U ، Pb) و عناصر خاکی نادر سبک (LREE) و تهی‌شدگی عناصر با شدت میدان بالا (HFSE) (Ti ، Y ، Zr ، Nb و Dy) و عناصر خاکی نادر سنگین (HREE) از دیگر ویژگی‌های زمین‌شیمیایی، توده‌های نفوذی گستره تازه‌کند است. بر پایه یافته‌های زمین‌شیمیایی هر دو مؤلفه گوشته و پوسته در تشکیل و دگرگونی ماگمایی توده‌های نفوذی مورد بررسی مؤثر بوده‌اند. ماگمای مولد این توده‌ها در اثر آمیختگی مذاب‌های بازالتی برآمده از گوشته و مذاب ناشی از ذوب بخشی سنگ‌های پوسته زیرین در تعادل با پسماند پیروکسن و آمفیبول در ژرفای کمتر از ۴۰ کیلومتر تشکیل شده است.

واژه‌های کلیدی: خاستگاه ماگمایی؛ زمین‌شیمی؛ جایگاه زمین‌ساختی؛ تازه‌کند؛ کمربند فلززایی طارم- هشتجین.

مقدمه

جنوبی به دو بخش شرقی و غربی تقسیم می‌شود. بخش غربی این کمربند، به نام کمربند ماگمایی البرز- آذربایجان، به دو کمربند فلززایی یا ماگمایی اهر- ارسباران در شمال و طارم- هشتجین در جنوب تقسیم می‌شود. بر اساس بررسی‌های انجام شده [۴، ۵] نفوذی‌های منطقه طارم ویژگی‌های زمین‌شیمیایی سری شوشونیتی متآلومین با غنی‌شدگی از عناصر سنگ دوست درشت یون (LILE) و عناصر خاکی نادر سبک (LREE) و تهی‌شدگی از عناصر با شدت میدان بالا (HFSE) و عناصر خاکی نادر سنگین (HREE) را نشان می‌دهند و از نظر جایگاه زمین‌ساختی این توده‌ها شاخص موقعیت پسا

کمربند فلززایی طارم- هشتجین از گستره‌های مهم فعالیت ماگمایی- فلززایی در ایران محسوب می‌شود و گستره معدنی تازه‌کند با مختصات جغرافیایی $29^{\circ} 44'$ عرض شمالی در $45^{\circ} 48' 58''$ طول شرقی و ۲۹ زنجان به عنوان بخشی از کمربند کانه‌زایی طارم- هشتجین در جنوب‌شرقی کمربند ماگمایی البرز- آذربایجان، در بخش غربی کمربند ماگمایی البرز و بخش‌های مرکزی کمربند کوهزایی و فلززایی آلپ- هیمالیا [۳-۱] واقع است. کمربند ماگمایی البرز توسط گسل رشت- تارکستان با روند شمالی-

شناسی منطقه، دگرسانی‌های گرمایی، کانه‌زایی بررسی شد و نمونه‌برداری اصولی از رگه‌های سیلیسی، پهنه‌های دگرسانی و سنگ دیواره سالم و کمتر دگرسان شده سطحی و مغزه‌های حفاری حاصل از یک حلقه گمانه به عمق ۴۷۱ متر انجام گردید. در بخش آزمایشگاهی، ویژگی‌های بافتی و کانی‌شناسی ۱۳ مقطع صیقلی، ۲۲ مقطع نازک و ۳۲ مقطع نازک-صیقلی با میکروسکوپ بررسی شد. برای تعیین فازهای کانیایی غیر قابل تشخیص در پهنه‌های دگرسانی، تعداد ۶ نمونه سطحی و ۵ نمونه زیرسطحی به روش پراش پرتو ایکس (XRD) در مرکز تحقیقات و فرآوری مواد معدنی ایران بررسی شدند. به منظور پی‌جویی‌های زمین‌شیمیایی و بررسی تغییرات اکسیدهای اصلی، عناصر فرعی، جزئی و خاکی نادر تعداد ۹ نمونه سطحی و ۸۱ نمونه سطحی به روش طیف‌سنجی فلورسانس پرتو ایکس (XRF)، ۲۴ نمونه سطحی و ۸۱ نمونه زیرسطحی به روش طیف‌سنجی جرمی پلاسمای جفت شده القایی (ICP-MS)، ۱۳ نمونه سطحی و ۵۰ نمونه زیرسطحی به روش طیف‌سنجی نشری پلاسمای جفت شده القایی (ICP-ES) و ۷ نمونه سطحی و ۷ نمونه زیرسطحی برای تجزیه طلا به روش عیارسنجی گرمایی در مرکز تحقیقات و فرآوری مواد معدنی ایران و آزمایشگاه زرآزما مورد تجزیه شیمیایی شدند. نمودارهای مختلف زمین‌شیمیایی و زمین‌ساختی با نرم‌افزارهای GCDKit و اکسل رسم و تحلیل شدند (جدول ۱-۴).

برخورد و پس از رخداد کوهزایی اصلی هستند [۶]. بر اساس ویژگی‌های زمین‌شیمیایی، ماگمای مولد توده‌نفوذی طارم به احتمال بسیار از ذوب بخشی منبع گوشته‌ای دگرنهاده غنی از آمفیبول و فلوگوپیت شکل گرفته و ممکن است ناشی از نازک شدگی سنگ کره و بالاآمدگی سست کره داغ در ائوسن پسین طی مراحل پایانی فرورانش نئوتتیس باشد [۷]. پهنه ماگمایی طارم - هشتجین با روند شمال‌غرب- جنوب‌شرق به صورت موازی در کنار گسل رواندگی زاگرس دارای عرض تقریبی ۸۰-۱۵۰ کیلومتر و طولی بیش از ۳۰۰ کیلومتر، میزبان تعداد زیادی از کانسارهای فراگرمایی چند فلزی و Au-Ag در ارتباط با توده‌های نفوذی الیگوسن و واحدهای آتشفشانی- رسوبی ائوسن (معادل سازند کرج) [۸، ۹] است. از کانسارها و رخدادهای مهم این پهنه می‌توان کانسار آهن آپاتیت‌دار مروارید [۸]، مس- طلا رشت‌آباد [۱۰]، مس علی‌آباد [۱۱]، چودرچای [۱۲]، مس آق‌کند [۱۳] و طلا گلوچه [۱۴] اشاره کرد. از آنجا که دانش جامع و دقیقی درباره ویژگی‌های زمین- شیمیایی، محیط زمین‌ساختی و خاستگاه ماگمایی توده نفوذی گستره تازه‌کند بر پایه داده‌های زیرسطحی وجود ندارد، در این پژوهش، این موارد بررسی شده‌اند.

روش پژوهش

به منظور تعیین ماهیت زمین‌شیمیایی، جایگاه زمین‌ساختی و خاستگاه ماگمایی توده‌های نفوذی، بررسی‌ها در دو بخش صحرایی و آزمایشگاهی انجام شد. در بخش صحرایی، زمین-

جدول ۱ نتایج XRD نمونه‌های سطحی و زیرسطحی گستره معدنی تازه‌کند.

ردیف	نوع	شماره نمونه	نوع دگرسانی	کانی‌ها
۱	سطحی	S-T2-3	به نسبت سالم-کلریتی	کوارتز، آندزین، ارتوکلاز، کلینوکلر، مگنزیوهورنبلند
۲		S-5-1	به نسبت سالم-سرسیستی	آلبیت، ارتوکلاز، دیوپسید، ساندین، سریسیت
۳		S-TZK-4	فیلیک-آرژیلیک	آلبیت، پیریت، کوارتز، سریسیت، ورمیکولیت، ایلیت
۴		S-TZK-5	کلریتی	کوارتز، آلبیت، کلینوکلر، مالاکیت، کاماسیت
۵		S-TZK-9	آرژیلیک پیشرفته	کوارتز، آلونیت، دیکیت، کلسیت، انیدریت
۶		S-2-3	آرژیلیک-برونزاد	کوارتز، سریسیت، آلبیت، مونتموریلونیت، جاروسیت
۷	زیر سطحی	BH1-241	پروپیلیتیک	کوارتز، اپیدوت، کلینوکلر، کلسیت
۸		BH1-343	پروپیلیتیک-فیلیک	انیدریت، کوارتز، آلبیت، پیریت، سریسیت، سنگ گچ، کلسیت
۹		BH1-344	فیلیک	ژپس، کوارتز، کلسیت، انیدریت
۱۰		BH1-431	فیلیک	کلسیت، ژپس، کوارتز، انیدریت، سریسیت، کریستوبالیت
۱۱		BH1-445	فیلیک	آلبیت، پیریت، ژپس، ایلیت، سریسیت، کوارتز

جدول ۲ نتایج تجزیه اکسیدهای عنصر اصلی، فرعی و کمیاب توده‌های نفوذی و واحدهای آتشفشانی گستره معدنی تازه‌کند به روش XRF و (برحسب درصد) و ICP-MS (بر حسب ppm) برای ۹ نمونه اول نمونه سطحی (نمونه‌های اول) و ۸۱ نمونه زیرسطحی همراه با عمق مشخص شده.

نمونه	S-TZK-11	S-TZK-13	S-TZK-06	S-TZ-12-1	S-TAK-SI	S-TZK-04	S-TZK-07	S-TZK-14	S-TZ-2-1	BHL-060-070	BHL-070-073	BHL-073-076	BHL-076-079	BHL-079-082	BHL-082-085	BHL-085-088	BHL-088-091	BHL-091-094
SiO ₂	۷۲.۵۳	۴۹.۶۴	۴۹.۸۸	۵۱.۰۸	۸۳.۲۸	۶۲.۹۵	۷۴.۰۱	۶۶.۲	۷۰.۴۳	۵۳.۷۴	۵۳.۱۷	۵۳.۱۶	۵۳.۷۷	۵۳.۳۷	۵۱.۵۸	۵۳.۲۳	۵۱.۵۸	۵۲.۷۹
Al ₂ O ₃	۱۲.۷	۱۵.۵۳	۱۵.۹۹	۱۴.۰۲	۶.۹۲	۱۴.۷۶	۱۳.۸۹	۱۲.۳۴	۱۴.۱۶	۱۴.۹۷	۱۴.۵۱	۱۴.۶۳	۱۵.۳۸	۱۵.۰۶	۱۴.۳۴	۱۴.۵۹	۱۴.۲	۱۵.۲۹
BaO	۰.۰۱	۰.۰۵	۰.۰۵	۰.۰۶	۰.۰۳	۰.۰۵	۰.۰۸	۰.۰۷	۰.۰۳	۰.۰۸	۰.۰۷	۰.۰۸	۰.۰۹	۰.۰۸	۰.۰۵	۰.۰۸	۰.۱	۰.۰۶
CaO	۰.۳۲	۶.۶۵	۷.۶۷	۴.۵۳	۰.۲۵	۰.۵۳	۰.۲۷	۳.۷۱	۰.۵۷	۱.۵۳	۱.۳۴	۱.۲۲	۱.۰۱	۱.۰۷	۴.۲۵	۱.۱۷	۱.۳۱	۳.۰۳
Fe ₂ O ₃	۳.۴۲	۶.۷۳	۷.۸۲	۵.۱۹	۱.۸۳	۹.۳۵	۳.۱	۵.۶	۶.۱	۱۳.۱۴	۱۵.۱۵	۱۴.۵۳	۱۳.۶۶	۱۴.۱۹	۱۱.۵۳	۱۴.۹۵	۱۶.۰۱	۱۱.۶۴
K ₂ O	۳.۰۴	۲.۴۳	۲.۲۴	۳.۶۵	۲.۳۶	۳.۴۶	۴.۶۵	۳.۴	۳.۶۹	۳.۰۴	۲.۲۱	۲.۹۶	۳.۵۳	۲.۹۹	۲.۰۶	۲.۵۹	۲.۹۸	۲.۱۷
MgO	۰.۸۸	۳.۷	۴.۶۹	۲.۷۲	۰.۳۴	۲.۲۸	۱.۰۳	۱.۷۸	۰.۹۰	۴.۱۳	۴.۶۱	۴.۲	۴.۱۲	۴.۷۶	۵.۴۱	۳.۸۳	۳.۴۴	۴.۷۵
MnO	۰.۰۱	۰.۱۲	۰.۱۱	۰.۱۳	۰.۰۷	۰.۱۴	۰.۰۲	۰.۳۷	۰.۰۰۸	۰.۵	۰.۵۵	۰.۵۳	۰.۵۱	۰.۵۷	۰.۵۶	۰.۴۲	۰.۴۲	۰.۵۴
Na ₂ O	۰.۴۴	۳.۱۱	۲.۷۸	۲.۸۴	۰.۲	۴.۰۲	۱.۶۶	۱.۹۷	۱.۷۱	۲.۵۸	۳.۰۶	۲.۷۷	۲.۴۴	۲.۷۵	۳.۱۲	۳.۱۲	۳.۰۳	۳.۱۳
P ₂ O ₅	۰.۰۲	۰.۲۱	۰.۲۳	۰.۱۸	۰.۰۹	۰.۲۹	۰.۱	۰.۲۲	۰.۱۱	۰.۲۶	۰.۲۳	۰.۲۵	۰.۲۵	۰.۲۴	۰.۲۵	۰.۲۴	۰.۲۵	۰.۲۵
SO ₃	۰.۱	۰.۲۷	۰.۱۶	۰.۲۵	۰.۰۵	۱.۶۹	۰.۰۵	۱.۶۴	۰.۸۴	۰.۷۳	۰.۱۸	۰.۸۴	۰.۴۲	۰.۲۷	۰.۱	۱.۰۳	۱.۹۷	۰.۱۷
TiO ₂	۰.۲۵	۰.۶۳	۰.۷۵	۰.۵۳	۰.۲۴	۰.۶۲	۰.۳	۰.۷۵	۰.۸۲	۰.۸۷	۰.۹۴	۰.۸۳	۰.۸۵	۰.۹۳	۰.۹۳	۰.۸۱	۰.۷۸	۰.۸۵
(L.O.I)	۲.۵	۸.۹۱	۶.۷۳	۱۱.۷۵	۴.۳۸	۱۰.۰۷	۰.۹۸	۲.۹۱	۱.۰۳	۴.۳۳	۳.۹۳	۴	۳.۹۶	۳.۷۲	۵.۷۹	۳.۳۳	۳.۹۱	۳.۲۵
مجموع %	۹۹.۳۳	۹۷.۹۸	۹۹.۱۴	۹۶.۹۵	۱۰۰	۱۰۰	۹۹.۹۷	۹۹.۹۰	۹۹.۹۰	۹۹.۹۵	۹۹.۹۵	۱۰۰	۹۹.۹۹	۱۰۰	۹۹.۹۸	۱۰۰	۹۹.۹۸	۱۰۰
Ag	۱	۰.۵	۳.۰۴	۰.۵	۱.۲	۰.۵	۰.۶	۰.۹	۵۵	۳.۵	۲.۵	۱.۳	۱	۰.۴	۰.۸۰	۱.۶	۰.۷۰	
As	۵۳.۹	۳۱.۵۳	۱۳.۶۲	۹.۱	۲۲.۹	۰.۱	۱۷.۳	۸.۶	۵۶.۷۲	۸۴.۳۰	۲۱.۳	۱۱.۱	۷.۴	۶	۶	۴.۱	۹	۵
Ba	۱۲۱.۶	۴۶۱.۳	۴۶۰.۷	۵۲۲.۵	۲۴۹	۴۵۵	۷۱.۰	۶۳.۵	۲۷۴.۹	۶۰.۶	۵۲.۸	۶۵.۲	۷۲.۷	۶۱.۱	۴۱.۴	۵۶.۰	۷۶.۱	۴۱.۸
Be	۰.۵۵	۰.۴۶	۰.۵۸	۰.۲۲	۱.۱	۱.۳	۱.۵	۱.۲	۰.۷۳	۱.۴	۱.۸	۱.۵	۱.۳	۱.۳	۱.۴	۱.۴	۱.۱	۱.۳
Bi	۰.۹	۰.۵	۰.۳	۰.۴	۱.۳	۰.۷	۰.۳	۰.۵	۱.۶۸	۰.۸	۰.۵	۰.۶	۰.۵	۰.۶	۰.۷	۰.۷	۰.۷	۰.۶۰
Cd	۰.۱	۰.۱	۰.۱	۰.۱	۰.۲	۰.۶	۰.۱	۰.۱	۰.۱	۰.۹	۰.۱	۰.۱	۰.۱	۰.۱	۰.۱	۰.۲۲	۰.۱۰	۰.۱۰
Ce	۱.۶۹	۱۷.۸۳	۱۸.۲۸	۱۸.۵	۸.۳	۲.۸	۴.۲	۴.۲	۹.۳۱	۳.۴	۳.۸	۴.۲	۴.۶	۳.۹	۳.۹	۳.۲	۳.۱	۳.۸
Co	۶.۶۴	۲۴.۳۳	۳۰.۴۴	۲۱.۴۵	۳.۱	۸	۲.۶	۱.۶۲	۱۲.۵۴	۴۱.۱	۳۷.۲	۴۲.۲	۳۷.۸	۲۱.۳	۲۵.۱	۴۰	۵۵.۵	۱۹.۵
Cr	۱۷.۱۶	۴۰.۹۵	۲۸.۷۸	۵۲.۴۸	۱۶	۲.۸	۲.۳	۳.۴	۲۹.۴	۶.۷	۶.۱	۵.۳	۶.۰	۷.۷	۱۲.۵	۹.۱	۸.۷	۷.۹
Cs	۰.۹۷	۱.۲	۰.۹	۱.۵	۳.۲	۳.۸	۵.۲	۶.۱	۳.۵۶	۳.۴	۲.۸	۳.۴	۵.۴	۳.۶	۴.۳	۳	۲.۱	۴.۵
Cu	۲۵.۷	۱۰۵.۳	۱۳۸.۶	۸۲	۹.۴	۷۴.۳	۶۳	۸۲.۵۵	۷۴.۳۸	۱۱	۳۲.۴	۵۶.۶	۵۵.۱	۳۰.۴	۸	۱۳.۵۶	۱۸.۹۴	۴۸.۸
Dy	۰.۸۵	۱.۶۹	۱.۹۲	۱.۵۵	۲.۰۳	۱.۷۸	۲.۵۶	۲.۹۹	۰.۳۳	۳.۷۳	۳.۸۷	۳.۴۷	۳.۴۴	۰.۳۳	۳.۶۹	۳	۲.۷۵	۳.۲۲
Er	۰.۷۲	۱.۰۷	۱.۲۳	۰.۹	۰.۹۹	۰.۹	۱.۶۱	۲.۲۱	۰.۸۳	۱.۹۶	۲.۰۲	۱.۷۷	۱.۷۵	۱.۶۸	۱.۸۹	۱.۶۶	۱.۳۹	۱.۷
Eu	۰.۳۴	۰.۹	۰.۸۵	۰.۹	۱.۴	۰.۵	۰.۴۷	۰.۴۹	۰.۵۴	۰.۹۹	۰.۸۷	۰.۹۷	۰.۹۷	۰.۸۰	۱.۰۱	۰.۸۱	۰.۸۶	۰.۹۰
Gd	۰.۹	۱.۷۷	۱.۸۳	۱.۵۴	۳.۹۵	۱.۲۲	۱.۹۸	۳.۶۸	۱.۲	۳.۴۲	۳.۵۵	۳.۲۹	۳.۳	۳.۰۲	۳.۳۷	۲.۷۴	۲.۴۵	۳.۰۳
Hf	۰.۴	۲.۰۱	۱.۶۲	۱.۶	۱.۳۳	۰.۸۳	۳.۱۵	۳.۱۵	۱.۲۴	۱.۲۲	۱.۳	۱.۱۵	۱.۶۴	۱.۳۹	۱.۷۲	۰.۶۶	۱.۳۴	۱.۴۴
La	۱.۸	۶.۸۸	۶.۶۷	۷.۲۴	۴.۷	۱۴	۲.۷	۲.۴	۱۵.۵۴	۱.۷	۱.۸	۲.۰	۲.۲	۱.۸	۱.۷	۱.۷	۱.۶	۱.۸
Li	۱۱.۱	۱۲.۶۳	۱۰.۴۵	۱۲.۹۱	۳.۶	۲.۳	۲.۲	۲.۵	۱۷.۵۷	۴.۱	۴.۱	۳.۸	۳.۶	۳.۸	۳.۶	۳.۰	۳.۲	۳.۶
Lu	۰.۲۱	۰.۳۵	۰.۴۵	۰.۴۹	۰.۱۱	۰.۱۲	۰.۳	۰.۲۷	۰.۱۶	۰.۲۳	۰.۲۳	۰.۱۹	۰.۱۹	۰.۱۹	۰.۲۳	۰.۱۴	۰.۱۸	۰.۲
Mo	۱.۵	۱.۳۱	۱	۱.۴	۱۱.۵	۱.۱	۱.۶	۰.۵	۳.۶۶	۱۵.۲	۰.۵	۰.۱	۰.۱	۰.۱	۰.۱	۰.۵۹	۰.۱	۰.۱
Nb	۴.۵۲	۴.۱۳	۳.۷۳	۵.۶۳	۷	۹.۹	۱۳.۱	۱۵.۲	۶.۱۳	۱۰.۳	۱۱.۸	۱۰.۵	۱۰.۳	۱۰.۵	۹.۳	۸.۷	۸.۴	۹.۷
Nd	۴.۵۶	۱۱.۲۴	۱۱.۰۶	۱۱.۱۳	۳.۶۴	۸.۵	۱۵.۷	۱۹.۹	۵.۷۲	۱۴.۶	۱۵.۱	۱۶.۸	۱۸.۲	۱۴.۹	۱۴.۵	۱۳.۱	۱۴.۹	۱۴.۹
Ni	۱۰.۹۸	۱۷.۰۴	۲۰.۷۱	۱۷.۸۷	۳	۲.۵	۱.۷	۹	۱۰.۱۷	۲.۵	۲.۰	۲.۱	۲.۲	۲.۷	۲.۷	۲.۷	۲.۵	
Pb	۱۶.۲۷	۳۲.۵۷	۷.۴۳	۹.۵۶	۲.۴۴	۳.۰۱	۱.۶	۱.۰	۱۱۱.۹	۳.۶۴	۸.۱	۳.۸	۲.۶	۲.۴	۲.۳	۱.۷	۲.۷	۶.۵
Pr	۳.۵۱	۱.۶۱	۱.۴۷	۱.۶۹	۹.۲۳	۱.۸۹	۴.۱۴	۴.۷۸	۲.۳۵	۳.۳۴	۳.۶۱	۴.۰۱	۴.۴۵	۳.۵۹	۳.۳۶	۳.۰۴	۲.۹۸	۳.۵۱
Rb	۱۰.۵۸	۱۰.۳۶	۹.۰۷	۲۰.۲۵	۱.۰۴	۹.۹	۱۴.۱	۱۲.۷	۶۱.۱۹	۷.۷	۵.۳	۷.۶	۹.۷	۷.۴	۳.۶	۵.۷	۶.۹	۶.۱
Sb	۱.۶	۱.۴۷	۱.۲۳	۱	۵.۲	۱.۲	۱.۱	۹.۵	۷.۰۵	۳.۵	۳.۹	۴	۳.۸	۳.۲	۲.۹	۲	۲.۲	۳.۷
Sc	۱.۸۸	۷.۹۸	۹.۷۷	۶.۴۳	۳.۵	۱۷.۴	۵.۷	۸.۹	۶.۴۳	۲۲.۷	۲۴.۲	۲۲.۵	۲۲.۸	۲۵.۷	۲۸.۴	۲۰.۹	۲۱.۴	۲۵.۳
Sm	۰.۹۳	۱.۶۷	۱.۷۱	۱.۴۹	۰.۰۲	۱.۶۳	۲.۵۵	۳.۹	۰.۹۶	۳.۶۳	۳.۶۳	۳.۷۲	۳.۹۳	۳.۴۵	۳.۵۹	۳.۱۲	۳.۰۱	۳.۴۱
Sn	۱.۱۳	۰.۶	۰.۵	۰.۸	۱.۲	۱.۳	۱.۳	۱.۴	۱.۳۷	۱.۵	۱.۳	۱.۲	۱.۲	۱.۲	۱.۲	۱.۲	۱.۳	۱.۲
Sr	۱۶.۰۸	۴۲۴.۰۴	۴۰۴.۷۲	۳۱۴.۰۳	۲۷.۶	۱۱.۰۲	۶۷.۲	۱۱۲.۳	۱۵۲.۴۴	۱۰.۱۴	۹.۵۲	۹.۶۱	۱۰.۴۶	۱۲.۰۲	۱۶.۱۴	۱۱.۱	۸.۴۳	۱۰.۲۵
Ta	۰.۴۸	۰.۵	۰.۸	۰.۹	۰.۵۲	۰.۶۷	۰.۸۶	۰.۸۵	۰.۶۷	۰.۷۱	۰.۷۸	۰.۷	۰.۶۸	۰.۷۱	۰.۶۴	۰.۵۶	۰.۶۰	۰.۶۲
Tb	۰.۴۵	۰.۲۲	۰.۳۶	۰.۵۳	۰.۴۸	۰.۳۱	۰.۴۱	۰.۶۴	۰.۳۵	۰.۶۱	۰.۶۲	۰.۵۸	۰.۵۸	۰.۵۵	۰.۶	۰.۵۲	۰.۴۸	۰.۵۳
Te	۰.۲۱	۰.۲۴	۰.۱۳	۰.۲۱	۰.۳۷	۰.۱	۰.۳۳	۰.۱	۰.۳۳	۰.۱	۰.۱	۰.۱	۰.۱	۰.۱	۰.۱	۰.۱۳	۰.۱۳	۰.۱۲
Th	۰.۷۶	۱.۹۱	۱.۵	۲.۵	۴.۱۹	۲.۸۴	۱۳.۰۹	۶.۸۶	۱.۹۲	۱۴.۱۳	۳.۱۴	۳	۳.۴۵	۳.۱۳	۲.۸			

ادامه جدول ۲

نمونه	BH1-094-097	BH1-097-100	BH1-100-103	BH1-103-106	BH1-106-109	BH1-109-112	BH1-112-115	BH1-115-118	BH1-118-121	BH1-121-124	BH1-124-127	BH1-127-130	BH1-130-133	BH1-133-136	BH1-141-146	BH1-146-151	BH1-151-154	BH1-154-157
SiO ₂	۵۲٫۷۹	۵۱٫۸۲	۴۹٫۳۵	۵۲٫۲۴	۵۲٫۷۵	۵۵٫۸۲	۵۳٫۵۹	۵۴٫۲	۵۶٫۵۶	۵۳٫۴۴	۵۵٫۰۶	۵۵٫۳۱	۵۵٫۴	۵۵٫۵۲	۶۳٫۹۶	۶۴٫۳۴	۶۲٫۳	۶۲٫۱۹
Al ₂ O ₃	۱۵٫۲۱	۱۴٫۷۱	۱۳٫۷۵	۱۴٫۸۹	۱۵٫۴۴	۱۶٫۱۷	۱۴٫۹۵	۱۵٫۸۲	۱۵٫۷۷	۱۵٫۲۹	۱۵٫۷۱	۱۵٫۱۳	۱۵٫۰۴	۱۵٫۸۳	۱۴٫۹۲	۱۵٫۰۷	۱۵٫۴۹	۱۱٫۹۴
BaO	۰٫۰۵	۰٫۰۵	۰٫۰۵	۰٫۰۵	۰٫۰۵	۰٫۰۵	۰٫۰۵	۰٫۰۵	۰٫۰۵	۰٫۰۵	۰٫۰۹	۰٫۰۵	۰٫۰۵	۰٫۰۵	۰٫۰۷	۰٫۰۸	۰٫۰۸	۰٫۰۷
CaO	۱٫۴۶	۱٫۸۳	۱٫۲۴	۲٫۲۶	۵۵٫۴	۱٫۵۱	۱٫۱۲	۱٫۶	۳٫۲۱	۴٫۵۸	۲٫۷۷	۲٫۳۶	۱٫۴۵	۴٫۰۳	۱٫۷۴	۲٫۰۵	۱٫۸۷	۱٫۱۹
Fe ₂ O ₃	۱۴٫۷۷	۱۶٫۸۸	۱۷٫۸۹	۱۳٫۵۱	۸٫۴۶	۱۰٫۴۹	۱۳٫۸۷	۱۳٫۵۵	۹٫۱۲	۹٫۵۵	۹٫۳۱	۱۰٫۸۶	۱۳٫۶۹	۸٫۹۲	۵٫۷۳	۵٫۱۸	۵٫۹۴	۱۱٫۱۹
K ₂ O	۲٫۱۹	۲	۰٫۹۲	۰٫۷۷	۱٫۶۴	۱٫۵۳	۱٫۱۲	۱٫۵۸	۰٫۹۳	۲٫۲۱	۳٫۱۳	۲٫۱۵	۳٫۰۶	۲٫۹۶	۴٫۸	۴٫۵۵	۵٫۱۷	۳٫۷۸
MgO	۴٫۳۳	۳٫۴۴	۴٫۸۹	۴٫۷۲	۴٫۱	۴٫۳۸	۴٫۲۳	۳٫۵۴	۳٫۸۱	۴٫۱۴	۳٫۵	۳٫۴۸	۳٫۵۵	۳٫۴۷	۱٫۹۲	۱٫۹۱	۱٫۸۸	۱٫۶۳
MnO	۰٫۵۱	۰٫۴۵	۰٫۵۴	۰٫۵۷	۰٫۴۳	۰٫۳۳	۰٫۴۱	۰٫۳۶	۰٫۴	۰٫۳۶	۰٫۳۱	۰٫۳۸	۰٫۲۵	۰٫۲۹	۰٫۲۲	۰٫۲۱	۰٫۲۱	۰٫۲۳
Na ₂ O	۲٫۷۴	۲٫۶۲	۲٫۴۴	۳٫۷۱	۳٫۳۱	۳٫۱۷	۳٫۰۳	۳٫۴۴	۳٫۴۶	۳٫۵۶	۳٫۷۷	۳٫۵	۳٫۰۹	۳٫۴۵	۳٫۴	۳٫۵۶	۳٫۵۱	۲٫۵۹
P ₂ O ₅	۰٫۲۸	۰٫۲۳	۰٫۲۴	۰٫۲۵	۰٫۲۷	۰٫۲۲	۰٫۲۱	۰٫۲۱	۰٫۲۱	۰٫۲۲	۰٫۲۲	۰٫۲۰	۰٫۲	۰٫۱۹	۰٫۱۱	۰٫۱۲	۰٫۱۲	۰٫۱۱
SO ₃	۰٫۳۷	۰٫۴۱	۲٫۵۹	۰٫۲	۰٫۰۸	۰٫۸۱	۰٫۴۶	۰٫۵۵	۰٫۲۰	۰٫۴۱	۰٫۸۱	۱٫۱	۰٫۹	۰٫۵۲	۰٫۰۵	۰٫۵۳	۱٫۹۲	
TiO ₂	۰٫۸۵	۰٫۸۲	۰٫۸۴	۰٫۹۱	۰٫۸۸	۰٫۹	۰٫۹۸	۰٫۸۴	۰٫۹۱	۰٫۹۲	۰٫۸۳	۰٫۹	۰٫۷۶	۰٫۷۶	۰٫۴۸	۰٫۴۹	۰٫۵	۰٫۳۹
L.O.I	۴٫۴۴	۴٫۷۲	۵٫۲۷	۴٫۹۲	۷٫۰۳	۴٫۶۲	۴٫۹۷	۴٫۰۶	۴٫۴۶	۵٫۲۶	۴٫۴۸	۴٫۵۸	۳٫۵۶	۴٫۳۸	۲٫۴۶	۲٫۰۹	۲٫۴	۲٫۷۷
مجموع %	۹۹٫۹۹	۹۹٫۹۹	۱۰۰	۱۰۰	۹۹٫۹۸	۱۰۰	۹۹٫۹۹	۱۰۰	۹۹٫۹۹	۹۹٫۹۹	۹۹٫۹۹	۱۰۰	۱۰۰	۱۰۰	۱۰۰	۱۰۰	۱۰۰	۱۰۰
Ag	۰٫۵۰	۰٫۴۰	۰٫۴۰	۰٫۶۰	۰٫۴۰	۰٫۴۰	۱٫۵	۱٫۳	۰٫۹۰	۰٫۶۰	۱	۱٫۷	۰٫۵	۰٫۷	۰٫۸	۰٫۵	۰٫۹	۰٫۴۹
As	۶٫۸	۶٫۵	۶٫۶	۵٫۴	۳٫۷	۲	۲٫۷	۱٫۸	۵٫۸۰	۳٫۲۰	۲٫۲۰	۲٫۷	۳٫۸	۵٫۱	۲٫۹	۲٫۹	۴٫۴	۳٫۴
Ba	۳۸٫۴	۱۷٫۳	۱۱۱۱	۹۱۲	۱۱۹۷	۱۳۳	۱۲۸	۱۳۵	۷۹	۳۹۲	۸۸۵	۵۰۵	۴۱۵	۸۱۹	۶۶۱	۷۳۴	۷۰۷	۵۴۸
Be	۱٫۳	۱٫۳	۱٫۲	۱٫۴	۱٫۴	۱٫۳	۱٫۳	۱٫۳	۱٫۴	۱٫۴	۱٫۲	۱٫۳	۱٫۷	۱٫۳	۱٫۵	۱٫۵	۱٫۴	۱٫۳
Bi	۰٫۷۰	۰٫۶۰	۰٫۷۰	۰٫۶۰	۰٫۶۰	۱٫۵	۱٫۱	۱	۰٫۵	۰٫۵	۰٫۵	۰٫۵	۰٫۵	۷٫۸	۰٫۴	۰٫۴	۰٫۷	۰٫۷
Cd	۰٫۱۰	۰٫۱۰	۰٫۱۰	۰٫۱۰	۰٫۱۰	۰٫۱۰	۰٫۱۰	۰٫۱۰	۰٫۱۰	۰٫۱۰	۰٫۱۰	۰٫۱۰	۰٫۱	۰٫۷	۰٫۱	۰٫۱	۰٫۱	۰٫۲۱
Ce	۳٫۸	۳٫۶	۲٫۷	۳٫۵	۴٫۰	۲٫۷	۴٫۰	۳٫۰	۴٫۳	۴٫۲	۳٫۶	۴٫۶	۴٫۸	۳٫۹	۵٫۴	۵٫۸	۵٫۹	۳٫۸
Co	۱۹٫۳۰	۲۰٫۴	۶۶٫۲	۲۱٫۴	۱۲٫۱	۲۱٫۴	۱۸٫۸	۱۹٫۸	۱۶٫۲	۱۸٫۷	۱۷٫۱	۱۵٫۹	۲۲٫۵	۲۴	۱۰٫۷	۹٫۵	۱۳٫۵	۶٫۱
Cr	۷٫۲	۶٫۲	۷٫۲	۶٫۵	۴٫۸	۵٫۹	۵٫۲	۴٫۴	۳٫۷	۴٫۱	۵٫۳	۳٫۶	۲٫۸	۲٫۱	۱۰	۱۱	۱۱	۲٫۵
Cs	۴٫۵	۵٫۱	۳٫۷	۵٫۱	۷	۵٫۶	۴٫۸	۴٫۱	۴٫۸	۴٫۵	۳٫۸	۴٫۲	۴٫۶	۶	۲٫۷	۲	۲٫۲	۲٫۲
Cu	۱۱۰	۱۰۸	۶۱	۸۷	۸	۱۰۶	۹۷۱	۱۰۲۵	۷۲۵	۱۲۵۱	۲۸۲۳	۳۶۷۳	۳۹۶	۲۰۱	۱۹۰	۵۱	۱۰۴۴	۵۳۵
Dy	۳٫۴۲	۳٫۰۸	۴٫۰۱	۳٫۶۵	۳٫۴۲	۲٫۳۵	۳٫۷۶	۳٫۰۳	۳٫۳۸	۳٫۳۵	۳٫۱۶	۳٫۶۱	۳٫۸۷	۳	۳٫۳	۳٫۱۵	۳٫۱۴	۲٫۵۸
Er	۱٫۷۴	۱٫۶۱	۲٫۰۲	۱٫۹۳	۱٫۷۱	۱٫۲۲	۲	۱٫۵۶	۱٫۶۶	۱٫۷۵	۱٫۶۶	۱٫۹	۱٫۶۴	۱٫۶۸	۱٫۷۳	۱٫۷۷	۱٫۷۲	۱٫۵۲
Eu	۱۰٫۴	۰٫۷۱	۰٫۹۴	۰٫۸۸	۰٫۹۹	۰٫۴۴	۰٫۹۸	۰٫۶۴	۰٫۸۰	۰٫۹۸	۰٫۸۴	۰٫۹	۰٫۸۴	۰٫۹	۰٫۷۶	۰٫۷۸	۰٫۸۳	۰٫۵۳
Gd	۳٫۴۳	۲٫۸۹	۳٫۴۹	۳٫۳۸	۳٫۲۱	۱٫۸۹	۳٫۵۸	۳٫۵۵	۳٫۱۴	۳٫۱۹	۲٫۷	۳٫۴۳	۲٫۹۴	۲٫۶۶	۲٫۷۹	۲٫۸۷	۲٫۸۵	۱٫۸۸
Hf	۱٫۱۷	۱٫۰۹	۱٫۰۴	۱٫۰۶	۰٫۹۷	۰٫۸۱	۱٫۱۶	۰٫۵۸	۰٫۸۳	۱٫۴۳	۱٫۰۵	۱٫۱۴	۰٫۷۳	۱٫۷۹	۳٫۰۴	۲٫۷۹	۲٫۸۸	۲٫۴۷
La	۱۹	۱۷	۱۳	۱۶	۱۸	۱۳	۱۹	۱۳	۲۱	۲۰	۱۷	۲۲	۲۳	۱۸	۲۶	۳۰	۳۰	۲۰
Li	۳۵	۳۰	۴۶	۴۳	۴۰	۴۳	۴۳	۳۴	۳۶	۳۵	۳۰	۳۵	۲۵	۲۲	۱۷	۱۴	۱۴	۱۶
Lu	۰٫۲	۰٫۱۷	۰٫۲۲	۰٫۲۲	۰٫۱۸	۰٫۱۴	۰٫۲۳	۰٫۱۸	۰٫۱۹	۰٫۱۹	۰٫۱۹	۰٫۲۲	۰٫۱۷	۰٫۲۹	۰٫۲۵	۰٫۲۵	۰٫۲۴	
Mo	۰٫۱	۰٫۱	۰٫۱	۰٫۱	۰٫۱	۰٫۱	۰٫۱	۰٫۴	۰٫۱	۰٫۷	۰٫۴	۱	۰٫۱	۰٫۳	۳٫۴	۳٫۱	۳٫۸	۵٫۵
Nb	۹٫۱	۱۰٫۶	۱۰٫۲	۱۰٫۹	۱۰٫۵	۱۲٫۴	۱۱٫۸	۱۱٫۴	۱۳٫۲	۱۱٫۶	۱۰٫۱	۱۳٫۲	۱۳٫۹	۹٫۷	۱۳	۱۳٫۵	۱۲٫۹	۱۰٫۲
Nd	۱۵٫۶	۱۳٫۸	۱۲٫۲	۱۴٫۵	۱۴٫۸	۹٫۵	۱۶٫۷	۱۱٫۱	۱۶٫۳	۱۵٫۶	۱۲٫۴	۱۷٫۱	۱۷٫۴	۱۳	۱۵٫۸	۱۶٫۷	۱۶٫۸	۱۰٫۶
Ni	۲۳	۲۱	۲۵	۲۲	۱۹	۲۶	۲۸	۲۰	۱۵	۱۵	۲۲	۱۲	۱۱	۱۵	۶	۷	۸	۱۱
Pb	۲٫۸	۳٫۸	۳٫۴	۴٫۸	۲٫۵	۱٫۹	۶٫۴	۱۳٫۵	۱۷	۱۴	۲۲	۳۰	۲۱	۸۳	۲۶	۵۰	۲۰	۲۲
Pr	۳۵٫۹	۳۲٫۶	۲۷٫۲	۳۳٫۳	۳۴٫۴	۲۱٫۸	۳۹٫۱	۳۵٫۱	۴۰٫۳	۳٫۷	۲٫۹۸	۴٫۲۳	۴٫۳۴	۳٫۱۶	۴٫۳۱	۴٫۵۷	۴٫۶	۲٫۸۳
Rb	۶٫۸	۷٫۱	۳٫۸	۳٫۷	۵٫۷	۵٫۶	۴٫۱	۵٫۸	۲٫۹	۵٫۳	۶٫۲	۵٫۲	۹٫۲	۷٫۹	۱۰٫۴	۱۰٫۱	۱۰٫۲	۸٫۸
Sb	۳٫۳	۲٫۹	۲٫۴	۴٫۳	۳٫۴	۲٫۹	۳٫۳	۲٫۳	۶	۶٫۵	۳٫۳	۵٫۴	۲٫۳	۱٫۷	۳٫۲	۳٫۲	۳٫۸	۲٫۶
Sc	۲۴٫۱	۲۱٫۸	۲۲٫۷	۲۵٫۲	۲۲٫۶	۲۰	۲۴٫۸	۱۹٫۳	۱۹٫۸	۲۰٫۹	۱۹٫۳	۱۰٫۲	۱۶	۱۹	۱۰	۱۰٫۳	۱۰٫۳	۷٫۷
Sm	۳٫۶۹	۳٫۱۷	۳٫۳۱	۳٫۶۱	۳٫۶۳	۲٫۳۳	۳٫۸۷	۳٫۷۱	۳٫۵	۳٫۴۴	۳٫۱۲	۳٫۸۴	۳٫۶۶	۳٫۱۱	۳٫۳۳	۳٫۴۴	۳٫۴۸	۲٫۲۸
Sn	۱٫۳	۱٫۳	۱٫۳	۱٫۳	۱٫۳	۱٫۱	۱٫۲	۱٫۹	۱٫۸	۱٫۵	۱٫۲	۱٫۷	۱٫۶	۱٫۲	۱	۱٫۱	۱	۱
Sr	۷۳٫۵	۶۱٫۲	۴۴٫۴	۹۱٫۹	۱۱۵٫۵	۸۰٫۲	۷۴٫۷	۸۲٫۳	۱۵۱٫۲	۱۹۸٫۴	۱۴۰٫۹	۱۰۰٫۹۵	۴۸۳	۲۰۰٫۶۱	۱۳۴٫۹	۱۵۸٫۸	۱۳۴٫۹	۷۵
Ta	۰٫۶۵	۰٫۶۸	۰٫۶۶	۰٫۶۸	۰٫۶۶	۰٫۷۳	۰٫۷۴	۰٫۷۰	۰٫۷۹	۰٫۷۴	۰٫۶۳	۰٫۷۷	۰٫۸۱	۰٫۶۵	۰٫۸۶	۰٫۹۸	۰٫۸۸	۰٫۶۵
Tb	۰٫۵۸	۰٫۵۳	۰٫۶۳	۰٫۶	۰٫۵۷	۰٫۴۲	۰٫۶۲	۰٫۵۲	۰٫۵۶	۰٫۵۷	۰٫۵۴	۰٫۶۱	۰٫۵۱	۰٫۵۱	۰٫۵۴	۰٫۵۵	۰٫۵۵	۰٫۴۴
Te	۰٫۱	۰٫۱	۰٫۲۲	۰٫۱	۰٫۱	۰٫۱۴	۰٫۱	۰٫۲۱	۰٫۱	۰٫۱۹	۰٫۱	۰٫۱۲	۰٫۱	۰٫۱۳	۰٫۱	۰٫۱۲	۰٫۱۴	۰٫۱۵
Th	۲٫۸۳	۳٫۱	۲٫۸	۳٫۲۱	۲٫۸۹	۳٫۲۰	۳٫۴۲	۳	۳٫۷۲	۳٫۷	۳٫۴۲	۴٫۶۳	۴٫۳۹	۵٫۴۵	۱۴٫۳۶	۱۳٫۹۶	۱۳٫۴۵	۱۱٫۴۶
Ti	۵۰۰٫۳	۴۷۹٫۳	۴۸۱٫۹	۵۲۰	۴۸۶٫۴	۴۹۷٫۴	۵۵۷٫۳	۴۷۱٫۷	۵۰۳٫۶	۵۰۰٫۳	۴۷۰٫۴	۵۰۰٫۹۲	۴۴۴٫۹	۴۳۹٫۸	۲۸۱٫۶	۲۸۳٫۴	۲۸۳٫۸	۲۴۲٫۷
Tl	۰٫۳۷	۰٫۳۸	۰٫۲۰	۰٫۱۴	۰٫۳	۰٫۳۰	۰٫۲۲	۰٫۲۸	۰٫۳۰	۰٫۳۰	۰٫۴۱	۰٫۲۹	۰٫۵۱	۰٫۴۳	۰٫۴۹	۰٫۴۹	۰٫۴۳	۰٫۴۳
Tm	۰٫۲۷	۰٫۲۵	۰٫۳	۰٫۲۹	۰٫۲۷	۰٫۲۱	۰٫۳۱	۰٫۲۵	۰٫۲۵	۰٫۲۷	۰٫۲۷	۰٫۳	۰٫۲۳	۰٫۲۷	۰٫۳۱	۰٫۲۹	۰٫۲۸	۰٫۲۶
U	۰٫۹	۰٫۹	۰٫۸	۰٫۸	۰٫۸	۰٫۷۵	۱	۰٫۷	۰٫۹	۱٫۱	۱	۱٫۱۱	۰٫۹	۱٫۶	۳٫۸	۳٫۷	۳٫۶	۲٫۹
V	۱۶۲	۱۵۵	۱۵۳	۱۶۵	۱۶۴	۱۶۰	۱۷۷	۱۴۳	۱۵۰	۱۷۷	۱۳۹	۱۴۰	۱۱۷	۱۵۰	۷۸	۸۰	۷۹	۶۸
W	۵۵	۱۳۳	۱۴۴	۵۶	۲٫۸	۴٫۳	۷٫۵	۱۱٫۴	۳٫۸	۲٫۳	۲٫۶	۴٫۸	۲۳٫۷	۷	۳	۲٫۶	۲٫۶	۲٫۷۸
Y	۱۸٫۸																	

ادامه جدول ۲

نمونه	BHI-157-160	BHI-160-163	BHI-163-166	BHI-166-169	BHI-169-172	BHI-172-175	BHI-175-178	BHI-178-181	BHI-181-184	BHI-184-187	BHI-187-190	BHI-190-193	BHI-193-196	BHI-196-199	BHI-199-202	BHI-202-206	BHI-206-210	BHI-210-214
SiO ₂	۵۹,۴۳	۵۲,۲۷	۵۳,۴۵	۵۵,۷۴	۶۳,۸۶	۵۵,۴۷	۵۳,۷	۴۹,۶۱	۵۰,۳۵	۵۰,۱۸	۵۰,۱	۵۰,۴	۵۱,۰۸	۴۹,۸۸	۴۹,۶۴	۵۱,۱۸	۵۱,۵۵	۵۰,۹۱
Al ₂ O ₃	۱۲,۴۴	۱۵,۷۱	۱۵,۵۸	۱۵,۱۲	۱۴,۹۱	۱۶,۰۳	۱۶,۱۴	۱۶,۲۹	۱۷,۰۲	۱۷,۰۷	۱۶,۵۱	۱۷,۱۰	۱۶,۴۴	۱۵,۹	۱۵,۸	۱۶,۴۱	۱۶,۵۶	۱۶,۴
BaO	۰,۰۷	۰,۱	۰,۰۸	۰,۰۹	۰,۰۷	۰,۰۸	۰,۰۸	۰,۰۸	۰,۰۷	۰,۰۷	۰,۰۸	۰,۰۶	۰,۰۷	۰,۰۶	۰,۰۷	۰,۰۷	۰,۰۵	۰,۰۵
CaO	۱,۸۷	۲,۰۶	۲,۸۶	۱,۹۶	۱,۵۵	۳,۵۵	۳,۷۳	۴,۹۱	۶,۵۱	۶,۸۱	۵,۸۹	۷,۰۷	۳,۷۹	۶,۲۹	۴,۹۵	۶,۷۲	۸,۱۲	۷,۵۲
Fe ₂ O ₃	۱۱,۹۱	۱۳,۵۳	۱۱,۸۱	۱۱,۰۶	۶,۲۶	۹,۵۶	۱۰,۰۴	۱۲,۵۸	۱۰,۰۳	۹,۸۳	۱۱,۰۴	۱۰,۴	۱۲,۱۵	۱۲,۱۹	۱۲,۰۸	۹,۹۳	۹,۶۴	۱۰,۰۱
K ₂ O	۳,۹۲	۴,۷۵	۳,۸۰	۴,۲۴	۴,۲۳	۳,۹۳	۳,۶۷	۲,۸۹	۲,۷۱	۲,۸۱	۳,۰۲	۲,۴	۳,۲۱	۲,۴۲	۳,۰۴	۲,۵۷	۱,۹۵	۲,۱۹
MgO	۲,۳۵	۴,۰۵	۴,۱۶	۴,۵۳	۲,۰۳	۴	۴,۱۶	۴,۹۴	۵,۱۴	۵,۱۱	۴,۸۷	۴,۵۸	۵,۰۳	۴,۷۵	۴,۷۶	۴,۸۷	۴,۹۱	۴,۵۷
MnO	۰,۳۷	۰,۵۹	۰,۵۸	۰,۵	۰,۲۴	۰,۵۲	۰,۴۷	۰,۶	۰,۵۲	۰,۵۱	۰,۵۶	۰,۴۹	۰,۶۴	۰,۶۴	۰,۶	۰,۴۷	۰,۳۶	۰,۴۶
Na ₂ O	۱,۸۳	۱,۲۱	۱,۵۵	۱,۸۵	۳,۳۷	۲,۳۸	۲,۰۳	۲,۰۵	۳,۲۴	۲,۹۴	۲,۱۲	۲,۴۷	۲,۴۲	۱,۷۳	۲,۱۹	۲,۶۸	۲,۹۱	۲,۶۹
P ₂ O ₅	۰,۱۲	۰,۱۹	۰,۱۸	۰,۱۷	۰,۱۱	۰,۱۸	۰,۲	۰,۲۱	۰,۲۲	۰,۲۳	۰,۲۰	۰,۲۰	۰,۲۲	۰,۲۲	۰,۲۲	۰,۲۳	۰,۲۱	۰,۲۳
SO ₃	۱,۵	۰,۳۸	۰,۶۴	۰,۶۷	۰,۲۳	۰,۱۹	۰,۳۷	۰,۵۵	۰,۱۵	۰,۱۲	۰,۴۵	۰,۱۵	۰,۰۹	۰,۲۵	۰,۱۷	۰,۲۱	۰,۱	۰,۱۴
TiO ₂	۰,۴۸	۰,۷۴	۰,۷۴	۰,۶۷	۰,۵	۰,۷۳	۰,۷۷	۰,۸۳	۰,۹	۰,۹	۰,۸۲	۰,۸۸	۰,۹۲	۰,۹۲	۰,۸۹	۰,۹۱	۰,۸۹	۰,۹۱
L.O.I	۳,۷	۴,۶۱	۴,۵۷	۳,۳۹	۲,۶۴	۳,۳۸	۴,۶۳	۴,۴۵	۳,۱۴	۳,۴۲	۴,۳۳	۳,۷۹	۳,۹۳	۴,۷۵	۵,۵۹	۳,۸۲	۲,۹۳	۳,۹۲
مجموع %	۹۹,۹۹	۹۹,۹۹	۱۰۰	۹۹,۹۹	۱۰۰	۱۰۰	۹۹,۹۹	۹۹,۹۹	۱۰۰	۱۰۰	۹۹,۹۹	۹۹,۹۹	۱۰۰	۱۰۰	۱۰۰	۱۰۰	۱۰۰	۱۰۰
Ag	۱,۳	۰,۶	۰,۴۷	۰,۴	۰,۹	۰,۷	۱,۳	۰,۷	۰,۳	۰,۳	۰,۷	۰,۴	۰,۷	۰,۵	۰,۶	۰,۳	۰,۲	۰,۵
As	۱,۷	۴,۳	۵,۷	۵,۶	۴,۸	۲,۳	۸,۴	۶,۲	۱۸,۸	۱۹,۲	۱۱,۵	۱,۴	۱۳,۷	۱۵,۸	۵	۱۴,۷	۱۵,۲	۱۴,۸
Ba	۹۵,۴	۹۵,۵	۷۶,۰	۷۴,۸	۷۸,۳	۶۲,۲	۸۹,۳	۶۵,۵	۶۳,۳	۷۵,۱	۶۸,۹	۵۳,۰	۶۹,۰	۶۱,۲	۶۰,۲	۶۰,۲	۴۶,۶	۴۶,۱
Be	۱,۱	۱,۴	۱,۷	۱,۵	۱,۴	۱,۳	۱,۵	۱,۳	۱,۱	۱,۱	۱,۲	۱,۲	۱,۴	۱,۵	۱,۳	۱,۲	۱	۱,۱
Bi	۰,۸	۰,۵	۰,۵	۰,۶	۰,۵	۰,۵	۰,۵	۰,۷	۰,۵	۰,۵	۰,۶	۰,۵	۰,۶	۰,۹	۰,۸	۰,۵	۰,۴	۰,۶
Cd	۰,۱	۰,۱	۰,۲۶	۰,۱	۰,۱	۰,۱	۰,۱	۰,۳	۰,۴	۰,۳	۰,۱	۰,۱	۰,۱	۰,۱	۰,۱	۰,۲	۰,۱	۰,۲
Ce	۳,۵	۳,۲	۲,۶	۳,۲	۳,۲	۵,۵	۳,۶	۲,۷	۲,۷	۲,۸	۲,۷	۲,۶	۲,۴	۲,۵	۲,۴	۲,۷	۲,۷	۲,۷
Co	۳,۹۹	۲,۰۸	۲,۶	۳,۸۲	۲,۰۳	۹,۵	۱۹,۴	۳۱,۴	۲۸,۳	۲,۶۶	۲,۸	۲,۵۲	۲,۳۳	۲,۶	۲,۸	۲,۶۳	۲,۶۳	۲,۶
Cr	۱,۵	۲,۱	۴,۵	۲,۰	۱,۹	۱۲	۱۸	۲۳	۴۲	۳۳	۲۴	۵۱	۲۴	۲۴	۲۴	۲۸	۲,۶	۵,۳
Cs	۳,۳	۵,۶	۴,۴	۶,۸	۴,۴	۲,۵	۴,۳	۶,۳	۷,۲	۸	۵,۲	۵,۳	۳,۹	۴,۷	۵,۲	۶,۹	۶,۵	۷,۷
Cu	۱۴,۱۱	۲۳,۶	۶۷,۱	۱۳,۸	۱۴,۹۳	۵۷,۹	۳۴,۱	۴۸,۶	۱۰۰	۱۵,۴	۴۶,۳	۲۲,۵	۲,۴۱	۴,۵	۲,۵۳	۱۳,۲	۹,۷	۱۷,۸
Dy	۲,۶۶	۲,۰۵	۳,۲۹	۳,۰۷	۲,۹۵	۳,۰۱	۳,۰۲	۲,۹۴	۲,۹۶	۲,۵۳	۳,۱۶	۳,۱۷	۳,۱۱	۳,۳	۳,۱۵	۳,۰۳	۳,۰۶	۳,۰۸
Er	۱,۵۴	۱,۶۸	۱,۷۳	۱,۷۱	۱,۷۲	۱,۷۶	۱,۶۴	۱,۶۵	۱,۶۹	۲	۱,۷۶	۱,۸۱	۱,۶۸	۱,۸	۱,۶۹	۱,۷۶	۱,۷۶	۱,۷۵
Eu	۰,۵۵	۰,۷۸	۰,۹۳	۰,۸۳	۰,۵۹	۰,۶۳	۰,۸۴	۰,۹۹	۱,۰۶	۱,۳۶	۱,۱	۱,۱۵	۱,۰۸	۱,۱۹	۱,۰۹	۱,۰۳	۱,۰۳	۱,۰۴
Gd	۲,۰۳	۲,۵۷	۲,۶۲	۲,۶۹	۲,۴۱	۲,۵۷	۲,۵۴	۲,۱۸	۲,۲	۲,۹۴	۲,۴۲	۲,۴۱	۲,۳۴	۲,۷۸	۲,۴۵	۲,۴۳	۲,۳۳	۲,۴۵
Hf	۲,۰۶	۱,۶۴	۱,۰۵	۱,۷۷	۲,۰۵	۳,۴۱	۱,۹۲	۱,۳۶	۱,۲	۱,۴۹	۱,۴۲	۱,۴۹	۱,۲	۰,۹۶	۱,۰۶	۱,۲۵	۱,۲۹	۱,۳۵
La	۱,۷	۱,۶	۱,۴	۱,۶	۱,۶	۲,۶	۱,۸	۱,۴	۱,۱۳	۱,۴	۱,۴	۱,۳	۱,۲	۱,۲	۱,۲	۱,۳	۱,۳	۱,۳
Li	۲,۲	۳,۲	۴,۰	۳,۲	۳,۱	۱,۹	۴,۵	۳,۳	۲,۷	۲,۹	۳,۳	۲,۹	۳,۱	۲,۹	۲,۹	۲,۲	۱,۷	۲,۳
Lu	۰,۲۲	۰,۲	۰,۱۸	۰,۱۵	۰,۲۳	۰,۲۷	۰,۲۳	۰,۱۷	۰,۱۹	۰,۲۲	۰,۲	۰,۱۹	۰,۱۵	۰,۱۵	۰,۱۷	۰,۱۹	۰,۱۸	۰,۱۸
Mo	۳,۳	۱	۰,۹۱	۱,۵	۵,۴	۱,۸	۱	۰,۱	۰,۱	۰,۱	۰,۱	۰,۱	۰,۱	۰,۱	۰,۱	۰,۱	۰,۱	۰,۱
Nb	۱,۰۱	۷	۴,۷	۷,۳	۸,۴	۱۱,۵	۷,۸	۵,۵	۴,۲	۴,۹	۵,۱	۴,۸	۴,۵	۴,۳	۴,۴	۴,۴	۴,۴	۴,۶
Nd	۱۱,۲	۱۰,۹	۱۰,۶	۱۱,۹	۱۱	۱۴,۷	۱۱,۷	۹,۹	۹,۶	۱۲,۵	۱۰,۷	۱۰,۶	۱۰,۱	۱۰,۷	۱۰	۱۰,۱	۹,۸	۱۰,۴
Ni	۹	۱۵	۲,۴	۱۵	۱۲	۷	۱,۴	۱,۷	۳,۰	۲,۴	۱,۹	۳,۱	۱,۹	۱,۹	۱,۹	۲,۰	۱,۹	۲,۹
Pb	۲,۳	۲,۷	۲,۳	۳,۲	۱,۸	۱,۶	۲,۲۸	۹,۴	۶,۹	۴,۵	۲,۰	۱,۶	۲,۳	۳,۴	۳,۵	۲,۹	۱,۸	۱,۹
Pr	۲,۸۳	۲,۶	۲,۲۹	۲,۷۹	۲,۷۷	۴,۰۶	۲,۸۷	۱,۹۶	۱,۸۸	۲,۵۵	۲,۱۹	۲,۱۶	۱,۹۴	۲,۱۳	۲,۰۲	۱,۹۸	۱,۹۱	۲,۰۱
Rb	۹,۲	۹,۲	۹,۲	۹,۷	۱۰,۱	۶,۶	۷,۶	۵,۸	۵,۵	۷,۸	۷,۷	۶,۵	۸,۲	۶,۳	۸,۰	۶,۳	۴,۱	۵,۱
Sb	۹,۸	۴,۱	۲,۷	۵,۹	۳	۳,۲	۶,۱	۵	۲,۶	۵,۸	۱,۲۴	۶,۷	۸,۹	۲,۳	۹,۹	۵,۲	۳,۵	۶,۱
Sc	۱۱,۵	۲,۰۱	۲,۴۳	۱,۹۷	۱,۶۳	۱۰,۷	۱,۹۶	۲,۳۶	۲,۶۲	۲,۶۵	۲,۳۸	۲,۵	۲,۵۶	۲,۴۸	۲,۴۹	۲,۵۴	۲,۵۳	۲,۵۷
Sm	۲,۴۸	۲,۸۱	۲,۹۳	۲,۸۶	۲,۶	۳,۰۷	۲,۸۵	۲,۷۵	۲,۷	۳,۴۹	۲,۹۶	۲,۹۳	۲,۸۸	۳,۰۱	۲,۹	۲,۸۱	۲,۷۸	۲,۸۶
Sn	۱,۲	۱	۱	۱,۱	۱	۱,۱	۱	۰,۹	۰,۸	۰,۹	۰,۹	۰,۸	۰,۹	۱,۱	۰,۹	۰,۸	۰,۸	۰,۸
Sr	۷,۶۸	۱۶,۸۵	۱۹,۱	۱۹,۶۲	۱۲,۸,۹	۱۱,۸,۸	۳۱,۲,۹	۳۰,۰,۵	۴,۹۸	۴,۹۸	۴,۳,۶,۶	۴,۳,۶,۲	۳,۶,۹,۷	۴,۵,۴,۵	۲,۵,۸,۸	۴,۴,۰,۳	۴,۹,۳,۶	۵۱,۰,۳
Ta	۰,۷۹	۰,۵۹	۰,۴۶	۰,۶۱	۰,۶۴	۰,۸	۰,۵۹	۰,۵۳	۰,۴	۰,۴۲	۰,۴۵	۰,۴۴	۰,۴۴	۰,۳۹	۰,۴۲	۰,۳۹	۰,۴۰	۰,۴۱
Tb	۰,۴۵	۰,۵۲	۰,۵۶	۰,۵۳	۰,۴۹	۰,۵	۰,۵	۰,۴۶	۰,۴۶	۰,۵۶	۰,۵	۰,۵	۰,۴۹	۰,۵۴	۰,۵	۰,۴۹	۰,۴۸	۰,۵
Te	۰,۲۱	۰,۱۵	۰,۱	۰,۱	۰,۱۱	۰,۱۲	۰,۱	۰,۱۲	۰,۱	۰,۱	۰,۱	۰,۱	۰,۱	۰,۱	۰,۱	۰,۱	۰,۱۲	۰,۱
Th	۹,۰۳	۴,۵۱	۱,۶۳	۴,۸۴	۷,۲۴	۱۳,۳۳	۵,۶۸	۴,۱۵	۱,۳۲	۲,۱۹	۴,۵۶	۲,۱۱	۱,۵۳	۱,۱۳	۱,۲۵	۱,۵۶	۱,۴۹	۱,۵۶
Ti	۲۸,۷	۴۳,۷۷	۴۹,۵۰	۴۲,۲۷	۳۹,۱۹	۲۹,۶۶	۴۳,۵۷	۴۸,۲۳	۵۱,۱۴	۵۲,۳۹	۴۸,۱۸	۴۹,۳۹	۵۰,۳۴	۵۰,۵۴	۴۹,۹۴	۵۰,۷۵	۵۰,۲۷	۵۱,۷۰
Tl	۰,۴۹	۰,۶۸	۰,۵۷	۰,۶۱	۰,۵۹	۰,۴۷	۰,۵۱	۰,۴۷	۰,۳۹	۰,۴۹	۰,۴۵	۰,۳۹	۰,۴۵	۰,۳۹	۰,۵	۰,۳۸	۰,۲۵	۰,۲۹
Tm	۰,۲۶	۰,۲۷	۰,۲۷	۰,۲۸	۰,۲۸	۰,۳۱	۰,۲۸	۰,۲۹	۰,۳	۰,۳۴	۰,۳۱	۰,۳۱	۰,۳	۰,۳	۰,۳	۰,۳۱	۰,۳۱	۰,۳
U	۲,۲۷	۱,۴	۰,۷	۱,۵	۱,۹	۳,۶	۱,۶۹	۰,۹	۰,۶	۰,۹	۱	۰,۹	۰,۷	۰,۷	۰,۷	۰,۸	۰,۷۲	۰,۷
V	۹,۵	۱,۶۲	۲,۱۶	۱,۶۰	۱,۳۶	۸,۲	۱,۶۰	۱,۹۱	۲,۰۱	۲,۰۶	۱,۹۲	۱,۹۸	۲,۰۳	۲,۰۲	۲,۰۰	۲,۰۱	۲,۰۲	۲,۰۳
W	۲,۴,۳	۹,۱	۸,۶	۴,۸	۴,۲	۲,۹	۱,۷	۷,۸	۱,۳	۱,۲	۳,۳	۱,۷	۲,۷	۳,				

ادامه جدول ۲

نمونه	BH1-214-218	BH1-218-222	BH1-222-226	BH1-226-230	BH1-230-234	BH1-234-238	BH1-238-242	BH1-242-246	BH1-246-250	BH1-250-254	BH1-254-258	BH1-258-262	BH1-262-266	BH1-266-270	BH1-270-274	BH1-274-278	BH1-278-282	BH1-282-286
SiO ₂	۴۹,۲۶	۴۸,۸۹	۴۸,۶۳	۵۰,۱۳	۴۹,۹۱	۵۱,۰۷	۵۰,۴	۴۹,۴۴	۵۰,۴۸	۴۹,۳۶	۴۸,۷۱	۴۹,۸۴	۵۰,۴۵	۵۰,۰۵	۴۹,۲۶	۵۴,۱۳	۵۹,۸۵	۶۰,۶۶
Al ₂ O ₃	۱۵,۷۶	۱۶,۱	۱۶,۰۷	۱۶,۲۲	۱۶,۰۶	۱۶,۳۳	۱۶,۳۳	۱۵,۹۹	۱۶,۴	۱۶,۰۶	۱۵,۹۸	۱۶,۰۸	۱۶,۱۵	۱۶,۴۲	۱۵,۸۲	۱۵,۵	۱۵,۰۳	۱۴,۷۹
BaO	۰,۱	۰,۰۷	۰,۰۵	۰,۰۸	۰,۰۶	۰,۰۸	۰,۰۷	۰,۰۶	۰,۰۷	۰,۰۶	۰,۰۵	۰,۰۶	۰,۰۶	۰,۰۷	۰,۱۱	۰,۱	۰,۱۱	۰,۱۱
CaO	۲,۵۱	۲,۱۴	۷,۰۲	۲,۶۸	۶,۳۲	۳,۱۲	۵,۶۶	۶,۲۱	۴,۹۳	۳,۱	۷,۱۷	۷,۱۲	۷,۰۶	۵,۸۲	۲,۳۳	۳,۸	۳,۲۱	۲,۷۵
Fe ₂ O ₃	۱۵,۲۶	۱۵,۲۹	۱۲,۱۷	۱۳,۵۸	۱۰,۵	۱۳,۱۳	۱۱,۷۸	۱۳,۱	۱۲,۱۹	۱۴	۹,۷۷	۹,۲۴	۹,۳۷	۱۰,۲۹	۱۳,۸۸	۹,۵۱	۶,۵۴	۵,۹
K ₂ O	۳,۸۷	۳,۰۳	۱,۴۶	۳,۴	۲,۲۱	۳,۴۲	۲,۶۳	۲,۲۸	۲,۷	۲,۵۸	۲	۲,۱۷	۲,۰۳	۲,۸۸	۵,۱۵	۵,۲۶	۵,۸	۵,۱۱
MgO	۴,۸۳	۵,۲۹	۴,۴۸	۵,۲۵	۴,۹۳	۴,۹۲	۴,۸۸	۴,۸۸	۴,۸۳	۴,۹۶	۴,۶۳	۵,۰۸	۵,۰۹	۴,۹۲	۴,۷۸	۳,۶۳	۱,۷۸	۱,۴۵
MnO	۰,۵۳	۰,۵۶	۰,۵۳	۰,۴۹	۰,۴۱	۰,۵۷	۰,۷	۰,۶۹	۰,۶۶	۰,۵۵	۰,۳۸	۰,۳۳	۰,۴۳	۰,۴۴	۰,۴۲	۰,۳۲	۰,۲۴	۰,۲۱
Na ₂ O	۱,۳۳	۱,۲۴	۱,۵۷	۱,۷۵	۲,۲۳	۱,۷۴	۱,۸۶	۱,۵۷	۲,۱۶	۲,۵۹	۲,۶۸	۳,۳۱	۳,۳۲	۳,۰۳	۱,۳۶	۱,۰۵	۱,۵۹	۳,۱۲
P ₂ O ₅	۰,۲۴	۰,۲۲	۰,۲۲	۰,۲۱	۰,۲۲	۰,۲۳	۰,۲۳	۰,۲۲	۰,۲۲	۰,۲۲	۰,۲۲	۰,۲۱	۰,۲۲	۰,۲۳	۰,۲۳	۰,۲۱	۰,۲۲	۰,۲۴
SO ₃	۰,۴۶	۰,۶۹	۰,۳۲	۰,۱۴	۰,۱۴	۰,۱۹	۰,۱۴	۰,۳۵	۰,۳۴	۰,۹	۰,۶۳	۰,۶۸	۰,۶۱	۳,۰۳	۲,۱	۰,۸۳	۱,۱۳	۱,۱۳
TiO ₂	۰,۸۴	۰,۹۱	۰,۹۱	۰,۹۴	۰,۹۱	۰,۹	۰,۸۹	۰,۹۲	۰,۹	۰,۹۲	۰,۸۶	۰,۸۸	۰,۸۷	۰,۸۹	۰,۸۴	۰,۸۱	۰,۷۸	۰,۷۸
L.O.I	۵	۵,۴۶	۶,۵۷	۵,۱۲	۶,۱	۴,۴	۴,۴۳	۴,۲۹	۴,۱۳	۴,۸۳	۶,۴۴	۵,۰۴	۴,۲۶	۴,۳۵	۲,۷۴	۲,۵۴	۲,۹۶	۳,۷۴
مجموع %	۹۹,۹۹	۹۹,۹۹	۱۰۰	۹۹,۹۹	۱۰۰	۱۰۰	۱۰۰	۱۰۰	۱۰۰	۹۹,۹۹	۹۹,۹۹	۹۹,۹۹	۹۹,۹۹	۱۰۰	۱۰۰	۹۹,۹۹	۱۰۰	۹۹,۹۹
Ag	۰,۴۷	۰,۵	۰,۳	۰,۳	۰,۳	۰,۶	۰,۷	۰,۴	۰,۶	۰,۳	۰,۲	<۰,۱	۰,۴	۰,۷	۰,۷	۰,۴	۰,۳۱	۰,۳۱
As	۵,۷	۴,۳	۱۳,۲	۴,۵	۵,۶	۷	۱۱,۳	۱۵,۳	۱۱,۴	۶,۲	۹,۲	۹,۲	۱۳,۲	۷,۲	۹,۹	۶,۶	۸,۱	۶,۱
Ba	۷۶	۱۲,۲۲	۳۶,۸	۲۷,۰۶	۵۴,۰	۱۱۷,۵	۵۹,۰	۴۷,۶	۶۲,۷	۵۲,۵	۴۵,۲	۵۳,۸	۴۶,۹	۶۰,۳	۸۳,۸	۹۸,۹	۹۸,۷	۸۷,۳
Be	۱,۷	۱,۵	۱,۵	۱,۵	۱,۴	۱,۶	۱,۴	۱,۵	۱,۶	۱,۶	۱,۲	۱	۱,۱	۱,۳	۱,۲	۱,۴	۱,۸	۲,۳
Bi	۰,۵	۰,۸	۰,۷	۰,۶	۰,۶	۰,۵	۰,۷	۱	۱,۱	۰,۸	۰,۵	۰,۴	۰,۵	۰,۶	۲	۱,۳	۰,۶	۰,۷
Cd	۰,۲۶	۰,۱	۰,۱	۰,۱	۰,۲	۰,۲	۰,۲	۰,۱	۰,۶	۰,۲	۰,۸	۰,۱	۰,۶	۰,۳	۰,۱	۰,۱	۰,۲	۰,۲۷
Ce	۲,۶	۲,۵	۲,۹	۲,۴	۲,۸	۲,۶	۲,۸	۲,۷	۲,۶	۲,۶	۲,۶	۲,۶	۲,۵	۲,۶	۲,۳	۴,۰	۶,۴	۶,۳
Co	۲,۶	۳,۱	۲,۶	۲,۶	۲,۴	۲,۱	۲,۵	۲,۹	۲,۸	۳,۰	۲,۶	۲,۵	۲,۷	۲,۷	۵,۸	۲,۵	۱,۰	۱,۴
Cr	۴,۵	۲,۵	۲,۶	۲,۹	۲,۹	۳,۰	۲,۴	۲,۴	۲,۵	۳,۰	۲,۶	۲,۱	۳,۰	۳,۲	۲,۴	۱,۴	۱,۴	۱,۵
Cs	۴,۴	۴,۳	۶,۹	۳,۲	۵,۹	۴,۵	۳,۸	۳,۹	۳,۲	۴,۱	۶,۲	۵,۹	۳,۶	۳,۱	۳,۱	۳,۳	۴,۳	۴,۶
Cu	۶,۷۱	۱۳,۱	۸,۰	۱۱,۲	۱۵,۴	۲۱,۳	۱۲,۸	۱۰,۲	۴,۴	۴,۵	۱۲,۸	۱۳,۶	۱۰,۸	۱۰,۰	۸,۷	۲,۷	۳,۷	۴,۰
Dy	۳,۲۹	۳,۱۶	۳,۲۵	۲,۷۵	۳,۱۳	۲,۹۷	۳,۱۲	۳,۱۳	۲,۹۴	۳,۲۱	۳,۳۴	۳,۰۳	۲,۹۹	۳,۱۲	۲,۷۹	۳,۷	۴,۳۹	۴,۱۷
Er	۱,۷۳	۱,۷۸	۱,۷۳	۱,۴۷	۱,۷۳	۱,۶۹	۱,۷۲	۱,۶۴	۱,۷۳	۱,۷	۱,۸۲	۱,۷۲	۱,۷۳	۱,۷	۱,۵۳	۲,۰۴	۲,۵۷	۲,۳۸
Eu	۰,۹۳	۰,۹۷	۱,۰۵	۱,۱۲	۱,۱۱	۰,۹۷	۰,۹۹	۱,۰۷	۱,۰۹	۱,۰۹	۱	۱,۰۴	۱,۰۲	۱,۱	۱,۱	۱,۲	۱,۲	۱,۰۵
Gd	۲,۹۲	۲,۳۷	۲,۸۲	۲	۲,۵۶	۲,۱۳	۲,۵۳	۲,۴۹	۲,۴۱	۲,۸۵	۲,۶۹	۲,۲۶	۲,۲۸	۲,۴۳	۲,۲۱	۳,۱۳	۴,۲۶	۳,۶۳
Hf	۱,۰۵	۱,۱	۱,۰۱	۰,۸۹	۱,۰۶	۱,۲۵	۱,۲۲	۰,۹۹	۱,۱۳	۰,۸۳	۰,۹۱	۰,۹۳	۰,۹۵	۱,۱	۰,۹۴	۱,۹۱	۱,۹۵	۲,۰۹
La	۱,۴	۱,۳	۱,۵	۱,۲	۱,۴	۱,۳	۱,۳	۱,۴	۱,۳	۱,۴	۱,۳	۱,۲	۱,۲	۱,۳	۱,۲	۲,۰	۳,۱	۳,۱
Li	۴,۰	۵,۵	۴,۰	۴,۰	۳,۲	۳,۷	۲,۹	۲,۹	۳,۱	۴,۱	۳,۳	۲,۶	۲,۲	۲,۵	۳,۹	۲,۲	۵	۱,۶
Lu	۰,۱۸	۰,۱۶	۰,۱۵	۰,۱۲	۰,۱۶	۰,۱۵	۰,۰۷	۰,۱۶	۰,۱۵	۰,۱۵	۰,۱۸	۰,۱۸	۰,۱۶	۰,۱۳	۰,۱۳	۰,۲	۰,۲	۰,۲۶
Mo	۰,۹۱	۰,۹	۰,۴	۰,۱	۰,۱	۰,۱	۰,۴	۰,۷	۰,۱	۰,۱	۰,۱	۰,۱	۰,۱	۰,۱	۱,۲	۳,۴	۲,۳	۱,۲۷
Nb	۴,۷	۴,۲	۴	۳,۸	۳,۹	۴	۴,۵	۳,۵	۴,۴	۳,۷	۳,۹	۳,۹	۴,۱	۴	۴,۵	۸	۱۵,۱	۱۲,۸
Nd	۱,۰۶	۹,۳	۱,۰۵	۸,۸	۱,۰۴	۹,۴	۱,۰۵	۱,۰۴	۹,۷	۱,۰۵	۱,۰۴	۹,۵	۹,۷	۹,۹	۹,۳	۱۵	۲۱,۳	۱۹
Ni	۲,۴	۲,۰	۱,۹	۲,۳	۲,۲	۲,۱	۲,۰	۱,۸	۱,۹	۲,۰	۱,۹	۲,۰	۲,۰	۱,۹	۲,۱	۱,۳	۵	۶
Pb	۲,۳	۳,۱	۲,۶	۴,۵	۸,۵	۷,۲	۴,۳	۲,۷	۹,۱	۸,۹	۱,۰۴	۲,۰	۷,۴	۵,۳	۲,۵	۱,۸	۳,۱	۲,۰
Pr	۲,۲۹	۱,۸۲	۲,۲	۱,۶۳	۲,۰۷	۱,۸۱	۲,۰۴	۲,۰۲	۱,۹۵	۲,۰۹	۱,۹۹	۱,۷۶	۱,۸۲	۲	۱,۸۶	۳,۳۹	۵,۲۵	۴,۶۹
Rb	۹,۲	۸,۱	۴,۳	۸,۰	۵,۲	۷,۹	۶,۴	۵,۵	۶,۵	۶,۸	۵,۴	۴,۹	۷	۶,۸	۱,۰۶	۱۱,۷	۱۲,۸	۱۲,۲
Sb	۲,۷	۴	۱,۵۵	۶,۴	۴,۶	۴,۱	۱۳,۳	۳,۱۴	۱۵,۱	۷,۲	۱,۲	۱,۸	۸,۷	۷,۱	۴,۳	۶,۲	۶,۹	۴,۳
Sc	۲,۴۳	۲,۶۲	۲,۶۲	۲,۷۷	۲,۶۹	۲,۶۶	۲,۵۸	۲,۶۴	۲,۵۸	۲,۶۴	۲,۵۷	۲,۵۵	۲,۶۶	۲,۵۷	۲,۵۴	۲,۰۱	۱,۳۶	۱,۲۲
Sm	۲,۹۳	۲,۸۸	۲,۹۸	۲,۸۶	۲,۹۸	۲,۸	۲,۹۵	۲,۸۳	۲,۸	۲,۰۸	۲,۹۵	۲,۷۸	۲,۶۹	۲,۸۴	۲,۶۹	۳,۹۶	۴,۸۴	۴,۴
Sn	۱	۰,۹	۱,۳	۱,۱	۱,۵	۰,۹	۰,۹	۱	۰,۸	۰,۸	۰,۹	۱	۱	۰,۹	۱	۱,۳	۱,۳	۱,۴
Sr	۱۹,۱	۱۶,۷۵	۴۱,۷۱	۲۵,۷۷	۳۵,۶۹	۲۸,۵۷	۴۲,۹۴	۴۷,۴۶	۳۶,۱۲	۳۲,۴۸	۳۰,۲۳	۴۴,۴	۵۳,۷۷	۴۰,۶۶	۱۴۹,۴	۲۷۲,۳	۲۱۸,۸	۱,۷۵
Ta	۰,۴۶	۰,۳۷	۰,۳۵	۰,۳۲	۰,۳۶	۰,۳۶	۰,۳۸	۰,۳۳	۰,۳۶	۰,۳۸	۰,۳۵	۰,۳۴	۰,۳۶	۰,۳۱	۰,۳۹	۰,۵۸	۰,۹	۰,۶۴
Tb	۰,۵۶	۰,۵۱	۰,۵۵	۰,۴۵	۰,۵۱	۰,۴۷	۰,۵۳	۰,۵	۰,۴۹	۰,۵۳	۰,۵۵	۰,۴۹	۰,۴۸	۰,۴۹	۰,۴۷	۰,۵۹	۰,۷۲	۰,۶۶
Te	۰,۱	۰,۱	۰,۱	۰,۱	۰,۱	۰,۱	۰,۱	۰,۱	۰,۱	۰,۱	۰,۱	۰,۱	۰,۱	۰,۱	۰,۱	۰,۱	۰,۱	۰,۱
Th	۱,۶۳	۱,۴۷	۱,۰۸	۰,۹۱	۱,۰۱	۱,۴۹	۱,۶۹	۱,۲۴	۱,۳۹	۰,۹۴	۰,۸۷	۱,۰۶	۱,۱۲	۱,۳۱	۰,۸۴	۳,۴۸	۶,۵۵	۶,۱۵
Ti	۴۹,۵۰	۵۰,۵۵	۵۳,۴۲	۵۲,۸۵	۵۲,۴۷	۵۲,۶۳	۵۱,۷۷	۵۲,۰۵	۵۰,۹۳	۵۱,۵۰	۴۹,۶۵	۵۰,۴۹	۵۰,۵۵	۵۱,۲۳	۴۹,۹۵	۴۸,۳۳	۴۸,۳۴	۴۸,۵
Tl	۰,۵۷	۰,۴۵	۰,۲	۰,۴۶	۰,۳۱	۰,۴۸	۰,۳۹	۰,۳۶	۰,۳۹	۰,۳۷	۰,۳۷	۰,۳۸	۰,۳۹	۰,۳۹	۰,۳۹	۰,۶۱	۰,۵۷	۰,۵۷
Tm	۰,۲۷	۰,۳۱	۰,۳۱	۰,۲۷	۰,۳۱	۰,۲۹	۰,۳۱	۰,۳۱	۰,۳۰	۰,۳۰	۰,۳۳	۰,۲	۰,۳۱	۰,۳۱	۰,۲۸	۰,۳۵	۰,۴۲	۰,۴
U	۰,۷	۰,۷	۰,۷	۰,۵۸	۰,۷	۰,۷	۰,۸	۰,۷	۰,۷	۰,۶	۰,۶	۰,۵۸	۰,۶	۰,۷	۰,۶	۱,۲	۲	۱,۹
V	۲,۱۶	۲,۰۴	۲,۰۶	۲,۱۷	۲,۱۳	۲,۰۹	۲,۰۶	۲,۱۰	۲,۰۳	۲,۰۷	۲,۰۱	۲,۰۰	۲,۰۱	۱,۹۸	۱,۸۴	۱,۴۵	۸,۹	۹,۲
W	۸,۶	۵,۵	۶,۴	۹,۴	۴,۹	۵	۱,۸	۱,۸	۲	۵,۱	۱,۱	۰,۹	۰,۹	۳,۱	۹,۱	۳	۲,۶	۳,۶
Y	۱,۸	۱,۷۲																

ادامه جدول ۲

نمونه	BH1-286-290	BH1-290-294	BH1-294-298	BH1-298-304	BH1-5-400-410	BH1-400-410	BH1-5-410-420	BH1-410-420	BH1-5-420-430	BH1-420-430	BH1-5-430-440	BH1-430-440	BH1-5-440-450	BH1-440-450	BH1-5-5450-460	BH1-450-460	BH1-5-460-470	BH1-460-470
SiO ₂	۶۱.۸۱	۶۰.۸۹	۶۲.۸۴	۶۱.۶۶	۵۸.۰۲	۵۹.۰۲	۵۸.۵۱	۵۹.۵۱	۵۲.۹۶	۵۴.۹۶	۵۴.۳	۵۶.۳	۵۴.۹۷	۵۶.۹۷	۶۱.۳۳	۶۱.۳۳	۶۱.۶۶	۶۱.۶۶
Al ₂ O ₃	۱۵.۲۱	۱۴.۸۴	۱۴.۴۲	۱۴.۴۹	۱۴.۲۶	۱۴.۹۶	۱۴.۵۸	۱۵.۵۲	۱۴.۲۱	۱۳.۵۷	۱۵.۲	۱۴.۶۶	۱۵.۱	۱۳.۸۶	۱۴.۲۲	۱۴.۲۲	۱۴.۵۱	۱۳.۴۲
BaO	۰.۱۱	۰.۱۱	۰.۱۳	۰.۰۹	۰.۰۵	۰.۰۳	۰.۰۵	۰.۰۴	۰.۰۵	۰.۰۲	۰.۰۵	۰.۰۲	۰.۰۵	۰.۰۳	۰.۰۵	۰.۰۶	۰.۰۸	۰.۰۷
CaO	۲.۹۳	۳.۶	۲.۷۸	۳.۷۷	۳.۷۸	۴.۴۱	۴.۱۱	۴.۲۷	۵.۷۸	۵.۴۶	۴.۸۶	۴.۶۵	۴.۵۴	۵.۱۵	۳.۲۵	۳.۵۵	۳.۲۱	۴.۳۲
Fe ₂ O ₃	۵.۳	۵.۲۴	۴.۶۹	۵.۲۶	۵.۱۱	۴.۸۵	۴.۶۹	۵.۶۱	۴.۲۴	۴.۲۴	۴.۴	۴.۱	۴.۱۶	۴.۱۷	۵.۱	۴.۸۵	۵.۶۴	۵.۲
K ₂ O	۵.۱۱	۴.۵۵	۴.۶۲	۴.۴	۱.۱۵	۲.۱۱	۱.۷۶	۱.۸	۱.۷۱	۲.۴۹	۱.۴۹	۲.۶۲	۲.۱۴	۳.۰۸	۲.۲	۲.۴۸	۳.۷۴	۴.۲۷
MgO	۱.۳۵	۱.۶۵	۱.۴۱	۱.۷۹	۲.۵۹	۲.۲	۱.۸	۲.۱	۱.۷۷	۱.۶۷	۱.۵۴	۱.۳۸	۱.۳۱	۰.۹۹	۲.۰۶	۱.۹۴	۱.۸۳	۱.۷
MnO	۰.۱۵	۰.۱۷	۰.۱۵	۰.۱۴	۰.۰۷	۰.۰۴	۰.۰۷	۰.۰۷	۰.۰۵	۰.۰۷	۰.۰۵	۰.۰۵	۰.۰۵	۰.۰۵	۰.۰۹	۰.۰۵	۰.۱۳	۰.۰۹
Na ₂ O	۲.۷۳	۲.۰۱	۲.۴۵	۲.۹۳	۴.۷۲	۳.۴	۴.۲	۳.۴۷	۴.۶	۴.۶۷	۵.۳۳	۵.۸۸	۴.۱۶	۴.۵۶	۳.۹۲	۴.۱	۳.۲۱	۳.۱۷
P ₂ O ₅	۰.۲۲	۰.۲۱	۰.۲۲	۰.۲۲	۰.۲۲	۰.۲۸	۰.۲۲	۰.۲۸	۰.۲۳	۰.۲۶	۰.۲۵	۰.۲۹	۰.۲۵	۰.۲۹	۰.۲۳	۰.۲۶	۰.۲۵	۰.۲۶
SO ₃	۱.۵	۱.۹	۲.۴	۱.۷۷	۸.۱۶	۶.۱۶	۷.۹۴	۵.۹۴	۱.۰۶۸	۹.۶۸	۹.۷	۷.۷	۱۰.۴۷	۷.۶۶	۵.۲۷	۵.۲۷	۱.۲۱	۱.۲۲
TiO ₂	۰.۸۳	۰.۸۱	۰.۸	۰.۸	۰.۸۲	۰.۸۷	۰.۸۱	۰.۸۳	۰.۷۶	۰.۷۸	۰.۸۸	۰.۸۳	۰.۸۹	۰.۸۵	۰.۷۹	۰.۸	۰.۸۲	۰.۸
L.O.I	۲.۷۵	۲.۹۲	۲.۰۹	۲.۶۸	۰.۹۵	۱.۶۶	۱.۲۵	۰.۵۶	۱.۹۵	۲.۱۲	۱.۹۵	۱.۵	۱.۹۱	۲.۵۴	۱.۴۷	۱.۰۷	۳.۷	۳.۸۲
مجموع %	۱۰۰	۱۰۰	۱۰۰	۱۰۰	۱۰۰	۹۹.۹۹	۹۹.۹۹	۱۰۰	۹۹.۹۹	۱۰۰	۱۰۰	۹۹.۹۹	۱۰۰	۹۹.۹۹	۹۹.۹۸	۹۹.۹۸	۹۹.۹۹	۱۰۰
Ag	۰.۵	۰.۴	۰.۵	۰.۲	۰.۴	۰.۱	۰.۵	۰.۱	۰.۲	۰.۱	۰.۲	۰.۱	۰.۵	۰.۱	۰.۱	۰.۲۷	۰.۵	
As	۶.۵	۴.۴	۴.۳	۶.۱	۳	۶.۲	۱.۵	۱۰.۴	۳.۹	۷.۸	۳.۴	۶.۳	۴.۳	۱۱.۹	۱۱	۱۱.۱	۶	۱۲.۲
Ba	۹۵.۹	۸۹.۳	۸۱.۶	۷۵.۱	۱۵.۳	۲۸.۷	۲۵.۶	۳۶.۶	۱۹.۰	۱۹.۲	۱۶.۷	۱۹.۹	۱۴.۴	۲۵.۵	۳۶.۹	۵۱.۸	۶۱.۹	۵۹.۵
Be	۱.۹	۱.۹	۱.۹	۱.۹	۲.۳	۳.۹	۲.۲	۲.۷	۳.۵	۲.۸	۲.۱	۲.۴	۲.۲	۲.۷	۲	۱.۹	۲.۵	۱.۷
Bi	۰.۶	۰.۷	۰.۷	۰.۵	۰.۹	۰.۱	۰.۸	۱.۱	۰.۸	۰.۴	۱.۱	۰.۷	۰.۸	۰.۵	۰.۸	۰.۱	۰.۵	۰.۱
Cd	۰.۱	۰.۱	۰.۱	۰.۱	۰.۱	۰.۱	۰.۱	۰.۱	۰.۲۴	۰.۱	۰.۱	۰.۱	۰.۱	۰.۱	۰.۱	۰.۱	۰.۲۶	۰.۱
Ce	۶.۶	۶.۲	۶.۰	۶.۵	۷.۵	۷.۱	۶.۷	۷.۶	۶.۰	۶.۸	۶.۳	۶.۰	۶.۹	۶.۰	۶.۱	۵.۹	۶.۴	۵.۹
Co	۱۲.۷	۱۲.۳	۱۱.۴	۱۰.۱	۱۴.۵	۱۲.۹	۱۳.۵	۲۰.۱	۱.۴	۱۵.۴	۱۶.۳	۱۵.۲	۱۴.۹	۱۷.۱	۱۱.۳	۱۰.۴	۹	۱۰.۷
Cr	۱۵	۱۴	۲۰	۱۷	۱۲	۱۸	۱۱	۱۳	۱۲	۹	۱۳	۱۱	۱۳	۱۲	۱۳	۱۰	۱۷	۱۹
Cs	۴.۲	۴.۱	۵.۴	۳.۸	۲.۷	۴.۳	۳.۶	۹	۲.۸	۴.۱	۲.۶	۴	۴.۳	۷.۳	۳.۴	۵.۲	۳.۸	۶.۷
Cu	۵.۷	۲.۹	۵.۱	۴.۱	۲.۸	۱.۸	۳.۳	۱.۹۷	۲.۸	۴.۵	۹.۰	۱۱.۴	۴.۹	۳.۶	۵.۰	۱۱.۲	۴.۹	۱۱.۱
Dy	۴.۴۳	۴.۰۱	۴.۱۸	۴.۲۸	۴.۳۱	۴.۰۸	۷.۱۹	۳.۹۶	۶.۰۶	۴.۳۱	۵.۸۳	۳.۹۶	۵.۸۶	۴.۱۹	۵.۸۹	۴.۱	۶.۲۶	
Er	۲.۴۳	۲.۲۸	۲.۲۹	۲.۴۵	۲.۲۱	۲.۷۱	۲.۰۹	۴.۱۴	۱.۸۷	۲.۹۹	۴.۰۸	۲.۷۷	۱.۹۹	۲.۹	۲.۱۶	۳.۱	۲.۱۸	۳.۳۵
Eu	۱.۱۶	۱.۰۷	۱.۰۸	۱.۱۷	۱.۰۲	۱.۷۹	۱.۰۱	۱.۹۲	۱.۰۴	۱.۸۳	۱.۱۳	۱.۵۶	۱.۰۳	۱.۶۹	۱.۰۴	۱.۵۶	۱.۰۹	۱.۷۲
Gd	۴.۰۴	۳.۷۵	۳.۸۳	۴.۰۴	۴.۴۴	۶.۱۹	۴.۰۵	۷.۲۹	۴.۱۴	۶.۵۳	۵.۰۲	۶.۴۴	۴.۲۱	۶.۲۷	۳.۹۷	۶	۳.۷۷	۶.۳
Hf	۲.۴۸	۲.۳۱	۲.۷۴	۲.۹۲	۲.۲۸	۲.۷۵	۱.۶۲	۵.۳۷	۰.۶۹	۲.۶۳	۰.۷۲	۲.۴۴	۱.۵۱	۳.۰۳	۱.۹	۴.۰۱	۲.۲	۴.۰۸
La	۳.۱	۲.۹	۲.۸	۳.۱	۳.۴	۳.۶	۳.۱	۳.۹	۳.۳	۳.۶	۳.۱	۳.۰	۳.۱	۲.۹	۲.۹	۳.۰	۳.۰	
Li	۲.۰	۲.۰	۲.۳	۲.۰	۲.۵	۲.۹	۲.۰	۳.۴	۱.۶	۲.۰	۱.۴	۱.۶	۱.۳	۱.۲	۱.۷	۲.۲	۱.۵	۲.۱
Lu	۰.۲۶	۰.۲۲	۰.۲۶	۰.۲۴	۰.۲۲	۰.۲۲	۰.۱۹	۰.۵۷	۰.۱۵	۰.۳۴	۰.۱۷	۰.۳۲	۰.۱۶	۰.۳۲	۰.۱۸	۰.۳۷	۰.۲۱	۰.۴
Mo	۱.۵	۱.۷	۱.۹	۱.۴	۰.۷	۱.۹	۰.۹	۲.۳	۱.۱۴	۱.۸	۲.۱	۲.۷	۵.۸	۵.۶	۱.۶	۲.۱	۱.۳۳	۳.۲
Nb	۱۵.۱	۱۲.۴	۱۱.۸	۱۳.۸	۱۰.۴	۱۸.۹	۱۲.۷	۲۰	۱۶.۱	۱۸.۳	۱۹.۴	۲۱.۲	۱۶.۵	۲۳.۸	۱۷.۱	۱۹.۷	۱۴.۷	۲۰.۳
Nd	۲.۱	۱.۹۳	۲.۱۸	۲.۰۸	۲.۵۶	۳.۷۲	۲.۲۴	۴.۲۳	۲.۲۸	۳.۹۶	۲.۶۴	۳.۷۶	۲.۳۳	۳.۸	۲.۰۹	۳.۴۳	۱.۹۸	۳.۶۳
Ni	۵	۵	۵	۴	۴	۴	۵	۳	۵	۴	۴	۴	۴	۴	۴	۳	۴	۴
Pb	۱.۰	۱.۲	۱.۲	۱.۰	۰.۷	۰.۹	۰.۵	۰.۷	۰.۶	۰.۲	۱.۶	۱.۴	۱.۲	۰.۹	۰.۷	۰.۳	۱.۱	۱.۷
Pr	۵.۰۷	۴.۷۲	۵.۳۴	۵.۱۱	۶.۳۷	۸.۷	۵.۶۹	۱۰.۱۵	۵.۵۶	۹.۴۴	۶.۴۷	۸.۵۵	۵.۹۱	۹.۰۲	۵.۲۹	۸	۴.۸۸	۸.۴۴
Rb	۱۱.۲	۱۰.۱	۱۱.۳	۹.۸	۴.۸	۷.۷	۷.۰	۱۰.۰	۶.۴	۹.۵	۶.۵	۱۰.۲	۸.۵	۴.۲	۷.۰	۱۲.۱	۹.۶	۱۵.۹
Sb	۲.۵	۲.۶	۲.۵	۲.۱	۱.۱	۱.۲	۱	۱.۷	۱	۱.۳	۰.۹	۱.۲	۱	۱.۷	۱.۱	۱.۷	۱.۲	۲.۲
Sc	۱۳.۵	۱۴.۱	۱۳.۲	۱۳.۲	۱۳.۳	۱۰.۳	۱۲.۸	۱۲.۶	۹.۹	۱۱.۴	۱۲.۷	۱۲	۱۴.۲	۱۰.۵	۱۲.۱	۱۱.۸	۱۰.۳	۱۲.۴
Sm	۴.۵۹	۴.۳۳	۴.۳۳	۴.۶۲	۵.۰۹	۷.۴۷	۴.۸۱	۸.۵۷	۴.۸۶	۷.۸۸	۵.۶۹	۷.۷۴	۴.۹۲	۷.۵۸	۴.۵۶	۷.۰۹	۴.۲۵	۷.۲۷
Sn	۱.۴	۱.۴	۱.۴	۱.۴	۱.۷	۳.۱	۳.۱	۳.۴	۲.۱	۳.۵	۱.۸	۳.۵	۲.۲	۳.۷	۱.۹	۳.۱	۱.۸	۲.۸
Sr	۲۱۱.۷	۲۲۷.۷	۲۱۳.۹	۲۶۱.۳	۳۲.۹	۳۹۹.۱	۲۶۵.۵	۲۷۸.۴	۳۲.۸	۳۴۱.۱	۳۳۲.۴	۲۶۰	۲۲۴.۱	۲۴.۸	۲۰۳.۹	۲۱۰.۱	۱۸۱	۲۱۵.۶
Ta	۰.۹۲	۰.۸	۰.۷۹	۰.۹۳	۰.۶۵	۱.۱۶	۰.۷۲	۱.۳	۰.۶۶	۱.۱۳	۱.۱۷	۱.۳۱	۰.۹۶	۱.۴۱	۰.۹۷	۱.۰۹	۰.۷۵	۱.۰۷
Tb	۰.۶۹	۰.۶۴	۰.۶۶	۰.۶۸	۰.۷۱	۰.۸۸	۰.۶۹	۱.۰۸	۰.۶۶	۰.۹۵	۰.۷۵	۰.۹۴	۰.۶۷	۰.۹۲	۰.۶۵	۰.۸۹	۰.۶۳	۰.۹۶
Te	۰.۱	۰.۱	۰.۱۴	۰.۱	۰.۱	۰.۱۴	۰.۱۶	۰.۵۷	۰.۲۱	۰.۵۴	۰.۱۴	۰.۶۱	۰.۱	۰.۵۴	۰.۱۷	۰.۴۹	۰.۱	۰.۴۵
Th	۶.۹۶	۶.۰۴	۶.۷۹	۷.۱۱	۶.۳۳	۹.۳۶	۶.۱۷	۱۱.۳۱	۶.۱۴	۱۰.۵۳	۸.۰۹	۱۱	۷.۵۸	۱۰.۵۶	۶	۹.۹۱	۵.۱۶	۱۰.۲۷
Ti	۴۹۴.۹	۴۸۵.۵	۴۶۶.۶	۴۸۴.۸	۴۶۵.۷	۵۲۳.۳	۴۵۹.۶	۴۹۷.۷	۴۵۱.۶	۴۰.۲	۴۵۴.۶	۵۰۶.۵	۴۶۷.۴	۵۹۶.۷	۴۶۱.۸	۴۸۱.۲	۴۶۸.۰	۴۷۸.۸
Tl	۰.۹	۰.۶۸	۰.۴۹	۰.۴۲	۰.۲	۰.۴۳	۰.۲۷	۰.۵	۰.۲۴	۰.۴۸	۰.۲۵	۰.۴۸	۰.۲۹	۰.۵۷	۰.۲۶	۰.۵۲	۰.۳۶	۰.۶۳
Tm	۰.۴	۰.۲۸	۰.۴	۰.۴۱	۰.۳۷	۰.۴۵	۰.۳۵	۰.۶۷	۰.۳۳	۰.۴۸	۰.۳۳	۰.۴۶	۰.۳۱	۰.۴۷	۰.۳۶	۰.۵۲	۰.۳۶	۰.۵۴
U	۲.۰۸	۱.۸	۲	۲.۱	۱.۵	۱.۸	۱.۴	۳	۱.۱۱	۲.۱۲	۱.۳	۲.۱	۱.۶	۲.۳	۱.۵	۲.۵	۱.۵	۲.۵
V	۸.۸	۹.۷	۸.۵	۸.۵	۸.۷	۹.۸	۸.۴	۹.۷	۸.۸	۹.۶	۹.۱	۹.۶	۹.۰	۹.۵	۸.۳	۹.۲	۸.۷	۹.۱
W	۸.۷	۴.۹	۷.۱	۲.۱	۱.۴	۱.۹	۲	۵	۱.۳	۲.۸	۳.۵	۴	۴	۵.۴	۲.۱	۲.۹	۱.۹	۳
Y	۲۵.۳	۲۴.۲	۲۳.۳	۲۵.۱														

جدول ۳ نتایج تجزیه عنصرهای اصلی، فرعی و کمیاب توده‌های نفوذی و واحدهای آتشفشانی گستره معدنی تازه‌کند به روش ICP-OES (برحسب ppm) برای ۱۳ نمونه اول نمونه سطحی (نمونه‌های اول) و ۵۰ نمونه زیرسطحی همراه با عمق مشخص شده (توسط آزمایشگاه گزارش نشده است).

نمونه	S-TZK-1	S-TZK-2	S-TZK-08	S-TZK-49	S-TZK-129	S-TZK-152	S-TZK-153	S-TZK-154	S-TZK-169	S-TZK-05	S-TZK-06	S-TZK-01	S-TZK-02	BH1-0	BH1-0-010	BH1-010-020	BH1-020-030	BH1-030-040	BH1-040-050	BH1-050-060	BH1-060-070
Ag	۱۲	۰.۷۳	۰.۲۷	۰.۸۲	۰.۵۳	۰.۴۵	۰.۵۸	۰.۳۴	۰.۴۹	۰.۳۳	۲۴.۶	۲.۶	۰.۴۱	۰.۶۹	۰.۷۷	۰.۶۳	۰.۶۴	۰.۷۵	۰.۷۸	۰.۳۴	۰.۴۲
Al	۵۶۴۰.۴	>۱۰	۹۶۰.۲	۹۵۴۹.۰	۷۶۷۴.۸	۷۹۶۱.۶	۷۲۷۵.۳	۸۰۸۲.۸	۶۶۴۸.۰	۵۸۷۰.۷	۲۲۹۰.۳	۳۹۲۴.۰	۷۹۸۷.۳	۸۲۳۰.۷	۷۶۳۳.۴	۸۵۷۹.۳	۸۰۶۴.۹	۸۲۵۷.۴	۷۸۲۶.۶	۸۵۸۳.۷	۸۲۹۵.۷
As	۶.۴	۱۶.۳	۴۰.۱	۷۵.۸	۲۱.۱	۱۹.۹	۱۵.۷	۱۷.۲	۱۳.۳	۷.۹	۵.۲	۳۴.۲	۵.۶	۱۰.۸	۱.۴	۱.۵	۱۲.۹	۱.۲	۹.۸	۱۰.۲	۱.۹
Ca	۸۳۱.۹	۲۰۸۵.۵	۲۲۸.۶	۱۱۴۸.۳	۹۰۴۸.۱	۷۳۷.۹	۶۸۷.۹	۹۸۲.۶	۷۱۵.۳	۳۱۰۹.۱	۷۷.۹	۲۰۶.۹	۱۵۷۰.۱	۸۸۲.۹	۶۳۰.۰	۱۳۵۰.۰	۲۷۱۳.۷	۱۷۸۷.۱	۲۲۷۳.۹	۱۵۷۳.۸	۱۱۰۰۰
Cd	۰.۲۸	۰.۳	۰.۳	۰.۲	۰.۲۸	۰.۳	۰.۲۶	۰.۲۸	۰.۲۸	۰.۲۶	۹.۵	۰.۲۶	۰.۲۶	۰.۲۲	۰.۲۴	۰.۲۴	۰.۲۹	۰.۲	۰.۲۹	۰.۲	۰.۲۴
Ce	۲.۶	۳.۷	۱.۱	۱.۲۷	۵.۵	۸.۱	۶.۱	۵.۷	۴.۷	۲.۹	۲	۱.۴	۴.۱	۴.۴	۴.۰	۵.۱	۵.۵	۵.۷	۵.۱	۴.۵	۴.۲
Co	۱.۸	۵.۲	۶	۴.۵	۲.۸	۳.۳	۳.۴	۲.۷	۲.۴	۶.۹	۷.۰	۶.۰	۲.۱	۲.۰	۴.۵	۱.۸	۱.۷	۲.۰	۱.۸	۲.۱	۶.۳
Cr	۲.۲	۴.۱	۷	۹.۷	۸.۵	۹.۱	۶.۵	۷.۲	۵.۴	۳.۴	۲.۲	۲.۷	۴.۴	۴.۷	۳.۲	۳.۵	۳.۸	۴.۹	۴.۴	۶.۰	۵.۷
Cu	۸۳۹.۲	۲۱۵.۵	۴.۱	۱۱۷.۷	۱۴۶.۱	۷۸.۶	۱۲۵.۷	۵۶.۶	۶۶.۴	۱۵.۸	۲۲۵۶.۲۸	۸۲.۵۶	۶.۸۵	۷.۹۹	۱۲.۷۵	۳.۰۶	۱۲.۳	۹.۵	۶.۸	۱.۲	۱.۸
Fe	۴۳۰۴.۸	۶۵۰۸.۸	>۱۰	۸۸۵۱.۵	۶۳۳۱.۹	۷۳۹۳.۳	۶۷۸۶.۳	۵۶۳۳.۳	۵۹۹۲.۸	۷۷۸۳.۷	>۱۰	۵۱۹۵.۳	۸۶۵۰.۸	۵۳۴۱.۸	۹۰۵۲.۳	۷۳۳۱.۱	۶۹۵۲.۶	۶۵۹۲.۰	۶۴۸۶.۹	۷۹۴۳.۲	۸۳۵۲.۲
k	x	x	x	۱۴۶۵.۳	۱۸۶۲.۸	۱۸۶۳.۶	۱۷۱۳.۱	۱۴۴۲.۹	۱۵۸۱.۸	۲۲۲۱.۶	۳۴۶.۶	۶۱۷.۰	۱۷۷۳.۶	۱۲۷۰.۱	۱۲۲۶.۱	۱۳۶۲.۱	۱۵۴۲.۴	۲۶۰۲.۸	۳۳۹۹.۴	۳۳۹۹.۴	۲۱۰۰
La	۲.۲	۳.۱	۸	۵.۲	۳.۰	۴.۴	۳.۳	۳.۰	۲.۴	۱.۲	۳	۸	۲.۵	۲.۲	۳.۰	۳.۱	۳.۲	۳.۳	۲.۹	۱.۹	۲.۸
Li	۳.۶	۹.۸	۵	۶.۲	۵.۰	۴.۶	۴.۱	۴.۱	۳.۳	۲.۵	۳.۰	۴.۲	۳.۴	۳.۹	۳.۰	۳.۲	۳.۳	۳.۳	۳.۲	۴.۸	۴.۸
Mg	۱۶۶۹.۳	۲۰۰۰۰	۲۵۱.۲	۱۷۳۴.۷	۱۶۰۴.۲	۱۵۳۳.۷	۱۴۴۰.۰	۱۶۹۱.۳	۱۴۳۳.۴	۶۷۹.۲	۷۰۲.۸	۱۱۱۰.۹	۱۷۹۰.۰	۱۴۷۵.۹	۱۵۰۹.۴	۱۴۶۹.۹	۱۴۹۹.۲	۱۶۳۹.۷	۱۶۷۸.۰	>۱۲	۱۹۵۰.۰
Mn	۲۴۶.۴	۵۷۲.۷	۱۴.۵	۸۳.۵۵	۲۳۲.۹	۳۵.۷	۲۴.۶	۱۸.۵۶	۲۴.۳	۲۰.۶	۱۴.۶	۱۵.۹۴	۳۱.۰۴	۳۱.۷	۲۷.۲۱	۲۷.۹	۲۹.۹	۲۵.۲۱	۲۸.۲۳	۲۹.۴۴	۳۳.۹
Mo	۱.۲۲	۰.۵	۱.۴۸	۲.۹۱	۱.۲۷	۲.۰۱	۱.۲۳	۱.۱۶	۰.۹۹	۰.۷۴	۴.۴۳	۸.۰۵	۱.۰۹	۱.۶	۱.۴۷	۱.۲۵	۱.۲۸	۱.۲۳	۱.۳۸	۱.۰۴	۲.۴
Na	x	x	x	۳۹۹.۸	۲۱۷۳.۰	۱۴۰۲.۵	۲۲۴۷.۱	۱۴۴۱.۷	۱۹۶۵.۰	۵۷.۸	۱۵۶.۴	۱۶۸۱.۳	۳۲۵۹.۷	۲۳۳۳.۱	۲۷۱۰.۶	۳۶۵۹.۴	۳۱۳۷.۰	۳۳۹۶.۴	۳۳۸۵.۸	۱۹۰.۲	۲۱۰.۶
Ni	۵	۱.۶	۱.۰	۴.۱	۳.۹	۴.۵	۲.۹	۳.۳	۲.۷	۸	۶	۱.۵	۲.۰	۲.۲	۱.۴	۱.۲	۱.۴	۱.۴	۱.۷	۲.۰	۱.۸
P	۱۲۷.۲	۱۴۲.۹	۲۱۲.۶	۱۴۵.۲	۱۴۶.۷	۸۷.۳	۱۵۳.۸	۱۱۴.۳	۱۴۷.۲	۱۲.۰۴	۳۹.۲	۵۹.۸	۱۰.۴۵	۱۱۹.۹	۱۷۲.۱	۲۰.۲۴	۱۶۵.۰	۱۴۴.۲	۱۰۷.۳	۱۲۰.۰	۱۱۳.۵
Pb	۴.۲	۲.۱	۴.۶	۴.۷	۲.۴	۳.۱	۲.۰	۲.۰	۲.۶	۱.۳	۳۶.۵	۳.۷	۲.۰	۹	۲.۲	۱.۷	۱.۶	۱.۶	۱.۶	۱.۸	۱.۹
S	۳۳۸.۷	۲۳.۳	۱۲۴.۶	۳۱.۹	۳۲.۶	۲۸.۲	۲.۹	۳.۹	۳.۵۱	۹۵.۴	>۱۲	۶۲.۳	۱۱.۷۵	۱۲.۷	۱۳.۰	۱۱.۷	۱۱.۹	۹.۸	۳.۷	<۵	۴.۵۶
Sb	۰.۹۸	۱.۰۳	۱.۴۶	۱.۱	۱.۳۱	۱.۲۹	۱.۰۹	۱.۲۴	۱.۱۷	۱.۰۶	۱۰.۶	۹.۸	۱.۰۹	۱.۲۳	۱.۱۶	۱.۲۴	۱.۱۹	۱.۲۳	۱.۲۲	۱.۶۷	۱.۵۲
Ti	x	x	x	۳۸۸.۹	۵۵۷.۷	۵۵۲.۰	۵۶۱.۹	۵۴۹.۴	۵۱۸.۴	۳۹۳.۸	۱۴۲.۰	۱۹۹.۷	۴۴۵.۱	۵۱.۰۲	۵۰.۲۸	۵۵۶.۸	۵۰.۴۶	۵۱۵.۱	۴۶۸.۰	۵۶۶.۹	۵۴۶.۹
U	<۵	<۵	<۵	<۵	<۵	<۵	<۵	<۵	<۵	<۵	۷.۹	<۵	۶	<۵	۵.۹	۵.۴	۶.۶	۵.۶	۵.۳	<۵	<۵
V	۳.۸	۱۲.۳	۸.۰	۱۷.۸	۱۷.۶	۱۷.۱	۱۶.۸	۱۷.۲	۱۶.۵	۱۰.۸	۱۵.۲	۸.۲	۱۹.۴	۱۶.۲	۱۴.۶	۱۴.۲	۱۲.۹	۱۴.۳	۱۵.۲	۲۰.۲	۱۷.۱
Yb	۰.۸	۱.۱	۱	۲.۷	۲.۲	۲.۵	۲.۲	۲.۲	۱.۹	۲	۲.۳	۱.۱	۲.۴	۲.۴	۲.۵	۲.۶	۲.۷	۲.۸	۲.۵	۲.۳	۲.۲
Zn	۱۳۰	۲۷۰	۵۴	۱۶۸	۱۳۸	۱۴۲	۱۲۳	۱۱۹	۱۲۱	۳۷	۲۷۹.۸	۱۰.۷	۱۲.۶	۱۲.۶	۱۳.۶	۱۱.۶	۱۱.۰	۱۰.۸	۱۱.۷	۱۶.۸	۱۳.۸
Zr	x	x	x	۶.۶	۸.۲	۷.۵	۷.۷	۸.۲	۶.۵	۶.۴	۱.۶	۳.۹	۳.۹	۸.۲	۱۱.۰	۷.۵	۱۱.۴	۱۳.۱	۱۱.۲	۴.۱	۶.۷

نمونه	BH1-065-067.5	BH1-070-080	BH1-075-080	BH1-080.4-080.80	BH1-080-090	BH1-086-089.9	BH1-090-100	BH1-098.2-099	BH1-100-101.5	BH1-100-110	BH1-110-120	BH1-115.4-117.8	BH1-120-130	BH1-125.6-126.10	BH1-130-140	BH1-132.3-133.5	BH1-140-150	BH1-150-160	BH1-153.7-157.35	BH1-157.8-160.2	BH1-160-170
Ag	۰.۳۶	۰.۴۹	۰.۹۶	۰.۵۷	۱.۵	۱.۹	۰.۵	۰.۲۵	۰.۴	۰.۳۸	۴.۷	۲۰.۱	۱.۳	۲.۵	۰.۴۲	۱.۴	۰.۹	۱.۱۹	۰.۸۴	۱.۱	۱.۲
Al	۱۱۲۹۹.۷	۸۲۸۴.۷	۱۰۴۱۶.۶	۱۰۲۷۱.۸	۷۵۱۸.۷	۹۶۰۹.۸	۷۹۰۵.۲	۹۰۹۱.۳	۱۴۲۵۶.۶	۸۳۹۵.۰	۸۰۰۷.۹	۷۸۲۷.۷	۸۲۹۸.۴	۷۶۲۴.۶	۸۲۲۰.۸	۶۳۸۴.۴	۷۹۷۸.۷	۶۶۰۹.۲	۵۷۶۹.۸	۷۵۰۴.۶	۳۳۹۶.۰
As	۳.۶	۱۰.۵	۷.۷	۲.۶	۱۳.۲	۲.۶	۶.۵	۲.۳	۲.۴	۶.۸	۲.۷	۲.۶	۲.۳	۶.۷	۲.۶	۲.۳	۲.۶	۲.۳	۲.۴	۲.۴	۳.۹
Ca	۱۱۲۱۵	۱۰۴۵۰	۱۰۰۸۷	۱۱۰۱۶	۱۵۸۰۶	۹۵۶۶	۱۹۷۳۱	۳۴۷۳۶	۱۲۲۰۴	۱۵۳۰۰	۱۸۰۸۹	۱۵۶۹۹	۱۹۳۳۸	۲۳۱۴۱	۲۵۸۸۹	۱۷۲۴۵	۱۲۷۳۲	۹۳۴	۱۴۷۱۸	۱۷۱۳۳	۱۴۲۰۸
Cd	۰.۲۵	۰.۲۲	۰.۲۹	۰.۳	۰.۲۴	۰.۲۲	۰.۲۶	۰.۲۹	۰.۲۹	۰.۲۴	۰.۲۵	۰.۳۴	۰.۲۷	۰.۲۸	۰.۲۲	۰.۲۸	۰.۲۵	۰.۲۸	۰.۲۸	۰.۳	۰.۳۳
Ce	۱.۸	۴.۹	۲.۷	۱.۷	۵.۵	۲.۵	۷.۱	۳.۲	۳.۶	۴.۵	۵.۴	۲.۹	۴.۷	۲.۹	۴.۷	۲.۹	۴.۸	۳.۴	۳.۲	۲.۸	۲.۹
Co	۶.۵	۴.۸	۱.۰۶	۲.۷	۲.۸	۳.۵	۲.۲	۳.۴	۱.۵۶	۴.۵	۲.۹	۲.۰	۲.۰	۱.۷	۱.۷	۶.۹	۹	۶.۸	۶.۰	۳.۳	
Cr	۴.۸	۷.۷	۷.۰	۱۱.۷	۱۰.۵	۱۱.۴	۷.۴	۶.۱	۸.۳	۷.۱	۵.۴	۲.۲	۴.۱	۵.۱	۲.۹	۲.۸	۱.۹	۲.۸	۱.۰	۱.۴	۲.۶
Cu	۲.۵	۱.۰۶۵	۲.۲۸	۱.۴۸	۱.۳۸	۴.۲۱۴	۱۱.۰۸	۳.۷	۲.۰	۱۲.۰	۶.۲۲	۲۳۵۶.۷	۶۶۷.۴	۱۵۳۶.۴	۵.۲۱	۲.۹۵۴	۲.۶۸	۳.۲۲۹	۴.۴۵۴	۳.۳۹۹	۲.۵۶۹
Fe	۷۸۳۳.۴	۸۷۵۸.۶	۸۷۶۲.۴	۷۸۰۵.۹	۹۴۳۰.۶	۱۰۲۳۲.۰	۹۴۱۶.۳	۱۰۴۰۰.۴	۱۰۳۹۹.۴	۸۴۷۹.۲	۹۷۶۰.۷	۸۱۵۱.۷	۶۷۴۶.۶	۶۹۳۶.۱	۷۷۸۱.۰	۱۰۲۲۴.۱	۳۶۳۳.۱	۸۲۵۷.۴	۹۶۱۵.۵	۹۶۶۵.۶	۷۳۰۶.۹
k	x	۲۵۷۸.۲	x	x	۱۹۹۸.۷	x	۱۹۷۸.۳	x	x	۱۱۶۵۸	۱۲۰۳۳	x	۱۷۱۶.۲	x	۲۵۷۶.۹	x	۳۶۳۳.۶	۲۸۸۱.۷	x	x	۳۲۲۴.۹
La	۱.۸	۲.۳	۲.۵	۱.۷	۲.۳	۲.۶	۳.۶	۳.۴	۳.۶	۱.۷	۲.۴	۳.۰	۲.۳	۳.۰	۲.۳	۴.۰	۲.۹	۲.۱	۲.۵	۳.۰	۱.۷
Li	۵.۸	۴.۴	۵.۳	۵.۴	۴.۴	۵.۰	۴.۰	۴.۴	۷.۷	۵.۱	۴.۷	۴.۱	۴.۳	۴.۱	۳.۱	۳.۱	۱.۰	۱.۱	۲.۵	۳.۲	۱.۶
Mg	۲۹۶۳.۳	۱۸۹۶.۴	۲۹۱۳.۴	۳۲۹۴.۸	۱۹۸۰.۵	۲۸۳۹.۳	۱۷۴۸.۹	۲۴۲۱.۳	۳۵۹۸.۴	۱۰۷۴.۸	۱۷۱۶.۹	۲۱۸۳.۵	۱۸۰۰.۶	۳۳۹۱.۲	۱۵۱۸.۶	۱۷۵۰.۳	۱۰۰۰.۸	۱۰۰۰.۳	۱۵۹۷.۱	۲۰۳۰.۰	۱۵۴۲.۱
Mn	۳۲۱.۴	۳۳۸.۸	۳۵۰.۴	۳۶۷.۶	۳۳۶.۵	۳۰۵.۵	۳۱۹.۳	۳۲۶.۹	۳۸۰.۴	۳۰.۶۱	۲۶۹.۷	۲۲۶.۵	۲۶۶.۲	۲۴۵.۱	۲۵۱.۵	۱۸۱.۸	۱۵۸.۶	۱۹۰.۳	۱۸۱.۲	۲۶۰.۰	۳۳۷.۵
Mo	۴۲.۶	۰.۸۲	۰.۵۸	۰.۵	۰.۷	۰.															

ادامه جدول ۳

نمونه	BHI-166.3-170.4	BHI-170-180	BHI-178.2-179	BHI-180-190	BHI-189.6-190.2	BHI-190-200	BHI-200-210	BHI-210-220	BHI-220-230	BHI-230-240	BHI-240-250	BHI-250-260	BHI-260-270	BHI-270-280	BHI-280-290	BHI-290-300	BHI-300-310	BHI-310-320	BHI-320-330	BHI-330-340	BHI-340-350	
Ag	۱,۱	۲,۹	۱,۱۹	۰,۷۹	۲,۹	۰,۷۴	۰,۵۶	۰,۶۶	۰,۵۷	۰,۵۱	۰,۵۴	۰,۶۷	۰,۸	۰,۹	۰,۴۶	۰,۴	۰,۱	۰,۱	۰,۱	<۰,۱	<۰,۱	۰,۱
Al	۸۸۴۹۳	۶۷۶۴۱	۱۴۰۸۱۶	۸۷۱۰۹	۱۳۵۲۵۹	۸۴۶۰۸	۸۸۵۲۷	۷۶۶۸۹	۸۴۱۱۱	۸۳۶۴۱	۸۵۱۷۷	۷۹۲۹۳	۸۲۶۴۴	۷۸۰۹۰	۷۴۵۸۸	۷۵۸۸۱	۷۶۷۷۳	۷۴۶۹۷	۷۸۱۹۶	۶۸۷۰۵	۷۶۰۹۶	
As	۲,۲	۶,۲	۵,۷	۱۶,۱	۲۵,۹	۱۵,۷	۲۰,۲	۱۴	۹,۲	۱۶	۱۶,۹	۹,۷	۲۸	۸,۷	۸,۷	۸,۸	۱۲,۹	۹	۸	۷,۸	۱۱,۴	
Ca	۲۹۸۵۳	۱۷۹۱۹	۱۱۶۵۶	۳۶۹۶۰	۱۵۰۵۵	۴۰۹۱۳	۴۳۹۸۷	۳۷۴۲۳	۲۲۰۲۸	۴۳۷۲۷	۴۷۸۰۴	۳۶۵۵۸	۴۱۴۱۷	۱۷۴۸۸	۱۸۹۸۷	۲۲۹۱۲	۲۶۲۰۱	۲۵۱۲۵	۲۸۹۵۱	۳۰۵۶۴	۴۴۰۷۴	
Cd	۰,۲۸	۰,۳۹	۰,۲۸	۰,۳۵	۰,۳۳	۰,۳	۰,۴۱	۰,۳۷	۰,۲۹	۰,۳۱	۰,۲۸	۰,۸	۰,۳۹	۰,۲۷	۰,۲۵	۰,۱	<۰,۱	<۰,۱	<۰,۱	<۰,۱	۰,۱	
Ce	۴۴	۲۵	۲۳	۲۲	۱۷	۲۲	۲۲	۳۱	۲۷	۳۵	۳۳	۳۲	۳۰	۴۷	۶۳	۵۷	۵۹	۶۲	۶۴	۵۹	۵۴	
Co	۲۳	۴۰	۹۸	۵۲	۱۹۵	۴۵	۲۹	۲۸	۳۷	۲۳	۲۷	۳۵	۷۳	۵۱	۱۶	۱۹,۳	۱۱,۸	۱۲,۸	۹,۷	۹,۱	۱۰,۱	
Cr	۱۸	۳۰	۲۱	۳۲	۲۵	۳۳	۳۵	۲۶	۳۱	۲۹	۲۸	۲۸	۳۲	۲۷	۱۴	۱۸	۱۵	۱۲	۱۴	۱۴	۲۱	
Cu	۳۹۳۸	۹۰۷۲	۱۸۴۳	۱۲۵۱	۶۸۵۵	۱۳۷۵	۱۷۹	۱۱۲۸	۱۹۸	۲۶۳	۱۰۰۸	۱۰۵۶	۱۲۵	۱۷۵۳	۴۱۲	۳۷۱	۲۹۵	۶۲	۱۷	۳۹	۶۷	
Fe	۶۴۴۰۶	۷۸۶۹۵	۱۰۲۲۵۸	۸۱۵۰۸	۱۱۷۵۸۸	۹۰۶۳۷	۶۴۸۷۶۱	۹۲۸۷۶	۸۳۹۷۵	۷۰۷۰۸	۷۳۹۶۵	۷۲۶۰۳	۶۴۰۹۷	۶۴۸۷۰	۶۴۸۴۹	۳۸۰۴۵	۳۸۲۳۸	۳۶۰۹۳	۳۸۰۰۳	۳۷۲۲۷	۳۳۲۲۲	
k	x	۲۷۹۳۶	x	۲۲۲۱۰	x	۲۱۲۰۹	۲۰۱۰۸	۲۲۷۱۱	۲۰۹۰۸	۲۰۶۷۰	۱۴۶۸۷	۱۴۱۳۴	۱۵۸۵۲	۴۷۷۵۴	۴۱۷۸۴	۳۹۷۹۷	۳۷۲۰۰	۴۱۷۱۸	۴۵۱۸۳	۴۶۵۸۳	۴۱۸۹۸	
La	۴۷	۱۵	۲۴	۱۵	۲۰	۱۵	۱۳	۱۶	۱۴	۱۷	۱۶	۱۶	۱۴	۲۶	۳۳	۲۹	۲۹	۳۱	۳۱	۲۹	۲۷	
Li	۳۹	۲۰	۷۵	۲۰	۶۷	۱۹	۱۵	۴۴	۶۲	۳۸	۳۸	۴۸	۳۴	۳۳	۲۰	۳۲	۳۰	۳۳	۲۶	۲۳	۲۱	
Mg	۲۴۶۹۷	۱۶۸۳۸	۳۳۵۷۰	>٪۲	۳۲۶۱۱	>٪۲	>٪۲	>٪۲	>٪۲	>٪۲	>٪۲	>٪۲	>٪۲	۱۸۹۷۵	۸۹۸۸	۹۸۳۱	۱۰۹۵۶	۱۰۰۳۲	۱۰۶۲۹	۹۲۴۹	۵۸۴۳	
Mn	۳۳۸۷	۳۴۶۶	۴۰۰۸	۳۸۸۸	۳۱۹۵	۴۰۴۲	۳۷۱۵	۳۷۳۰	۳۶۰۱	۳۳۹۷	۴۱۹۴	۳۱۵۴	۴۰۰۹	۲۲۹۶	۱۳۳۳	۱۲۲۰	۱۲۴۳	۱۱۴۷	۱۱۲۸	۱۲۳۳	۶۹۴	
Mo	۵۷	۴۴۱	۱۲۶	۳۷۳	۰,۷۵	۳,۸۷	۳,۵۸	۱,۶	۲,۶۲	۱,۵	۱,۹۴	۱,۵۴	۱,۷۸	۷۹۰,۹	۳,۴۵	۳,۴	۳,۵	۲	۲,۴	۲,۱	۵,۴	
Na	x	۱۲۰۶۲	x	۱۷۵۵۳	x	۱۳۳۶۵	۱۸۵۶۰	۱۱۵۷۴	۱۱۸۱۱	۱۲۵۸۱	۱۵۷۰۴	۲۳۱۶۴	۲۷۱۸۶	۱۵۰۲۶	۲۱۱۴۵	۲۲۹۵۲	۲۲۷۷۹	۲۵۰۰۰	۳۳۲۴۵	۲۳۱۶۱	۱۶۲۲۵	
Ni	۱۲	۱۴	۱۴	۲۱	۲۲	۱۹	۲۱	۱۶	۱۸	۱۶	۱۶	۱۷	۱۸	۱۱	۳	۴	۴	۴	۲	۳	۳	
P	۱۰۰۲	۷۷۳	۱۱۴۸	۱۰۱۱	۱۱۱۸	۹۲۳	۱۰۵۹	۹۱۲	۱۰۸۷	۱۰۴۸	۱۰۳۱	۹۶۸	۱۰۶۳	۱۰۷۷	۹۹۲	۱۱۹۵	۱۱۸۲	۱۲۲۱	۱۲۲۷	۱۱۸۹	۱۰۹۱	
Pb	۱۰	۲۳	۱۳	۱۶	۱۳	۸	۲۲	۲۴	۲۹	۱۰۵	۳۰	۱۴۰	۷۱	۲۲۳	۱۶	۱۲	۱۲	۱۵	۹	۹	۱۶	
S	۵۴۶۸	۱۳۵۸۱	۱۳۰۸۹	۸۱۲۸	۳۸۲۸۰	۶۸۲۸	۶۰۲	۲۱۲۸	۲۲۲۱	۶۷۲	۲۳۷۴	۸۲۹۳	۱۱۱۸۷	۱۲۷۱۹	۴۸۶۷	۱۳۲۳۶	۷۴۸۸	۲۲۵۱	۴۸۸	۹۴۳	>٪۳	
Sb	۱,۴۷	۱,۴۶	۱,۵۴	۱,۵۷	۱,۷۱	۲,۳۴	۱,۶	۱,۳	۱,۴۷	۲,۵۶	۳,۹۱	۱,۶۷	۱,۶۷	۱,۶۸	۱,۶۹	۱	۰,۵	۳,۵	<۰,۵	<۰,۵	<۰,۵	
Ti	۱۸,۹	۳۷۵۰	۱۹,۲	۵۲۷۸	۲۲,۸	۴۸۵۲	۵۴۱۹	۴۷۰۸	۵۴۲۷	۵۲۵۲	۵۲۳۸	۴۸۸۵	۵۲۰۰	۵۱۷۹	۴۷۳۵	۵۰۹۹	۵۱۵۹	۵۳۲۲	۵۳۳۱	۵۲۷۳	۴۷۶۴	
U	۹,۸	<۵	۶,۶	<۵	۶	<۵	<۵	۵,۲	<۵	۶,۸	۸,۹	۶,۷	۷,۸	۶	۵,۷	۱۴,۲	۱۱,۴	۹,۹	۱۲,۴	۱۶,۶	۱۶,۱	
V	۱۴۵	۱۵۰	۱۷۴	۲۲۶	۲۲۹	۲۱۴	۲۲۵	۲۳۰	۲۴۷	۲۴۱	۲۳۹	۲۲۷	۲۳۱	۱۵۵	۹۳	۱۰۴	۹۶	۹۵	۱۰۰	۹۹	۹۱	
Yb	۱,۳	۲,۲	۱,۳	۲,۴	۱,۴	۲,۴	۲,۲	۲,۲	۲,۲	۲,۲	۲,۲	۲,۲	۲,۱	۲,۲	۲,۳	۲,۹	۳	۳,۲	۳,۲	۳,۱	۲,۹	
Zn	۱۳۷	۱۵۹	۱۹۳	۲۰۶	۱۶۱	۱۵۱	۲۶۴	۱۸۹	۱۷۸	۱۷۴	۱۵۱	۳۹۵	۳۰۷	۱۱۲	۷۸	۶۴	۵۲	۶۵	۶۶	۷۰	۳۶	
Zr	۳۲	۷۳	۲۴	۵۱	۲۰	۴۵	۴۹	۴۷	۴۲	۵۳	۴۸	۴۰	۴۲	۵۶	۱۰۶	۱۰۸	۱۱۴	۱۳۱	۱۲۴	۱۱۵	۱۱۹	

جدول ۴ نتایج تجزیه عنصر طلا در توده‌های نفوذی و واحدهای آتشفشانی گستره معدنی تازه‌کند به روش عیارسنجی گرمایی (بر حسب ppb).

نمونه	*DL	S-TZK-01	S-TZK-01-2	S-TZK-02	S-TZK-07	S-TZK-08	S-TZK-09	S-TZK-Si	BHI-230-240	BHI-240-250	BHI-260-270	BHI-270-280	BHI-370-380	BHI-410-420	BHI-420-430
Au	۵	۱۳	۱۷	<	<	<	۸	۳۳	<	<	<	<	<	<	<

* حد آشکارسازی

بحث و بررسی

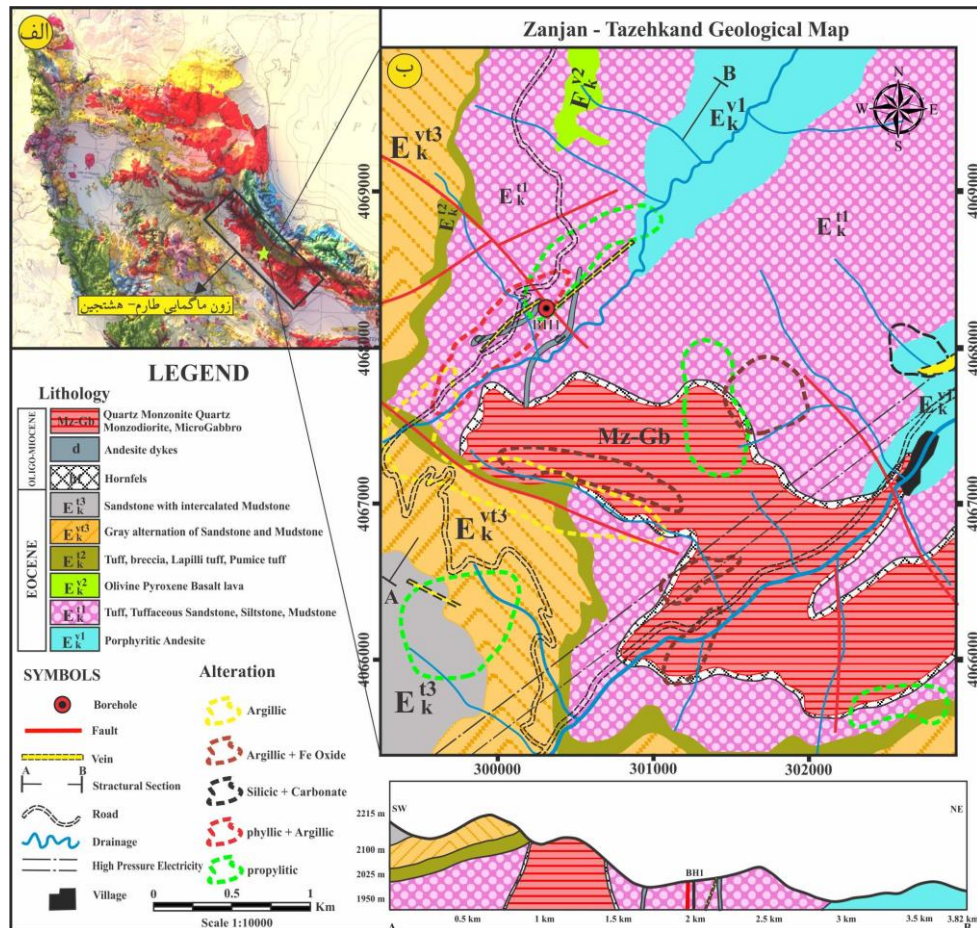
زمین‌شناسی گستره تازه‌کند

گستره معدنی تازه‌کند به عنوان بخشی از کمربند فلززائی طارم- هشتجین درون و پیرامون توده‌های نفوذی واقع است [۱۵] (شکل ۱ ب). فعالیت‌های ماگمایی در این گستره به طور عمده شامل مجموعه‌ای از توده‌های نفوذی با ترکیب سنگ-

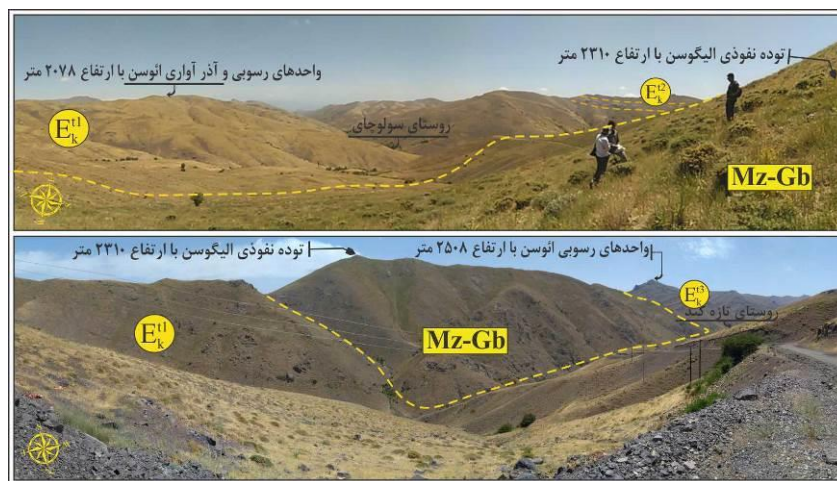
شناسی موزونیت تا گابرو به سن الیگومیوسن هستند که بر واحدهای آتشفشانی- رسوبی ائوسن اثر داشته و آن‌ها را قطع کرده‌اند (شکل ۲). پنج واحد سنگی آتشفشانی و آذرآواری ائوسن به ترتیب کاهش سن شامل واحد E_k^{v1} (گدازه‌های آندزیتی با بافت پورفیری)، واحد E_k^{t1} (توف بلوری، توف بلوری سنگی و خاکستر توف)، واحد E_k^{t2} (شامل توف برشی، توف

های حدواسط با میان لایه‌هایی از ماسه‌سنگ، لای‌سنگ و گل-سنگ) و واحد E_k^{t3} (ماسه سنگ، لای سنگ، ماسه سنگ توفی) هستند [۱۱].

بامیسی و توف جوش خورده در بخش زیرین و توف سنگی، توف بلوری و خاکستر توف در بخش بالا)، واحد E_k^{vt3} (تناوب گدازه‌های آندزیتی و آندزیت بازالتی با بافت پورفیری و توف-



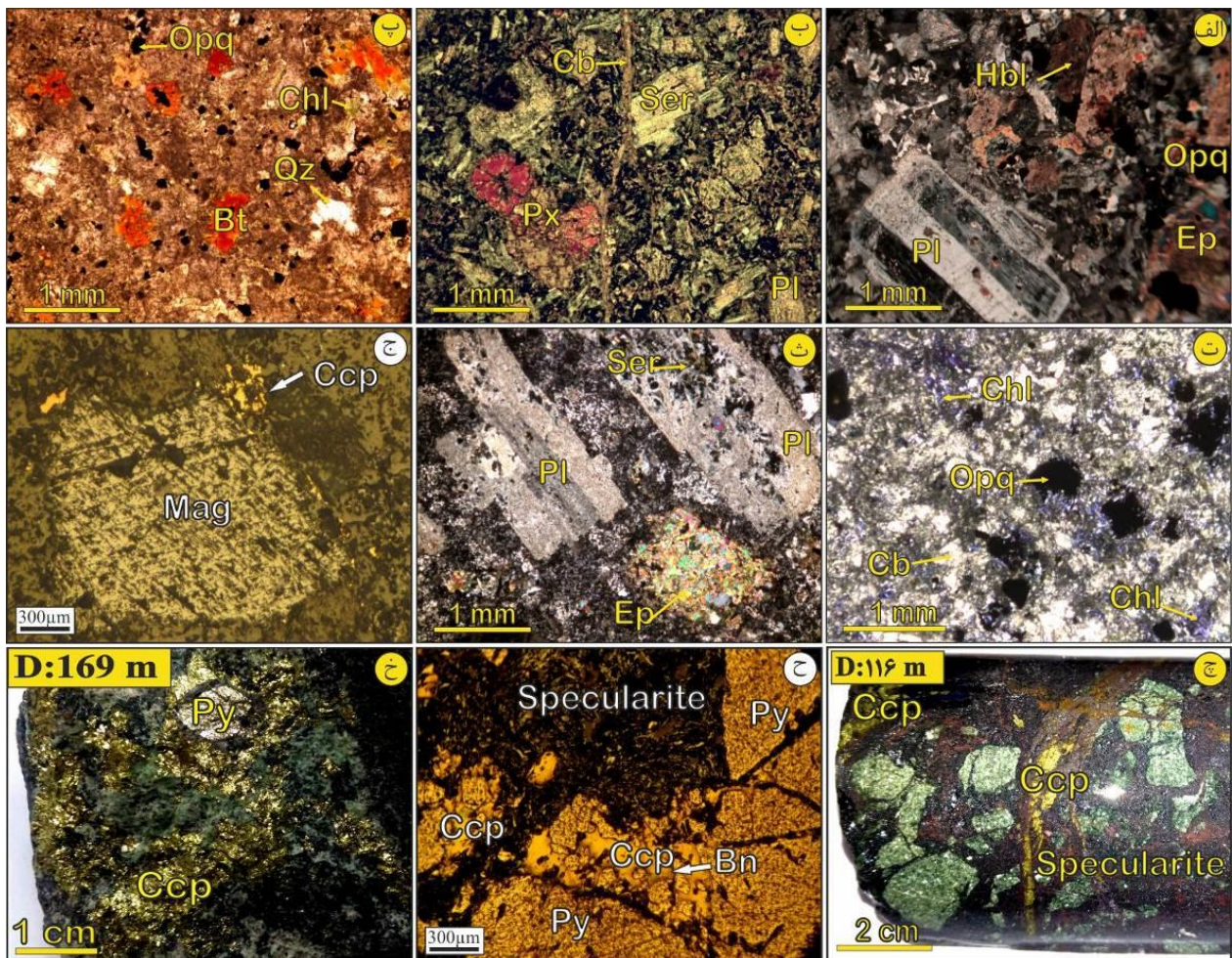
شکل ۱ الف) نقشه پهنه‌های ساختاری شمال غرب ایران و جایگاه کمر بند ماگمایی طارم- هشتجین [۱-۳]، ب) نقشه زمین‌شناسی با مقیاس ۱:۱۰۰۰۰ برای منطقه تازه‌کند به همراه برنزد پهنه‌های دگرسانی برگرفته از مرجع [۱۵].



شکل ۲ تصاویر صحرایی از گستره معدنی تازه‌کند که توده‌های نفوذی با ترکیب سنگ‌شناسی مونزونیت تا گابرو به سن الیگومیوسن، واحدهای آتشفشانی- رسوبی انوسن را قطع کرده‌اند.

شیشه‌ای از کانی‌های اصلی لاتیت آندزیت، تراکی آندزیت و آندزیت می‌باشند. بافت‌های پورفیری، دانه‌ای، ریز بین دانه‌ای، شعاعی، جانشینی، برونرستی، انتشاری، رگه-رگچه‌ای، داربستی و برشی از جمله بافت‌های همراه با توده‌های نفوذی و واحدهای آتشفشانی گستره معدنی تازه‌کند هستند. سیال‌های ماگمایی-گرماپی برآمده از توده‌های نفوذی در گستره تازه‌کند مسئول کانه‌زایی و دگرسانی‌های گرماپی در منطقه هستند (شکل ۳ الف تا پ).

بر اساس بررسی‌های سنگ‌شناسی، پلاژیوکلاز، فلدسپار آلکالن و کوارتز از کانی‌های اصلی میکروکوارتز مونزونیت بوده که توسط کانی‌های فرعی مانند بیوتیت، هورنبلند و کانی‌های کدر همراهی می‌شوند. همچنین پلاژیوکلاز و فلدسپار آلکالن از کانی‌های اصلی مونزودیوریت و گابرویدیوریت بوده که توسط کانی‌های فرعی مانند الیون، پیروکسن، هورنبلند، کوارتز و کانی‌های کدر همراهی می‌شوند. پلاژیوکلاز، کوارتز، فلدسپار آلکالن و کانی‌های فرومنیزین (کاملاً دگرسان) در خمیره



شکل ۳ تصاویر ماکروسکوپی و میکروسکوپی از دگرسانی و کانی‌سازی در گستره معدنی تازه‌کند، الف) درشت بلورهای پلاژیوکلاز و هورنبلند در توده نفوذی مونزودیوریتی که در اثر دگرسانی به کانی‌های اپیدوت، کلریت و کانی‌های رسی تبدیل شده‌اند (در نور قطبیده متقاطع، XPL، ب) کانی‌های پیروکسن و پلاژیوکلاز بی‌شکل در توده نفوذی کوارتز مونزونیت که در اثر دگرسانی به کانی‌های کربناتی و سریسیتی تبدیل شده‌اند (XPL، پ) کانی بی‌شکل بیوتیت که به صورت پراکنده در متن توده‌نفوذی مونزونیتی دیده می‌شود (در نور قطبیده صفحه‌ای، PPL، ت) کلریت-سریسیت-کانی‌های رسی در دگرسانی کلریتی-سریسیتی (XPL، ث) درشت بلورهای شکل‌دار پلاژیوکلاز که در اثر دگرسانی پروپلیتی به سریسیت و اپیدوت تبدیل شده‌اند (XPL، ج) کانه‌زایی زیرسطحی پراکنده درشت بلورهای مگنتیت به همراه کالکوپیریت در دگرسانی فراگیر پروپلیتی (XPL، چ) بافت برشی دربردارنده سیمان اسپکیولاریت و کالکوپیریت، ح) بلورهای بی‌شکل کالکوپیریت که از لبه به بونریت تبدیل شده و شکستگی‌های بلورهای نیمه شکل‌دار پیریت را پر کرده و کانی‌های سولفیدی در مرکز رگچه کانی اسپکیولاریت را به لبه رگچه رانده‌اند

(XPL)، خ) درشت بلورهای بی‌شکل کالکوپیریت که بلور نیمه شکل‌دار پیریت را دربرگرفته‌اند، (نشانه‌های اختصاری کانی‌ها برگرفته از مرجع [۱۶]).

کالکوپیریت تنها کانه رگچه‌ها بوده و با توجه به کانه‌زایی سولفیدی مس از نظر اقتصادی مهم است (شکل‌های ۳ ح و خ). مرحله سوم (III) با کانی‌سازی رگه-رگچه‌ای کوارتز-کلریت-سولفیدی و کربناتی-سولفیدی مشخص می‌شود که رگه-رگچه‌های کانی‌زایی مرحله‌های اول و دوم را قطع کرده‌اند. سرانجام در مرحله چهارم (IV)، پس از واقع شدن رگه-رگچه‌های سولفیدی در پهنه اکسیدی (بالای سطح سفره آبدار)، کانی‌های سولفیدی دچار هوازدگی و اکسیدشدگی شده و کانی‌های اکسیدی و کربناتی را در پهنه اکسیدی و یا کانی‌های سولفیدی ثانویه را در پهنه احیا تشکیل می‌دهند. مهم‌ترین کانی‌های برونزاد بورنیت، مالاکیت، آزوریت، کالکوسیت، کولیت، همتایت، گوتیت و لیمونیت هستند. مالاکیت فراوان-ترین کانی در این مرحله است که به صورت آغشتگی در سطوح شکستگی‌های سنگ در برگرفته دیده می‌شود.

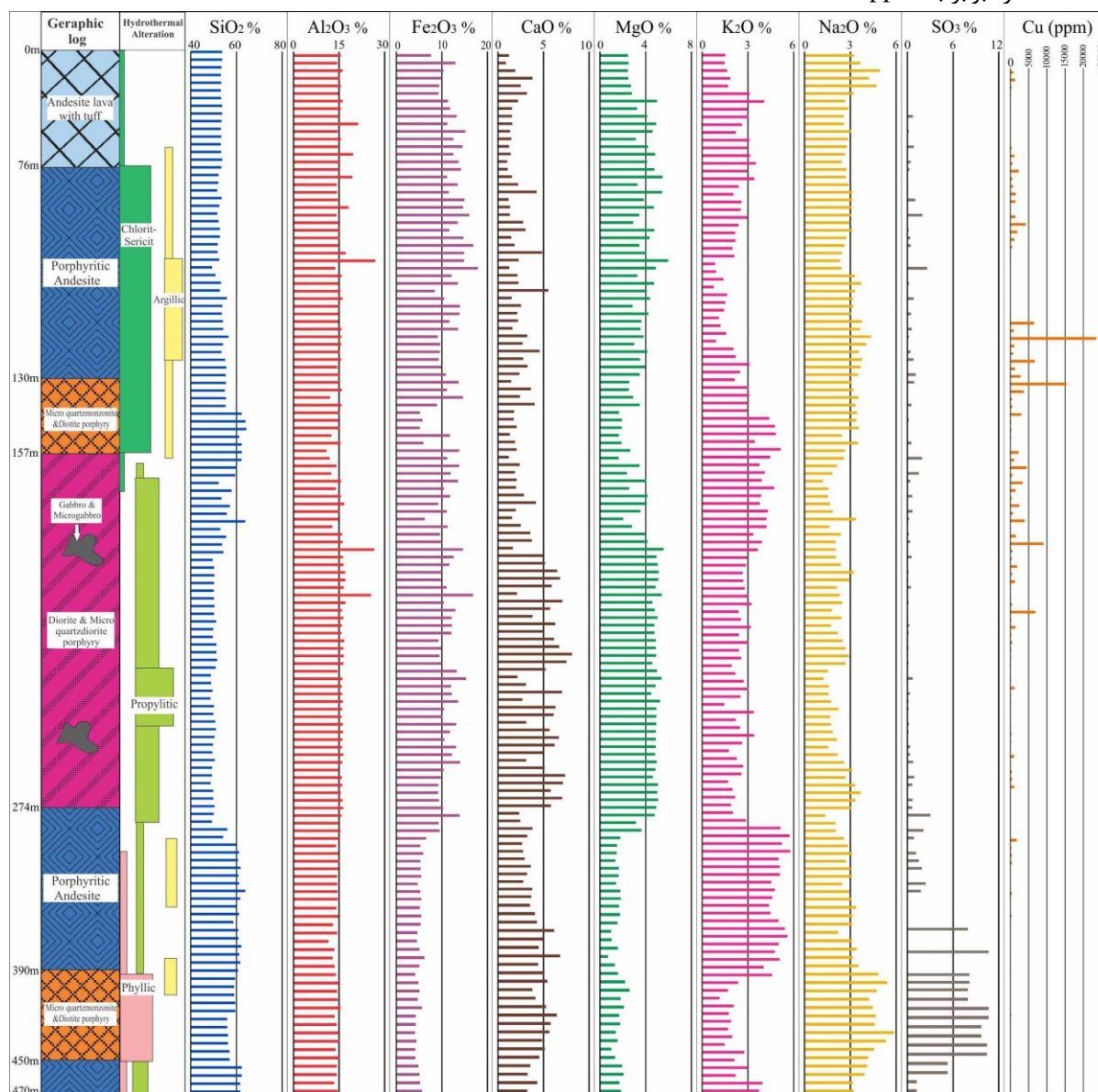
زمین‌شیمی کانسنگ

بر اساس نتایج تجزیه نمونه‌ها که تقریباً همه عناصر سولفیدی (جدول‌های ۲ و ۳) و عنصر Au (جدول ۴) در پهنه شامل کانه‌زایی سطحی و زیرسطحی بررسی شدند، تنها عنصر مس عیارهای بالایی نشان داد و از نظر اقتصادی مهم است. بیشترین مقدار عنصر Au در نمونه‌های رگه سیلیسی سطحی ۳۳ ppb و در نمونه‌های دگرسانی آرتزلیک ۵۵ppm گزارش شده، که نشانگر کانی‌زایی تک‌عنصری مس در منطقه است. مقادیر بیشینه و میانگین سطحی عنصر مس در رگه مرکزی کانه‌زایی ۶۳۰۹/۶-۲۵۶۲۸ ppm و مقدار میانگین عنصر مس در پهنه کانه‌دار شرقی برابر با ۸۳۳۴ppm است. روند تغییرات عیار عنصر مس با افزایش عمق نشان دهنده غنی‌شدگی مس در سه بخش است (شکل ۴). در بخش‌های یک و دو، عیار عنصر مس مربوط به کانه‌زایی رگچه‌ای و پراکنده کالکوپیریت همراه با دگرسانی کلریتی-سرسیستی با سنگ میزبان آندزیت پورفیری است. عیار میانگین عنصر مس در بخش یک با اندازه ۳۰ متر (عمق ۷۰ تا ۱۰۰ متر) برابر با ۱۳۸۰ ppm و در بخش دوم با اندازه ۲۰ متر (عمق ۱۱۰ تا ۱۳۰ متر) برابر با ۶۵۴۴ppm است. در بخش سوم نیز، عیار عنصر مس مربوط به کانه‌زایی رگچه‌ای و افشان کالکوپیریت همراه با دگرسانی‌های کلریتی-سرسیستی و پروپیلیتیک با سنگ میزبان توده‌های نفوذی بوده

دگرسانی در این منطقه گسترش سطحی متوسط و عمقی به نسبت بالایی دارد و بیشتر واحدهای سنگی منطقه دستخوش آن شده و تغییرات شیمیایی و کانی‌شناسی گسترده‌ای در آن‌ها ایجاد گردیده است. بررسی‌های بافتی و کانی‌شناسی در این منطقه نشان دهنده دگرسانی گرمایی به دو صورت جانشینی درون کانی‌های پیشین و نهشت مستقیم در فضاهای خالی و شکستگی‌هاست. کانی‌های کوارتز، سریسیت، اپیدوت، کلریت، کلسیت، آلونیت، دیکیت، مونتموریلونیت، اپلیت، انیدریت، سنگ گچ، کریستوبالیت و اکسیدها و هیدرواکسیدهای آهن و منگنز از مهم‌ترین کانی‌های ثانویه شناسایی شده در مجموعه‌های دگرسانی هستند (جدول ۱) که به صورت دگرسانی‌های درونزاد کلریت-سرسیست (شکل ۳ ت)، فلیک، پروپیلیتیک (شکل ۳ ث)، کربناتی، آرتزلیک پیشرفته و متوسط، سیلیسی و برونزاد اکسید و هیدرواکسیدهای آهن در منطقه ظاهر شده‌اند.

کانی‌های تشکیل دهنده کانسنگ‌ها در گستره معدنی تازه-کند در ۳ دسته شامل کانی‌های سولفیدی (پیریت، کالکوپیریت، گالن، بورنیت، کالکوسیت و کولیت)، کربنات‌ها (مالاکیت و آزوریت) و اکسیدها و هیدرواکسیدهای آهن (مگنتیت، همتایت، همتایت ورقه‌ای یا اسپکیولاریت، گوتیت و لیمونیت) قرار می‌گیرند. براساس بررسی‌های صحرائی، میکروسکوپی و روابط بافتی میان کانی‌های فلزی و غیرفلزی چهار مرحله کانی‌سازی در این منطقه شناسایی شد. مرحله نخست (I) با کانی‌سازی پراکنده مگنتیت (شکل ۳ ج) و پیریت، همراهی کالکوپیریت در متن سنگ میزبان و اسپکیولاریت به عنوان نخستین کانی رسوب کرده به صورت رگچه‌ای مشخص می‌شود. مرحله دوم (II) با رخدادهایی مانند جوشش، برشی شدن، تشکیل رگه-رگچه‌های متقاطع شامل کانه‌زایی متنوع چون رگچه‌های اسپکیولاریتی، سولفیدی و سیلیسی-کلریتی-کلسیتی دیدار شده است (شکل ۳ چ). محلول‌های کانه‌دار در فضای گسل‌ها، شکستگی‌ها و فضای بین برش‌ها به حالت پراکنده مواد خود را برجای گذاشته و بافت پراکنده لایه‌ای و نواری را تشکیل می‌دهند. آنها از نظر کانی‌سازی به ترتیب فراوانی با حضور اسپکیولاریت، پیریت، کالکوپیریت و کمی مگنتیت و گالن مشخص می‌شوند. گاهی

و عیار میانگین عنصر مس در این بخش با اندازه ۷۰ متر (عمق ۱۳۰ تا ۲۰۰ متر) برابر با ۱۶۵۸ppm است.



شکل ۴ روند تغییرات سنگ‌شناسی، دگرسانی، کانه‌زایی عنصر مس و زمین‌شیمی اکسیدهای اصلی با افزایش عمق در گمانه حفر شده در گستره تازه‌کند.

زمین‌شیمی سنگ کل

برای کنترل نتایج کانی‌شناسی، روند تغییرات عمقی یافته‌های زمین‌شیمیایی اکسیدهای اصلی (جدول‌های ۲ و ۳) با گستره تغییرات SiO₂ از ۴۸٫۶۳ تا ۶۳٫۸۶ درصد، Al₂O₃ از ۱۰٫۹۰ تا ۲۶٫۶۱ درصد، Fe₂O₃ از ۴٫۱۵ تا ۱۷٫۸۹ درصد، CaO از ۰٫۸۹ تا ۱۲٫۱۲ درصد، MgO از ۰٫۷۰ تا ۵٫۹۷ درصد، K₂O از ۰٫۷۷ تا ۵٫۸۰ درصد، Na₂O از ۱٫۲۱ تا ۵٫۸۸ درصد، SO₃ از ۰٫۰۹ تا

۱۰٫۶۸ درصد و Cu از ۸ تا ۲۳۵۶۷ppm در دگرسانی‌های کلریتی-سرپیسیتی، پروپیلیتیک، فیلیک و کربناتی با سنگ میزبان آتشفشانی و توده‌های نفوذی بررسی شد (شکل ۴). مقدار SiO₂ با افزایش رگچه‌های سیلیسی-سولفیدی-اکسیدی و کوارتز ثانویه پراکنده در متن سنگ افزایش و با کم شدن شدت دگرسانی و کانه‌زایی کاهش می‌یابد. عنصر Al در فرآیندهای دگرسانی از عناصر بی‌تحرك محسوب می‌شوند، از

این رو مقدار Al_2O_3 تقریباً روند ثابتی نشان می‌دهد و به طور میانگین برابر با ۱۵/۴۷ درصد است. بیشینه مقدار Fe_2O_3 برابر با ۱۷/۸۹ درصد بوده که با حضور رگچه‌های اسپیکولاریت و کانه‌زایی افشان مگنتیت در متن سنگ در ارتباط است. کمینه و میانگین CaO در دگرسانی کلریت-سریسیت به ترتیب برابر با ۰/۸۹ و ۲/۲۷ درصد بوده که به دلیل نبود کانی اپیدوت و مقدار کم کانی‌های کربناتی است. بیشینه و میانگین CaO در دگرسانی پروپیلیتیک به ترتیب برابر با ۷/۵۲ و ۴/۸۹ درصد است که با ظهور کانی اپیدوت، کانی‌های کربناتی و کلسیت همخوانی دارد. بیشینه و میانگین مقدار MgO در واحد آندزیت با دگرسانی کلریت-سریسیت به ترتیب برابر با ۵/۹۷ و ۳/۸۰ درصد و میانگین MgO در توده‌های نفوذی برابر با ۴/۸۲ درصد است که با حضور گسترده کانی‌های کلینوکلر، کلریت و اپیدوت به صورت رگه-رگچه‌ای و پراکنده در متن سنگ همخوانی دارند. با افزایش عمق و کاهش شدت دگرسانی پروپیلیتیک، میانگین مقدار MgO در آندزیت به ۱/۴۹ درصد می‌رسد. میانگین مقدار K_2O در توده‌های نفوذی مونزونیتی و منزودیوریتی و سنگ آندزیتی به ترتیب برابر با ۲/۹۸ و ۴/۹۴ درصد است. افزایش مقدار K_2O در ارتباط با تشکیل سریسیت و کانی‌های رسی طی فرآیند دگرسانی کانی فلدسپار به ویژه پلاژیوکلازهاست. در دگرسانی کلریت-سریسیت، میانگین مقدار Na_2O برابر با ۳/۱۸ درصد است که با حضور کانی آلبیت و مونتموریلونیت همخوانی دارد. توده نفوذی کوارتز مونزونیتی در عمق ۳۹۰ تا ۴۵۰ متر دارای مقدار میانگین اکسیدهای اصلی Si_2O_5 ، Al_2O_3 ، Fe_2O_3 ، CaO ، MgO ، K_2O ، Na_2O و SO_3 به ترتیب برابر با ۵۷/۷۲، ۱۴/۵۵، ۴/۵۲، ۵/۱۰، ۱/۷۲، ۱/۸۹، ۴/۸۰ و ۹/۳۹ درصد است که با تشکیل کانی‌های ثانویه سریسیت، آلبیت، کوارتز، کلسیت، پیریت و رگچه‌های سنگ گچ و انیدریت طی دگرسانی فیلیک و نبود کانی‌هایی چون کلریت، اپیدوت و اکسید آهن همخوانی دارند.

به منظور رده‌بندی سنگ‌شناسی توده‌های نفوذی و واحدهای آتشفشانی گستره تازه‌کند، از نمودار Na_2O+K_2O نسبت به SiO_2 [۱۷، ۱۸] استفاده شد، که براساس آن بیشتر نمونه‌های توده‌های نفوذی در گستره‌های مونزونیت، کوارتز مونزونیت، مونزودیوریت و گابرویدیوریت و نمونه‌های سنگ‌های آتشفشانی در گستره تراکی آندزیت، تراکی آندزیت بازالتیک،

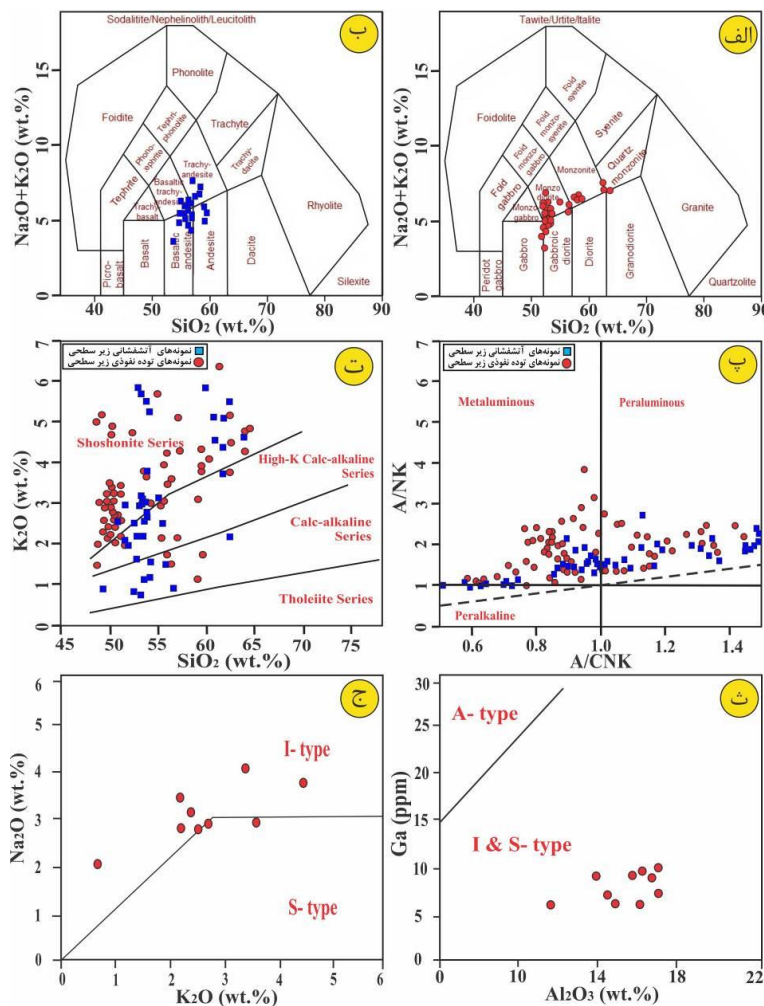
آندزیت و آندزیت بازالتیک واقع هستند (شکل‌های ۵ الف و ب). همچنین در نمودار شاخص اشباع آلومین (Na_2O+K_2O) $A_1CNK=Al_2O_3/(CaO+Na_2O+K_2O)$ نسبت به $A_1NK=Al_2O_3/Al_2O_3$ [۱۹]، نمونه‌های توده‌های نفوذی و سنگ‌های آتشفشانی منطقه مورد بررسی در گستره متاآلومین و پراآلومین واقع هستند (شکل ۵ پ). قرارگیری نمونه‌ها در گستره پراآلومین می‌تواند نتیجه دو عامل باشد [۲۰]: (۱) اثر آلودگی سنگ‌های پوسته‌ای دارای آلومینیم بالا در دگرگونی و تشکیل ماگمای مولد سنگ‌ها و (۲) تشکیل مقدار زیاد کانی‌های ثانویه، به ویژه کانی‌های رسی و سریسیت در دگرسانی گرمایی. نمودار تغییرات مقدار K_2O نسبت به SiO_2 [۲۱] چهار سری ماگمایی تولییتی، پتاسیم متوسط (آهکی قلیایی)، آهکی قلیایی با پتاسیم بالا و شوشونیتی را از هم تفکیک می‌کند. بر این اساس، بیشتر نمونه‌های سنگ‌های آتشفشانی و توده‌های نفوذی منطقه معدنی تازه‌کند در گستره آهکی قلیایی پتاسیم بالا و شوشونیتی قرار می‌گیرند (شکل ۵ ت). به منظور تعیین نوع گرانیتوئیدها از نمودار Al_2O_3 نسبت به Ga [۲۲] استفاده شد که بر این اساس، نمونه‌های سطحی سنگ‌های گرانیتوئیدی مورد بررسی در گستره گرانیتوئیدهای نوع I و S واقع هستند (شکل ۵ ث). برای تفکیک این دو نوع گرانیتوئیدی از هم از نمودار K_2O نسبت به Na_2O [۲۳] استفاده شد. بر این اساس، نفوذی‌های منطقه در گستره گرانیتوئیدهای نوع I قرار دارند (شکل ۵ ج).

برای تعیین جایگاه زمین‌ساختی توده‌های نفوذی، نمودارهای مختلفی پیشنهاد شده است که در اینجا از نمودار $Rb/Y+Nb$ [۲۳] استفاده شد که بر این اساس، همه نمونه‌های سنگ‌های آتشفشانی و توده‌های نفوذی در گستره وابسته به قوس‌های آتشفشانی قرار دارند (شکل ۶ الف). همچنین بر پایه نمودار مرجع [۲۴]، همه نمونه سنگ‌های نفوذی و آتشفشانی تازه‌کند در گستره پس‌برخورد واقع هستند. براساس نمودار $Th/Yb-Ta/Yb$ و Th/Yb [۲۵]، بیشتر نمونه‌های آتشفشانی و توده‌های نفوذی در گستره کرانه فعال قاره‌ای واقع هستند (شکل‌های ۶ ب و پ). نسبت بالای Th/Yb ممکن است ویژگی خاستگاهی در معرض غنی‌شدگی هنگام فرورانش و یا غنی‌شدگی وابسته به آلیش پوسته یا تحت تأثیر هر دو فرآیند باشد [۲۶]. برای شناسایی نوع کمان آتشفشانی از

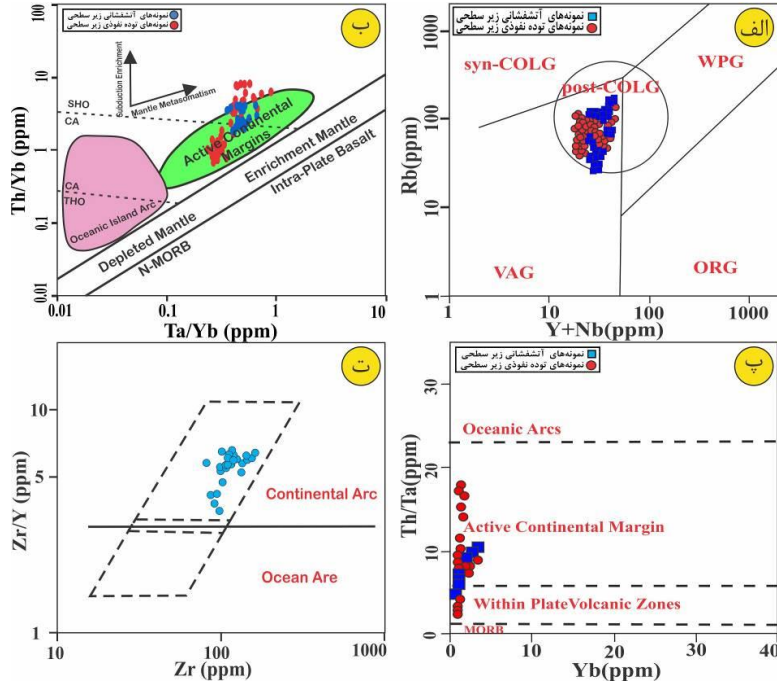
طی تبلور ماگماست، به طوری که در پی آن با تبلور پلاژیوکلازهای کلسیمی در مراحل آغازین، مقدار کلسیم ماگما کاهش می‌یابد و با ادامه روند تبلور، بلورهای آلبیت متبلور می‌شوند [۲۹]. در نمودار SiO_2 نسبت به CaO نمونه‌های آتشفشانی منطقه مورد بررسی روند افزایشی نشان می‌دهند، که ممکن است به دلیل دگرسانی فراگیر کلریتی-سرسیستی و کربناتی تاخیری در آندزیت پورفیری باشد، در حالیکه نمونه‌های توده نفوذی روند کاهشی دارند. روند نزولی MgO و Fe_2O_3 که به دلیل سازگار بودن عناصر آهن و منیزیم هنگام جدایش ماگمایی بوده و با تبلور کانی‌های کلینوپیروکسن، بیوتیت و آمفیبول در سنگ‌ها قابل توجیه است. همچنین روند کاهشی TiO_2 نیز بیانگر حضور تیتان در کانی‌های تیتانومگنتیت و اسفن است (شکل ۸ الف). روند کاهشی P_2O_5 را می‌توان به تبلور بخشی آپاتیت نسبت داد؛ افزون بر این، روند نزولی P_2O_5 از ویژگی‌های گرانیتوئیدهای نوع I است [۳۰].

نمودار Zr/Y نسبت به Zr/Y [۲۷] استفاده شد. بر این اساس، نمونه‌های واحدهای آتشفشانی در بخش کمان قاره‌ای جای دارند (شکل ۶ ت).

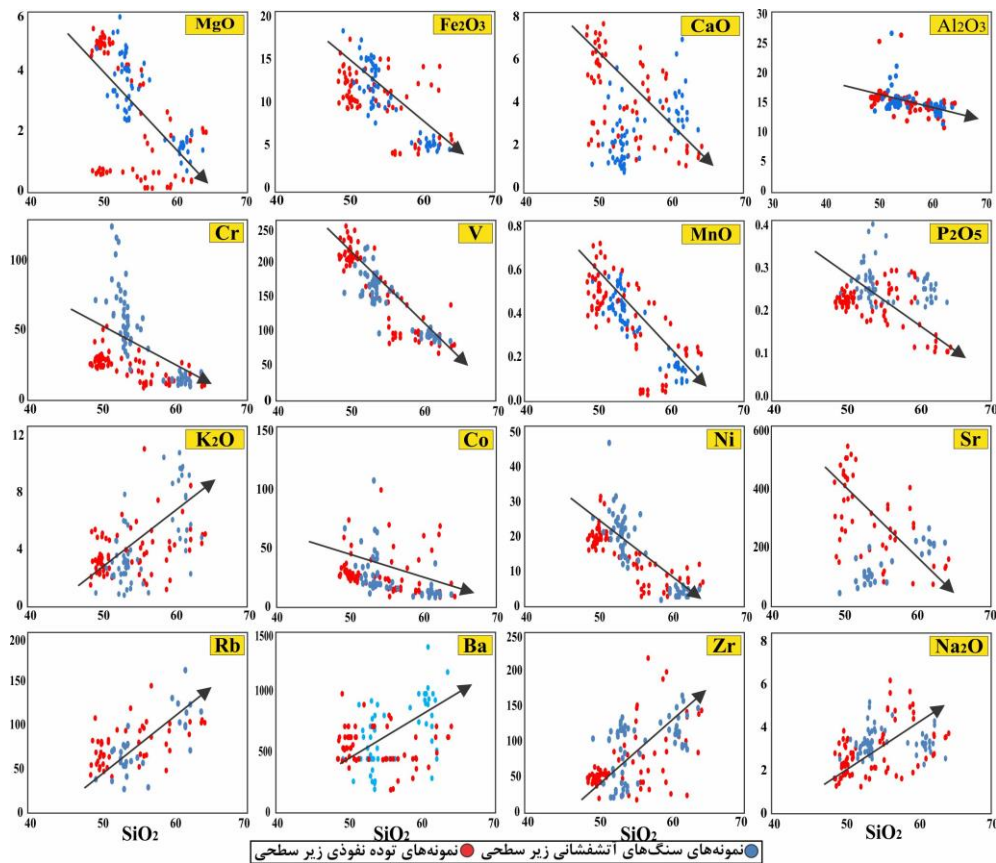
بررسی فرآیندهای دگرگونی و تکامل زمین‌شیمیایی و خاستگاه ماگما
الف- نمودارهای مقدار اکسید-مقدار سیلیس: این نمودارها روند دگرگونی ماگما را نشان می‌دهند. با توجه به نمودارهای هارکر [۲۸] رسم شده برای اکسیدها و عناصر نمونه‌های گستره تازه‌کند، اکسیدهای اصلی چون Al_2O_3 ، MgO ، CaO ، Fe_2O_3 ، P_2O_5 و TiO_2 با افزایش SiO_2 روند کاهشی دارند (شکل ۷). این تغییرات با تبلور کانی‌های مافیک (اوژیت، هورنبلند، بیوتیت، مگنتیت، تیتانومگنتیت و اسفن) و پلاژیوکلازها توجیه پذیر است. Al_2O_3 نیز روند به نسبت نزولی دارد که به همراه کاهش CaO ، نشانگر جدایش بخشی پلاژیوکلاز است. روند نزولی CaO در سنگ‌های توده نفوذی پیامد دگرگونی ترکیب پلاژیوکلازها (از کلسیمی به سدیمی)



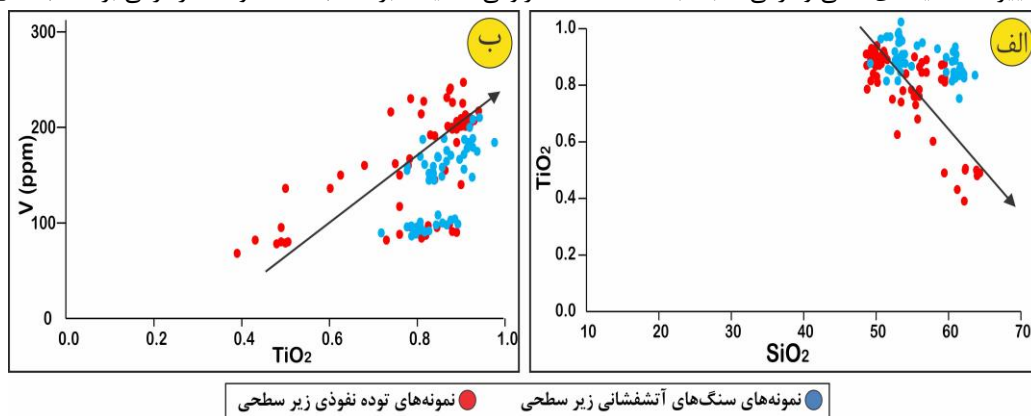
شکل ۵ نمودارهای نام‌گذاری الف) توده‌های نفوذی [۱۷] و ب) واحدهای آتشفشانی [۱۸] در گستره تازه‌کند؛ پ) نمودار شاخص اشباع آلومین [۱۹]؛ ت) نمودار تعیین سری ماگمایی SiO_2 نسبت به K_2O [۲۱]؛ ث و ج) نمودارهای تفکیک نوع گرانیتوئیدهای نمونه‌های سطحی توده‌های نفوذی گستره تازه‌کند [۲۲، ۲۳].



شکل ۶ نمودارهای تفکیک محیط زمین‌ساختی توده‌های نفوذی و واحدهای آتشفشانی گستره معدنی تازه‌کند، الف) نمودار Rb نسبت به Y+Nb؛ ب) نمودار Th/Yb نسبت به Ta/Yb [۲۳، ۲۴]؛ پ) نمودار Th/Ta نسبت به Yb و ت) نمودار Zr/Y نسبت به Zr برای نمونه‌های آتشفشانی [۲۷].



شکل ۷ تغییرات اکسیدهای اصلی و فرعی نسبت به SiO_2 [۲۸]، فراوانی اکسیدها بر حسب wt.% و عناصر فرعی بر حسب ppm است.

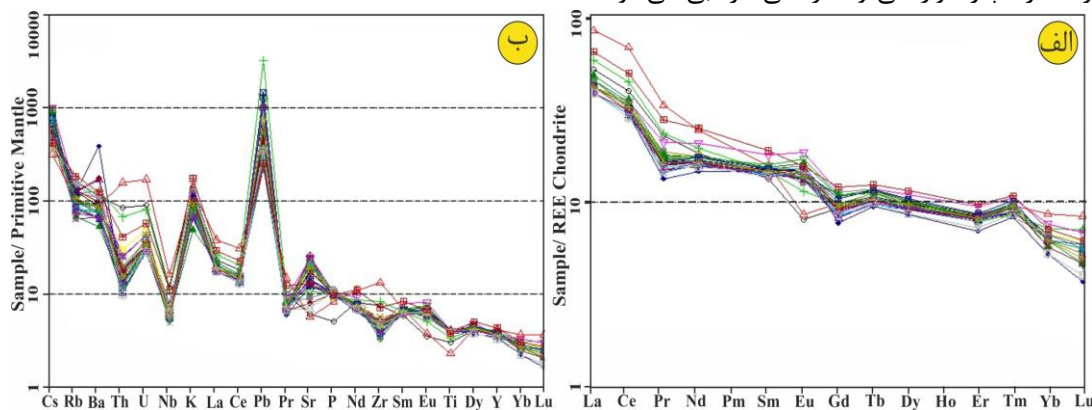


شکل ۸ نمودار تغییر و دگرگونی ماگما: الف) TiO_2 نسبت به SiO_2 (بر حسب wt.%) و ب) V نسبت به TiO_2 (بر حسب wt.%) [۳۲].

شبیه نمودار CaO نسبت به SiO_2 است و برای نمونه‌های توده‌های نفوذی روند کاهشی نشان می‌دهد، اما برای سنگ‌های آتشفشانی روند افزایشی دارد. اکسیدهای K_2O و Na_2O از مقدار آن‌ها در مذاب باقیمانده همراه با افزایش SiO_2 افزایش می‌یابد و در پایان به ساختار فلدسپارها افزوده می‌شوند. این امر با تبلور فلدسپارهای پتاسیمی و پلاژیوکلازهای سدیمی‌تر و جدایش بیشتر ماگماهای سازنده توده‌های نفوذی گستره مورد

براساس نمودارهای شکل ۷ برای نمونه‌های مورد بررسی، روند عناصر واسط با شدت میدان بالا (Co, V, Sr, Ni, Cr) با افزایش مقدار SiO_2 نزولی است که نشان می‌دهد که این عناصر به صورت سازگار عمل کرده‌اند. عنصر Ni می‌تواند جانشین Mg در کانی‌های پیروکسن و هورنبلند شود و با ادامه روند تبلور، مقدار آن کاهش می‌یابد. غلظت بلورهای Sr نیز بیشتر با بلورهای پلاژیوکلاز کنترل می‌شود، زیرا Sr در پلاژیوکلازها جانشین کلسیم می‌گردد [۳۱]. رفتار نمودار Sr

از این رو الگوی فراوانی آنها نشانگر خاستگاه ماگمایی است [۳۳]. بر پایه یافته‌های زمین‌شیمی عناصر خاکی نادر نمونه مونوزودیوریت گستره معدنی تازه‌کند و تحلیل نمودارهای عنکبوتی بهنجار شده نسبت به کندریت [۳۴]، الگوی توزیع REEها شیب منفی مشخص از LREEها به سمت HREEها را نشان می‌دهد که بیانگر جدایش و غنی‌شدگی LREEها نسبت به HREEها طی فرآیندهای ماگمایی و دگرسانی است (شکل ۹ الف). غنی‌شدگی LREEها نسبت به HREEها از ویژگی سنگ‌های آهکی قلیایی کرانه قاره‌ها است [۳۵]. همچنین در نمودارهای عنکبوتی بهنجار شده نسبت به گوشته اولیه [۳۶] نیز، یک الگوی جدایش یافته‌ای از Cs تا Lu با روند کاهشی و غنی‌شدگی عناصر سنگ دوست درشت یون (Pb, Ba, Rb, Cs, U, K, Th) و تهی‌شدگی عناصر با شدت میدان بلوری بالا (Ti, Y, Zr, Nb, Dy) دیده می‌شود (شکل ۹ ب). الگوهای مشابه و هم روند نمودارهای عنکبوتی سنگ‌های آذرین تازه‌کند نیز نشانگر نزدیکی زایشی انواع سنگ‌ها و همانندی خاستگاه ماگمایی آنهاست و می‌توان محیط زمین-ساختی و به احتمال بسیار منبع مشابه را برای آنها در نظر گرفت.



شکل ۹ الف) مقادیر عناصر خاکی نادر بهنجار شده نسبت به کندریت [۳۴]، ب) مقادیر عناصر فرعی بهنجار شده نسبت به گوشته اولیه [۳۶].

گازنت باقی مانده در سنگ خاستگاه و آلودگی ماگمای مادر با مواد پوسته‌ای طی صعود و جایگیری در پهنه‌های فرورانش به وجود آید [۳۷]. عنصر Th به دلیل ناسازگاری و شعاع یونی بزرگ تا مراحل پایانی در فاز مایع باقی مانده و با افزایش SiO_2 ، غنی‌شدگی از خود نشان می‌دهد. بی‌هنجاری منفی P نیز ناشی از تبلور و جدایش آپاتیت است. بی‌هنجاری منفی Ba در برخی نمونه‌ها را می‌توان به جدایش بیوتیت از ماگمای

بررسی همخوانی دارد. عنصر Rb به دلیل جان‌شینی در کانی-های پتاسیم‌دار در مراحل پایانی تبلور ماگما، روند افزایشی دارد. عنصر Zr نیز به عنوان یک عنصر ناسازگار به آسانی وارد کانی‌های سنگ‌ساز نشده و اغلب فاز جداگانه‌ای به صورت کانی زیرکن تشکیل می‌دهد. براساس نمودارهای هارکر، ترکیب‌های سنگی در یک راستا واقع هستند و طیف ترکیبی تقریباً پیوسته و روند یکسانی دارند. این تغییرات بیانگر خاستگاه تقریباً یکسان نمونه‌ها و اثر روند جدایش ماگما بر آنهاست، بطوریکه ترکیب‌های حدواسط از تبلور جدایشی و دگرگونی ماگمای مافیک‌تر سازنده شکل گرفته‌اند.

ب- نمودارهای تغییرات V-TiO_2 و $\text{TiO}_2\text{-SiO}_2$: برای تشخیص فرآیند جدایش بلوری در نمونه‌های سنگی توده‌های نفوذی و آتشفشانی گستره مورد بررسی از نمودارهای تغییرات V نسبت به TiO_2 و TiO_2 نسبت به SiO_2 استفاده شد [۳۲] (شکل ۸). دیده می‌شود که TiO_2 با افزایش SiO_2 روند خطی و نزولی را نشان می‌دهد و نمودار V نسبت به TiO_2 روند خطی و صعودی دارد که بر این اساس، الگوی غالب در دگرگونی‌های ماگمایی منطقه، الگوی تبلور جدایشی است [۳۲].

پ- بررسی زمین‌شیمی عناصر خاکی نادر: این عناصر نسبت به عناصر دیگر کمتر دچار هوازدگی و دگرسانی گرمایی می‌شوند،

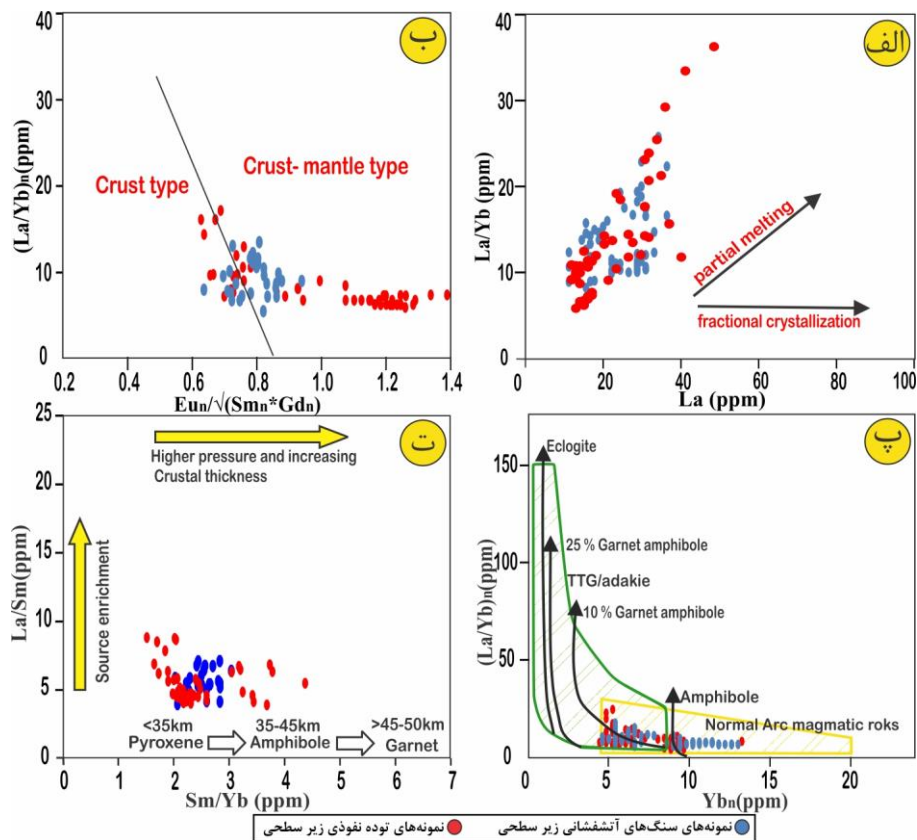
غلظت LILEهای با تحرک بالا تابعی از فاز سیال یا آرایش پوسته‌ای است [۲۳، ۳۷]. این در حالی است که غلظت HFSEهای کم تحرک با شیمی سنگ خاستگاه و فرآیندهای بلور مذاب طی تشکیل سنگ کنترل می‌شود. غنی‌شدگی LILEها و LREEها و تهی‌شدگی HFSEها و HREEها شاخص فعالیت ماگمایی محیط‌های فرورانشی است [۲۳، ۳۷] و می‌تواند بر اثر عواملی چون درجه پایین ذوب بخشی، وجود

گوشته عامل اصلی ذوب پوسته است [۴۴]. برپایه ویژگی‌های زمین‌شیمیایی و محیط زمین‌ساختی، می‌توان برای توده‌های نفوذی گستره تازه‌کند، ماگمای بازالتی برآمده از ذوب گوشته را در نظر گرفت، که در زیر پوسته زیرین جایگزین شده و خاستگاه گرمایی لازم را برای ذوب پوسته زیرین فراهم کرده است. افزون بر آن، این احتمال نیز وجود دارد که ماگمای بازالتی ناشی از گوشته تا حدی با ماگمای برآمده از ذوب پوسته آمیخته شده باشد. نمودار $(La/Yb)_N$ نسبت به δEu [۲۳] نیز نشان دهنده نقش مشترک گوشته و پوسته با اثر بیشتر مؤلفه پوسته در تشکیل ماگمای توده‌های نفوذی این منطقه است (شکل ۱۰ ب). مقادیر به نسبت بالای عناصر Yb $(1.3-10.3)$ و Y $(50.5-15.25)$ در نمونه‌ها نشانگر یک خاستگاه ماگمایی بدون گارنت برای توده‌های نفوذی تازه‌کند است، زیرا گارنت به خوبی می‌تواند این عناصر را در ساختار خود جای دهد و مقادیر بالای این عناصر اشاره به ناپایداری گارنت در خاستگاه ماگما دارد [۴۵]. همچنین نسبت Dy/Yb همزمان با تبلور گارنت از ماگما افزایش می‌یابد در حالیکه مقادیر پایین این نسبت در نمونه‌ها $(1.3-7.3)$ بیانگر متبلور نشدن گارنت است. نمودار $(La/Yb)_N$ نسبت به Yb_N [۴۶] نیز نشان دهنده حضور آمفیبول به عنوان پسمانده ذوب سنگ‌های خاستگاه توده‌های نفوذی مورد بررسی است (شکل ۱۰ پ). از سوی دیگر، نمودار La/Sm نسبت به Sm/Yb [۴۷] نیز بیانگر حضور فازهای پایدار پیروکسن و آمفیبول در خاستگاه ماگمای توده‌های نفوذی گستره تازه‌کند است (شکل ۱۰ ت).

برای تعیین ضخامت پوسته و فشار احتمالی وارد بر خاستگاه ماگمای مادر توده‌های نفوذی تازه‌کند از نمودار La/Sm نسبت به Sm/Yb [۴۷] استفاده شد (شکل ۱۰ ت). افزایش نسبت Sm/Yb اغلب نشان دهنده تغییرات مربوط به افزایش فشار از کلینوپیروکسن به سمت آمفیبول و گارنت در کانی‌های پسمانده‌ی در تعادل با ماگمای در حال تکامل است. همچنین نسبت Sm/Yb می‌تواند به عنوان راهنمایی برای تعیین ضخامت نسبی پوسته استفاده شود و تغییرات La/Sm (LREE) نسبت به $(HREE) Sm/Yb$ [۴۷] برای نمونه‌های مورد بررسی بیانگر تشکیل ماگمای مادر این توده‌ها در یک پوسته به نسبت نازک و با ژرفای کمتر از ۴۰ کیلومتر (کمتر از پایداری گارنت) است [۴۸].

گرانیتوئیدی نسبت داد [۳۳]. بی‌هنجاری منفی Y و Yb نشانگر تبلور بخشی و جدایش کانی‌های فرومنیزین در مراحل اولیه جدایش است. همچنین بی‌هنجاری منفی Y می‌تواند نتیجه ورود آن به شبکه کانی‌های آپاتیت و اسفن باشد. به باور ویلسن [۳۷]، بی‌هنجاری منفی Nb و Ti مشخصه اثر فرورانش بر منابع ماگمای گوشته‌ای است. همچنین به نظر برخی پژوهشگران [۳۵]، متوسط ترکیب پوسته قاره‌ای به شدت از Nb تهی شده است. هر ماگمای آرایش یافته با مواد پوسته‌ای این تهی‌شدگی را در شیمی خود نشان می‌دهد و بی‌هنجاری منفی Nb در الگوی نمودارهای عنکبوتی، از ویژگی‌های آشکار همه ماگماهایی است که با سنگ‌های پوسته قاره‌ای آلوده شده‌اند. افزون بر آن، بی‌هنجاری منفی Nb به عوامل مختلفی چون تهی‌شدگی این عنصر در ناحیه خاستگاه ماگما، پایداری فازهای در بردارنده این عنصر (مانند آمفیبول) طی ذوب بخشی و یا جدایش آنها طی فرآیند جدایش [۳۸] وابسته است. بی‌هنجاری منفی Ta نیز نشانگر آغشتگی ماگمای مادر با مواد پوسته‌ای طی صعود است. بی‌هنجاری منفی P، Ti و Nb به جدایش آپاتیت، روتیل، تیتانومگنتیت و ایلمنیت [۳۹] و آغشتگی ماگما با مواد پوسته‌ای [۴۰] هنگام بالا آمدن ماگما و جایگزینی آن در پهنه‌های فرورانش مربوط است [۴۱]. غنی‌شدگی در Pb نشان از اثر پوسته قاره‌ای در تشکیل ماگمای مولد توده نفوذی و یا آرایش با ماگمای ناشی از ذوب بخشی گوشته عمیق که در ترازهای بالاتر دچار جدایش شده است دارد. ورود عناصری چون K و Pb از خاستگاه گرمایی نیز دور از انتظار نیست.

وجود بافت‌های پورفیری و مگاپورفیری در توده‌های نفوذی و آتشفشانی گستره معدنی تازه‌کند به ترتیب نشان دهنده توقف موقت و به نسبت طولانی ماگمای مادر در یک مخزن ماگمایی و تاریخچه پیچیده سرد شدن و تبلور جدایشی به دلیل تغییرات دما، فشار و ترکیب شیمیایی ماگماست [۴۲]. با توجه به نمودار La/Yb نسبت به La [۴۳]، ماگمای مادر توده‌های نفوذی مورد بررسی در مرحله نخست در اثر درجه‌های متفاوتی از ذوب بخشی تشکیل شده است (شکل ۱۰ الف). در موقعیت زمین‌ساختی پس از برخورد مانند موقعیت گستره تازه‌کند، هر دو خاستگاه گوشته و پوسته می‌توانند در تشکیل ماگما نقش داشته باشند و گرمای ناشی از مذاب برآمده از



شکل ۱۰ الف) نمودار La/Yb نسبت به La [۴۳]، ب) نمودار $(La/Yb)_N$ نسبت به δEu [۲۳]، پ) نمودار $(La/Yb)_N$ نسبت به Yb_N [۴۶]، و ت) نمودار La/Sm نسبت به Sm/Yb [۴۷].

سریسیت، فلیک، پروپلیتیک، کربناته، آرژیلیک پیشرفته و متوسط، سیلیسی و برونزاد اکسید و هیدرواکسیدهای آهن همراه با کانه‌زایی سولفیدی-اکسیدی هستند. این توده‌ها از نظر سری ماگمایی وابسته به سری‌های آهکی قلیایی پتاسیم بالا و شوشونیتی بوده و دارای ویژگی متالومین تا پرآلومین و از گرانیتوئیدهای نوع I هستند. از نظر جایگاه زمین‌ساختی، این توده‌ها در محیط قوسی آتشفشانی پس‌برخورد در کرانه فعال قاره‌ای تشکیل شده‌اند. براساس نمودارهای مقدار اکسید-مقدار سیلیس هارکر، توده‌های نفوذی تازه‌کند در اثر تبلور بخشی با جدایش کانی‌هایی چون اوژیت، هورنبلند، پلاژیوکلاز، بیوتیت، مگنتیت و کوارتز همراه بوده و منجر به تشکیل این سنگ‌ها شده‌اند. غنی‌شدگی از LREEها و LILEها و تهی‌شدگی از HREEها و HFSEها از دیگر ویژگی‌های زمین‌شیمیایی این توده‌ها هستند. بر پایه یافته‌های زمین‌شیمیایی، هر دو مؤلفه گوشته و پوسته در تشکیل و دگرگونی ماگمایی توده‌های نفوذی مورد بررسی مؤثر بوده‌اند. ماگمای مولد این توده‌ها در اثر آمیختگی مذاب‌های بازالتی برآمده از گوشته و مذاب ناشی

مقادیر Nb/U ، Nb/La و Ce/Pb که نسبت به آرایش پوسته‌ای حساس هستند [۴۹] در توده‌های نفوذی تازه‌کند به ترتیب از ۰٫۲۵ تا ۰٫۷۴ (میانگین ۰٫۴۱)، ۳٫۱۹ تا ۱۵٫۴۴ (میانگین ۶٫۸) و ۰٫۲ تا ۳۴ (میانگین ۲٫۸) در تغییر هستند که با توجه به مقادیر آنها در پوسته ($Nb/U=۴٫۴$ ، $Nb/La=۰٫۳۹$) و در گوشته ($Ce/Pb=۳٫۷$ و $Nb/U=۵۰$ ، $Nb/La=۰٫۹-۱٫۳$) و $Ce/Pb=۲۵ \pm ۴٫۳۸$) ماگمای مادر توده‌های نفوذی تازه‌کند آرایش پوسته‌ای را نشان می‌دهد. مقادیر Sm/Yb در نمونه‌ها (۴٫۳۸-۱٫۵۲) نیز نشانگر هضم پوسته بالایی در پوسته به نسبت نازک است [۴۸].

برداشت

براساس یافته‌های زمین‌شیمیایی، ترکیب اصلی توده‌های نفوذی منطقه معدنی تازه‌کند در منطقه کوارتزمونزونیت، مونزونیت، و مونزودیوریت تا گابرویدیوریت متغیر است، همچنین واحدهای آتشفشانی در گستره تراکی آندزیت، آندزیت و آندزیت بازالتی واقع هستند. سیال‌های گرمایی برآمده از توده‌های نفوذی مسئول دگرسانی‌های گرمایی درونزاد کلریت-

and Sr–Nd–Pb–Hf isotopic constraints on petrogenesis of the Tarom-Olya pluton, Alborz magmatic belt, NW Iran", *Lithos* 244 (2016) 43–58.

[8] Nabatian G., Ghaderi M., Corfu F., Neubauer F., Bernroider M., Prokofiev V., Honarmand M., "Geology, alteration, age and origin of iron oxide-apatite deposits in Upper Eocene quartz monzonite, Zanjan district, NW Iran", *Mineralium Deposita* 49 (2014) 217–234.

[9] Aghazadeh M., Castro A., Rashidnejad Omran N., Emami M.H., Moinvaziri H., Badrzadeh Z., "The gabbro (shoshonitic)-monzonite-granodiorite association of Khankandi pluton, Alborz Mountains, NW Iran", *J. Asian Earth Sci.* 38 (2010) 199–219.

[10] Ajali N., Torkian A., Tale Fazel E., "Rasht abad Copper-Gold intermediate sulfidation epithermal deposit (north of Zanjan): Evidence of mineralization, Fluid inclusion and stable isotope C-O (in Persian)", *Iranian Journal of Crystallography and Mineralogy*, 29 (2021) 207–220.

[11] Kouhestani H., Mokhtari M.A.A., Kezhang Q., Junxing Z., "Fluid inclusion and stable isotope constraints on ore genesis of the Zajkan epithermal base metal deposit, Tarom-Hashtjin metallogenic belt, NW Iran", *Ore Geology Reviews*, Vol:109 (2019) p:564–584.

[12] Yasami N., Ghaderi M., Madanipour S., Taghilou B., "Structural control on overprinting high-sulfidation epithermal on porphyry mineralization in the Chodarchay deposit, northwestern Iran", *Ore Geology Reviews*, 86 (2017) 212–224.

[13] Kouhestani H., Azimzadeh A.M., Mokhtari, M.A.A., Ebrahimi M., "Mineralization and fluid evolution of epithermal base metal veins from the Aqkand deposit, NW Iran. *Neues Jahrbuch für Mineralogie Abhandlungen*", *Journal of Mineralogy and Geochemistry*, 194 (2017) 139–155.

[14] Mehrabi B., Ghasemi Siani M., Goldfarb R., Azizi H., Ganerod M., Marsh E.E., "Mineral assemblages, fluid evolution and genesis of polymetallic epithermal veins, Gulojeh district, NW Iran", *Ore Geology Reviews* 78 (2016) 41–57.

[15] Amini B., "Geological map of IRAN 1:100000 Tarom (in Persian)", *Geological Survey of Iran* (2000)

[16] Whitney, D.L. and Evans, B.W., "Abbreviations for names of rock-forming

از ذوب بخشی سنگ‌های پوسته زیرین در تعادل با پسماند پیروکسن و آمفیبول در ژرفای کمتر از ۴۰ کیلومتر تشکیل شده است. این ماگماها طی صعود و جایگیری در بخش‌های کم عمق پوسته به تدریج متبلور شده و درجه‌های متفاوتی از آرایش پوسته‌ای را نیز تجربه کرده‌اند.

قدردانی

نگارندگان از حمایت‌های مالی معاونت پژوهشی و تحصیلات تکمیلی دانشگاه تبریز برخوردار بوده‌اند. آنها همچنین از حمایت‌های مالی شرکت صنعت بنا ماشین بهره گرفته‌اند که به این وسیله از مسئولین این شرکت تشکر می‌نمایند. نگارندگان از نظرات و پیشنهادات سازنده داوران محترم مجله نیز سپاسگزاری می‌نمایند.

مراجع

[1] Alavi M., "Tectonic map of the Middle East: Scale 1:5,000,000 Tehran (in Persian)", *Geological Survey of Iran* (1991).

[2] Azizi H., Jahangiri A., "Cretaceous subduction-related volcanism in the northern Sanandaj-Sirjan Zone, Iran", *J. Geodyn.* 45 (2008) 178–190.

[3] Azizi H., Moinevaziri H., "Review of the tectonic setting of Cretaceous to Quaternary volcanism in northwestern Iran", *J. Geodyn.* 47(2009) 167–179.

[4] Castro A., Aghazadeh M., Badrzadeh Z., Chichorro M., "Late Eocene-Oligocene Post-Collisional Monzonitic Intrusions from the Alborz Magmatic Belt, NW Iran. An Example of Monzonite Magma Generation from a Metasomatized Mantle Source", *Lithos* 180-181 (2013) 109–127.

[5] Simmonds V., Moazzen M., Mathur R., "Constraining the timing of porphyry mineralization in northwest Iran in relation to Lesser Caucasus and Central Iran; Re-Os age data for Sungun porphyry Cu–Mo deposit", *International Geology Review* 59 (2017) 1561–1574.

[6] Aghazadeh M., Hou Z., Badrzadeh Z., Zhou L., "Temporal-Spatial Distribution and Tectonic Setting of Porphyry Copper Deposits in Iran: Constraints from Zircon U-Pb and Molybdenite Re-Os Geochronology", *Ore Geology Reviews* 70 (2015) 385–406.

[7] Nabatian, G., Jiang, S. Y., Honarmand, M. and Neubauer, F., "Zircon U–Pb ages, geochemical

- [30] Chappell B.W., "Aluminium saturation in land S-type granites and the characterization of fractionated haplogranites", *Lithos* 46 (1999)535-551.
- [31] Mason B. H. Moore C. B. "Principles of geochemistry". 4th edition, Wiley Publication, New York, US, (1982).
- [32] McLemore V.T., McMillan N.J., Heizler M., McKee C., "Cambrian alkaline rocks at Lobo Hill, Torrance County, New Mexico: More evidence for a Cambrian-Ordovician aulacogen". In: Pazzaglia, F., Lucas, S.G. & Austin, G. S. (eds.) *Albuquerque Country III. New Mexico Geological Society, Guidebook 50* (1999a) 247–253.
- [33] Rollinson HR., "Using Geochemical Data: Evaluation, Presentation, Interpretation", Longman Scientific and Technical, New York (1993) 352.
- [34] Boynton W.V., "Cosmochemistry of the rare earth elements: meteorite studies. In: Henderson, P. (Ed.), *Rare Earth Element Geochemistry*", Elsevier, Amsterdam (1984) 63–114.
- [35] Nagudi B. Koeberl C. Kurat G. "Petrography and geochemistry of the Singo granite, Uganda, and implication for its origin", *Journal of African Earth Science*, 36 (2003) 73 - 87.
- [36] McDonough W. F., S. S. Sun., "The composition of the Earth", *Chem. Geol.*, 120 (1995) 223-253.
- [37] Wilson M., "Igneous petrogenesis: A global tectonic approach", Unwin Hymen, London, (1989) 466.
- [38] Wu F.Y., Jahn B.M., Wilde S.A, Lo C.H, Yui T.F., Lin Q., Ge W.C., Sun D.Y., "Highly fractionated I type granites in NE China (I): Geochronology and petrogenesis", *Lithos*, 66 (2003) 241-273.
- [39] Reagan M.K., Gill J.B., "Coexisting calc-alkaline and high niobium basalts from Turrialba volcano, Costa Rica: implication for residual titanates in arc magma source". *J. Geophys. Res.*, 94 (1989) 4619–4633.
- [40] Zhou J.B., Wilde S.A. Zhang X.Z., Zhao G.C., Zheng C.Q., Wang Y.J., Zhang X.H., "The onset of Pacific margin accretion in NE China: evidence from the Heilongjiang high-pressure metamorphic belt", *Tectonophysics*, 478 (2009a) 230–246.
- [41] Mirnejad H., Mathur R., Hassanzadeh J., Shafie B., Nourali S., "Linking Cu mineralization to host porphyry emplacement: Re–Os ages of molybdenites versus U–Pb ages of zircons and sulfur isotope compositions of pyrite and minerals", *American Mineralogist*, 95 (2010) 185–187.
- [17] Middlemost E.A.K., "Magmas and magmatic rocks", Longman Publication Company, London (1985).
- [18] Middlemost E.A.K., "Naming materials in magma igneous rock system", *Earth Sci Rev*, 37 (1994) 215–224.
- [19] Shand S. J., "Eruptive Rocks. Their Genesis, Composition, Classification, and Their Relation to Ore-Deposits with a Chapter on Meteorite", John Wiley & Sons, New York (1943).
- [20] Waight T. E., Weaver S. D., Muir R. J., Maas R., Eby, N., :*The Hohonu Batholith of North Westland, New Zealand: granitoid compositions controlled by source H2O contents and generated during tectonic transition.*, *Contribution to Mineralogy and Petrology*, 130 (1998) 225–239.
- [21] Peccerillo A., Taylor S. R., "Geochemistry of Eocene calc-alkaline volcanic rocks in Turkey", *Contrib. Mineral. Petr.*, 68 (1976) 63-81.
- [22] Chappell B. W., White A. J. R., "I- and S-type granites in the Lachlan Fold Belt", *Transactions of the Royal Society of Edinburgh: Earth Sciences* 83(1992) 1–26.
- [23] Pearce J.A., Harris N.B.W., Tindle A.G., "Trace element discrimination diagrams for the tectonic interpretation of granitic rocks", *Journal of Petrology*, 25 (1984) 956-983.
- [24] Pearce, J.A., "Source and setting of granitic rocks", *Episodes* 19 (1996) 120-125.
- [25] Schandl E. S., Gorton MP., "Application of high field strength elements to discriminate tectonic setting in VMS environments", *Economic Geology*.97 (2002) 629-642.
- [26] Kuscu G. G. and Geneli F. "Review of post-collisional volcanism in the central Anatolian volcanic province (Turkey) with special reference to the Topekoy volcanic complex", *International Journal of Earth Sciences*, 99 (2010) 593-621.
- [27] Pearce J. A. Norry M. J. "Petrogenetic implication of Ti, Zr, Y and Nb variations in volcanic rocks", *Contributions to Mineralogy and Petrology*, 69 (1979) 33-47.
- [28] Harker A., "The natural history of the igneous rocks", New York The Macmillan Company (1909) 384.
- [29] Morata D., Aguirre L., "Extensional lower Cretaceous volcanism in the Coastal Range (29 20-30S), Chile", *geochemistry and petrogenesis, Journal of South American Earth Science*, 16 (2003) 459-476.

- [45] Defant M.J., Drummond M.S., "Derivation of some modern arc magmas by melting of young subducted lithosphere", *Nature* 347(1990) 662–665.
- [46] Martin H., "Effect of steeper Archean geothermal gradient on geochemistry of subduction-zone magmas", *Geology* 14 (9) (1986)753–756.
- [47] Kay S.M., Mpodozis C., "Central Andes ore deposits linked to evolving shallow subduction systems and thickening crust", *GSA TODAY* (Geol Soc Am) 11(2001) 4–9.
- [48] Haschke M., Siebel W., Gunther A., Scheuber, E., "Repeated crustal thickening and recycling during the Andean orogeny in north Chile (21°-26°S)", *Journal of Geophysical Research* 107 (BI) (2002) NO. 10.1029/2001JB000328, ECV 6-1 - ECV 6-18.
- [49] Furman T., "Geochemistry of East African Rift Basalts: on overview". *Journal of African Earth Science*, 47 (2-3) (2007) 147-160.
- chalcopyrite from the Iju and Sarkuh porphyry deposits in southeast Iran*". *Econ. Geol.* 108 (2013) 861–870.
- [42] Buret Y., Wotzlaw J.F., Roozen S., Guillong M., von Quadt A., Heinrich C.A. "Zircon petrochronological evidence for a plutonic-volcanic connection in porphyry copper deposits", *Geology*, **45** (2017) 623–626.
- [43] Gao Y., Hou Z., Kamber B. S., Wei R., Meng X., Zhao R., "Adakite-like porphyries from the southern Tibetan continental collision zones: evidence for slab melt metasomatism" *Contributions to Mineralogy and Petrology*, 153 (2007) 105–120.
- [44] De Yoreo J. J., Lux D. R., Guidotti C. V., "The role of crustal anatexis and magma migration in the thermal evolution of regions of thickened continental crust. In: *Daly JS, Cliff RA, Yardley BWD (eds) Evolution of metamorphic belts*", *Geol Soc London Spec Publ* 43 (1989) 187-202.